

**Přírodovědecká fakulta Univerzity Karlovy v Praze**  
**Katedra antropologie a genetiky člověka**

## **Výška postavy ženy v průběhu staletí**

**Lucie Mansourová**

**Vedoucí práce: RNDr. Miluše Dobisíková**

**Garant: RNDr. Blanka Vacková, CSc.**

**Diplomová práce**  
**Praha 2006**

## **PROHLÁŠENÍ**

Prohlašuji, že jsem diplomovou práci vypracovala samostatně a že všechny použité literární zdroje jsem správně a úplně citovala.

Lucie Mansourová



## **PODĚKOVÁNÍ**

Děkuji paní RNDr. Miluši Dobisíkové za odborné vedené mé diplomové práce. Za konzultace děkuji RNDr. Blance Vackové, CSc., Doc. RNDr. Karlu Zvárovi, CSc. a Doc. RNDr. Václavu Vančatovi.

Za pomoc se shromážděním materiálu k mé práci děkuji Mgr. Tereze Trubačové, Tat'áně Dubové a Tereze Měrtlové.

## **OBSAH**

I ÚVOD	8
II TEORETICKÁ ČÁST	11
1. Přehled a popis zkoumaných období	11
1.1 Neolit – kultura s lineární a volutovou keramikou	12
1.2 Eneolit – kultura kulovitých amfor, kultura nálevkovitých pohárů	12
1.3 Pozdní Eneolit – kultura se šňůrovou keramikou	13
1.4 Pozdní Eneolit – kultura zvoncovitých pohárů	13
1.5 Kultura staroúnětická a protoúnětická	14
1.6 Starší bronz – kultura únětická a větěřovská	14
1.7 Mladší bronz – kultura knovízská	15
1.8 Mladší doba železná – kultura laténská (Keltové)	16
1.9 Doba římská	17
1.10 Doba stěhování národů	17
1.11. Doba hradištní	18
1.12 Střední doba hradištní: 9. – 11. st.	19
1.13 Slované	20
1.14 Současnost	20
2. Charakteristika klimatických období	21
3. Měření kostí – humerus a femur	24
3.1 Humerus	25
3.1.1 Popis kosti	25
3.1.2 Míry na humeru	26
3.2 Femur	27
3.2.1 Popis kosti	27
3.2.2 Míry na femuru	27
4. Určování pohlaví na kostře	29
4.1 Lebka	29
4.2 Dolní čelist	31
4.3 Pánev	33
5. Použité statistické charakteristiky	36
6. Použité statistické metody	38

6.1 Analýza rozptylu jednoduchého třídění	38
6.2 Kruskal-Wallisův test	38
6.3 Vyloučení odlehlych pozorování	39
6.4 Grafické znázornění dat	39
6.4.1 Histogram	39
6.4.2 Error bar chart	40
6.4.3 Residual plot	40
6.4.4 Normal probability plot	40
6.4.5 Linear regression plot	40
7. Metody pro výpočet výšky podle dlouhých kostí	41
7.1 Historie výpočtu výšky postavy u dospělých	41
7.2 Jednotlivé metody pro stanovení výšky postavy	41
7.3 Problematika výpočtu výšky postavy podle dlouhých kostí	48
<b>III PRAKTICKÁ ČÁST</b>	<b>50</b>
1. Výpočet výšky postavy ženy při použití různých metod	50
2. Postup	56
3. Vypracování	59
3.1 Vypracování pro jednotlivé skupiny	59
3.1.1 Neolit – kultura s lineární a volutovou keramikou	59
3.1.2 Eneolit – kultura kulovitých amfor, kultura nálevkovitých pohárů	61
3.1.3 Pozdní Eneolit – kultura se šňůrovou keramikou	64
3.1.4 Pozdní Eneolit – kultura zvoncovitých pohárů	66
3.1.5 Kultura staroúnětická a protoúnětická	69
3.1.6 Starší bronz – kultura únětická a větěřovská	71
3.1.7 Mladší bronz – kultura knovízská	74
3.1.8 Mladší doba železná – kultura laténská (Keltové)	76
3.1.9 Doba římská	79
3.1.10 Doba stěhování národů	81
3.1.11 Doba hradištní	83
3.1.12 Střední doba hradištní: 9. – 11. st.	86
3.1.13 Slované	88
3.1.14 Současnost	91
3.2 Cekové vyhodnocení	94

3.2.1 Humerus	94
3.2.1.1 Popisné charakteristiky	94
3.2.1.2 Vyloučení odlehlých pozorování	97
3.2.1.3 Ověření hypotézy	98
3.2.2 Femur	101
3.2.2.1 Popisné charakteristiky	101
3.2.2.2 Vyloučení odlehlých pozorování	104
3.2.2.3 Ověření hypotézy	105
3.3 Celkové porovnání mužů a žen	108
3.4 Spolehlivost měření	112
IV DISKUSE	114
V ZÁVĚR	117
VI POUŽITÁ LITERATURA	119
VII PŘÍLOHY	123

## I ÚVOD

Ke své diplomové práci jsem si vybrala téma „Výška postavy ženy v průběhu staletí“. Cílem mé práce bylo shromáždit a naměřit co nejvíce vzorků ženských kostí – v mém případě humerus a femur – a vypočítat z jejich délek výšku postavy. K tomuto výpočtu jsem použila Bachovu metodu pro stanovení výšky postavy člověka z délky dlouhých kostí. Vysvětlení, proč zrovna tuto metodu, uvádím v praktické části v kapitole č. 7. Metody pro výpočet výšky podle dlouhých kostí na str. 42.

Mým hlavním cílem však bylo dokázat, že výška postavy ženy se v průběhu staletí změnila. Proto jsem vypočtené průměrné výšky postav pro jednotlivá období porovnala mezi sebou.

S pomocí Terezy Měrtlové, která mi poskytla vypočtené výšky postavy mužů pro stejná časová období, jsem mezi sebou porovnala ženy a muže.

Dalším tématem, kterým se v práci zabývám, je určování pohlaví na lebce a páni. Pro stanovení výšky postavy je toto velmi důležitým, dokonce nezbytným faktorem. Jelikož téměř každá známá metoda pro určování výšky postavy má jiné tabulky či rovnice pro muže a jiné pro ženy, je vždy nezbytné znát pohlaví jedince, kterému ta či ona kost patřila.

V teoretické části se také věnuji všem metodám, kterými je možno stanovit výšku postavy člověka. Na základě této kapitoly jsem v praktické části (str. 50) spočetla výšku postavy dle humeru a femuru (pro každou kost jsem si vybrala 2 vzorky, humerus a femur vždy od stejného člověka) podle všech metod uvedených v teoretické části, a ty jsem spolu porovnala.

Praktickou část jsem doplnila kapitolou o měřených kostech – humeru a femuru, základními statistickými charakteristikami a statistickými metodami.

## VÝŠKA POSTAVY

Lidský organizmus podléhá během ontogenetického vývoje diferenciaci, růstu a formování. Působením vnějších a vnitřních podmínek vznikají mezi různými jedinci kvantitativní a kvalitativní rozdíly, jednotlivci jsou variabilní. Jedním z nejvariabilnějších a nejkomplikovanějších rozměrů člověka je výška postavy. (*podle Škody, 1993*)

Výška postavy je považována za geneticky kontrolovatelný znak, na nějž působí další faktory, tj. pohlaví, věk, etnicita, sociální vrstva, tělesná stavba, zdravotní stav, výživa a klimatické podmínky. Dědivost tělesné výšky se odhaduje na 50 až 60%. Tento odhad dědivosti vznikl na základě srovnávacích studií dvojčat a nepříbuzných jedinců.

Výška těla vždy patřila k základním údajům o identitě člověka. Informace o výšce jsou důležité jak pro výrobce průmyslového zboží, kteří se snaží přizpůsobit velikostní sortiment výrobků potřebám svých zákazníků, tak pro vědce, kteří zkoumají proměny životních podmínek a jejich vliv na jedince i populace, nebo pro kriminalisty při identifikaci neznámých tělesných pozůstatků.

Výšku lidí z minulých dob odhadujeme především z rozměrů dlouhých kostí. Odhad je komplikován nejednotným poměrem délky kostí k výšce postavy. Svým způsobem poskytuje informaci o výšce člověka každá kost jeho těla. Nejpřesnější odhady získáváme z dlouhých kostí končetin, ale úplně přesné být nemohou. Lidé, kteří mají stejně dlouhou stehenní kost, nemusí být stejně vysocí.

## VÝPOČET VÝŠKY POSTAVY

Problematika výpočtu výšky podle dlouhých kostí se považuje za jeden z nejstarších předmětů antropologie a soudního lékařství. Možnost, že lze určit výšku těla nejen u žijících osob, ale také z kostér, nabyla významu už v nejmladších časech antropologie. Výška těla byla vždy velmi důležitým faktorem at' už při zkoumání prehistorických kosterních pozůstatků obyvatelstva, fosilních nálezů nebo stop zločinu. (*podle Svobody, 2003*)

Výpočet výšky postavy je založen na regresních rovnicích vytvořených na referenčním souboru kostér, kde známe jak délku kosti, tak výšku postavy člověka. Takové

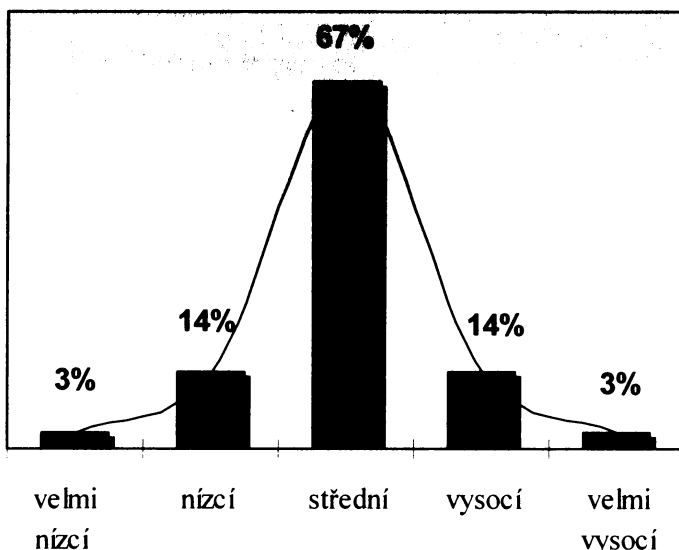
## Výška postavy ženy v průběhu staletí

výsledky však mají omezenou platnost, protože vzájemný poměr velikosti kosti není u všech jedinců stejný a kostry, které jsou z daného období nebo místa k dispozici, vždy odrážejí zvláštnosti zkoumaného souboru.

V biologické antropologii se obvykle rozlišují absolutní kategorie pro výšku obyvatelstva: muži - velmi nízci (od 135 do 152 cm), nízci (od 153 do 161 cm), střední (od 162 do 172 cm), vysoci (od 173 do 182 cm) a velmi vysoci (od 183 do 200 cm). Ženy se rozlišují na stejné skupiny s těmito hodnotami: velmi nízké (125 do 142 cm), nízké (od 143 do 151 cm), střední (od 152 do 162 cm), vysoké (od 163 do 172 cm) a velmi vysoké (od 173 do 190 cm).

Kromě toho můžeme v každé populaci vytvořit relativní škálu hodnocení vlastní této populaci. Průměrná hodnota a její směrodatná odchylka jako ukazatel rozptylu umožňují rozdělit celek do různých skupin. Za jedince střední výšky považujeme ty, kteří se nacházejí v intervalu jedné směrodatné odchylky okolo populačního průměru. Takových lidí je v každé populaci nejvíce (67 %). Obdobným způsobem – odečtením či přičtením další směrodatné odchylky od průměrné hodnoty – vymezíme interval jedinců nízkých (14 %) a vysokých (14 %). Nad dvojnásobkem směrodatné odchylky od průměru pak najdeme jedince velmi vysoké a pod dvojnásobkem směrodatné odchylky od průměru jedince velmi malé. Takových je již v každém souboru málo, jen necelá 3 %. Je tedy možné, aby stejná tělesná výška byla považována za střední vzrůst v populaci nízkorostlé, ale za nízký vzrůst v populaci středněrostlé (*podle Bružka, 2005*). (viz graf č. 1)

Graf č. 1: Rozdělení populace podle průměru a jeho směrodatné odchylky



## **II TEORETICKÁ ČÁST**

### **1. PŘEHLED A POPIS ZKOUMANÝCH OBDOBÍ**

Pro svoji práci jsem si vybrala období, která začínají mladší dobou kamennou (neolit) a končí příchodem Slovanů. Vybírala jsem si pouze doby a kultury, které se nacházely na území dnešní České a Slovenské republiky či v mírném okolí. V úvahu pro mě přicházely jen doby, kde jsem měla k dispozici dostatek materiálu, abych je mohla použít ve statistickém zpracování.

Tato období jsem rozdělila do 13 skupin. Jako 14. skupinu jsem přidala hodnoty naměřené u recentní populace.

*Přehled a číslování skupin:*

1. neolit – kultura s lineární keramikou, kultura s volutovou keramikou
2. eneolit – kultura kulovitých amfor, kultura nálevkovitých pohárů, řívnáčská doba, kultura s kanelovanou keramikou
3. kultura se šňůrovou keramikou
4. kultura zvoncovitých pohárů
5. kultura staroúnětická a protoúnětická (počátky únětické kultury)
6. starší bronz - kultura únětická, kultura větěřovská
7. mladší bronz - kultura knovízská
8. mladší doba železná - kultura laténská (Keltové)
9. doba Římská
10. doba Stěhování národů
11. doba Hradištní
12. 9. – 11. st., Velkomoravská říše
13. Slované
14. současnost

---

*Poznámka:*

*V tomto přehledu jsem měla uvedenou ještě jednu skupinu dob. Skupina, která zahrnovala mladší bronz, kulturu bylanskou, lužickou, mohylovou a podolskou, byla zařazena za*

*skupinu č. 7 – kulturu knovízskou. V této skupině však bylo velice málo naměřených hodnot. Z tohoto důvodu jsem ji raději vyřadila.*

### 1.1 Neolit – kultura s lineární keramikou, kultura s volutovou keramikou (5., 4. a první polovina 3. tisíciletí před n. l.)

Neolit zahajuje novou éru v dějinách lidstva, éru výrobního (produktivního) způsobu života. Člověk se stává zemědělcem a chovatelem dobytka. Na našem území se v době neolitu objevují tři neolitické kultury. Kultura lidu s lineární keramikou, kultura s vypíchanou keramikou a jako poslední kultura s moravskou malovanou keramikou. Ta je součástí Lengyelského kulturního komplexu a přežívá až do nejmladší doby kamenné - eneolitu.

Lidé v tomto období byli průměrně vysoké postavy, hlavu a obličeji měli vyšší a užší. (podle Buchvaldka, 1985)

Podnebí: konec ATLANTIKA, EPIATLANTIK

### 1.2 Eneolit – kultura kulovitých amfor, kultura nálevkovitých pohárů, řívnáčská doba, kultura s kanelovanou keramikou (druhá polovina 3. tisíciletí a počátek 2. tisíciletí před n. l.)

Pozdní doba kamenná, u nás označovaná jako eneolit (aeneus = měděný), někdy také jako chalkolit (chalkos = kov); v západní Evropě se hovoří spíše o mladším, příp. pozdním neolitu. V jižní a jihovýchodní Evropě včetně Karpatské kotliny šlo přímo o dobu měděnou.

Klíčovým znakem této doby je znalost mědi a výroba prvních kovových předmětů. Nejstarší barevná metalurgie se v Evropě šíří od jihovýchodu k severu a severozápadu. Ve střední, severní a severozápadní části kontinentu neměla měď po celý eneolit větší ekonomický význam.

## Výška postavy ženy v průběhu staletí

Na Moravě se v této době objevují kultury: kultura nálevkovitých pohárů, kultura s kanelovanou keramikou, kultura lidu s kulovitými amforami, jevišovická kultura, kultura lidu se šňůrovou keramikou, kultura zvoncovitých pohárů. (*podle Neustupného, 1960*)

Podnebí: EPIATLANTIK

### 1.3 Pozdní Eneolit - kultura se šňůrovou keramikou (*konec 3. a počátek 2. tisíciletí před. n. l.*)

Tato kultura je nazvaná podle časté výzdoby nádob otiskem šňůry. Vyskytovala se v mladším a pozdním eneolitu v Čechách a na Moravě. V Čechách se její nálezy táhnou od Podkrušnohoří přes střední Čechy až na Kolínsko. Nacházela se zřejmě i na Turnovsku, kde jsou nálezy jen ojedinělé. Na Moravě se od ostatních nálezů odlišuje skupina hrobů na severovýchodě tohoto území.

Tato kultura je pro naše území považována za cizí. Přišla k nám migrací nového lidu ze středního Německa a ze Slezska.

Lid se šňůrovou keramikou uvedl do našich zemí zcela odlišnou kulturu od domácího prostředí jevišovicko-řivnáčského. Jeho příchod a pobyt u nás přivodil ukončení vývoje eneolitických zemědělských kultur a nastolení zcela nových předpokladů pro další dění na začátku doby bronzové. České země se ještě více přimknuly ke střední Evropě a patřily nyní k její severní a východní části zaujaté komplexem kultur se šňůrovou keramikou.

Příchod tohoto lidu znamenal i plné uvedení patriarchální organizace společnosti. (*podle Čorneje, 2000*)

Podnebí: EPIATLANTIK

#### 1.4 Pozdní Eneolit – kultura zvoncovitých pohárů (počátek 2. tisíciletí před. n. l.)

Tato kultura nese název podle nádob ve tvaru obráceného zvonu, které v této kultuře byly vyráběny. Vyskytovala se v pozdním eneolitu na území Čech, Moravy a nepatrně na jihovýchodním Slovensku.

Stejně jako kultura se šňůrovou keramikou, je u nás i tato kultura cizí a nelze ji odvodit z žádné z předcházejících eneolitických kultur na našem území. Zástupci této kultury se u nás objevují jako lid dvojitého somatického rázu: převážně krátkolebý a menšího vzrůstu, méně již středolebý a vyššího vzrůstu.

Lid se zvoncovitými poháry se zabýval hlavně pastevectvím a na předním místě v chovu stála ovce, jejíž maso bylo nejčastěji dáváno do hrobu zemřelým. Doložen je i chov skotu a prasat.

Příchodem kultury zvoncovitých pohárů se střední Evropa znova otevřela jižním končinám, z nichž přicházely bronzové výrobky. Tato kultura uzavírá v našich zemích eneolit a vlastně celé dlouhé období ve vývoji lidstva, kdy hlavní výrobní surovinou je kámen; stojí před prahem doby bronzové, v níž vedoucím výrobním materiálem se stával bronz. (*podle Neustupného, 1960*)

Podnebí: EPIATLANTIK

#### 1.5 Kultura staroúnětická a protoúnětická - počátky únětické kultury (cca 1800 před n. l.)

Počátek únětické kultury je charakterizován tzv. staroúnětickou fází, která se svým rázem i archeologickým obsahem od vyspělé únětické kultury dosti liší. Tato fáze únětické keramiky má drobné džbánečkovité tvary, které velmi připomíná keramiku kultury zvoncovitých pohárů, a hrnky, které svým tvarem a někdy i výzdobou nejspíš vycházejí přímo ze zvoncovitých pohárů.

Tuto „předfázi“ únětické kultury známe prozatím pouze z hrobů. Na rozdíl od hrobů vyspělé únětické kultury jsou však poměrně chudé. Chybí v nich jantarové korále, vzácně se vyskytuje bronz či zlato. Hojně se však vyskytují kamenné výrobky. (*podle Neustupného, 1960*)

Podnebí: EPIATLANTIK

## Výška postavy ženy v průběhu staletí

### 1.6 Starší bronz - kultura únětická, kultura větřovská (1800 – 1500 před n. l.)

Starší dobu bronzovou ve velké části střední Evropy představuje kultura únětická. Z našeho území zaujala téměř celé Čechy, Moravu a západní část Slovenska. Vznik této kultury není prozatím úplně vyřešen. Její kořeny nejspíše spočívaly v osídlení pozdního eneolitu.

Z bronzu se vyráběly již daleko dokonalejší nástroje než z kamene, dřeva a kosti, zejména zbraně, šperky a umělecké předměty. V období únětické kultury zhoustlo osídlení českých zemí, vedle vyšší úrovně zemědělství nastal rozmach metalurgie neželezných kovů (nejpokročilejší byla oblast pražsko-slánská a poděbradsko-kolínská). Na Moravě jsou doloženy nejstarší doklady únětické kultury v jižní a jihovýchodní části, později také na Malé Hané a v severnějších oblastech. Kromě sídlišť a pohřebišť se setkáváme s novým druhem nálezů - s depoty (skladby kovových výrobců či jejich polotovarů).

Význam únětické kultury je především v tom, že znamená počátek kovové civilizace ve střední Evropě, přináší nové pracovní techniky a zřejmě i nové společenské vztahy mezi výrobci a odběrateli. Kovorytci a kovotepci v únětické oblasti a horníci v okruhu měděrudných ložisek představují první společenské skupiny, odlišené svým specializovaným pracovním zaměřením od ostatních osídlení. Únětická kultura se dále vyvíjela do větřovské skupiny. (podle Neustupného, 1960)

Podnebí: EPIATLANTIK

### 1.7 Mladší bronz - kultura knovízská (1300 – 1000 před. n. l.)

Lid s knovízkou kulturou zaujal zhruba oblast středních a severozápadních Čech. Můžeme blíže rozlišit tři základní střediska osídlení: oblast pražsko-slánskou, podkrušnohorskou a kolínskou a dále oblasti expanze na Příbramsku a Sedlčansku, na Strakonicku a Plzeňsku.

Základem hospodářství bylo zemědělství. Běžně chovanými domácími zvířaty v knovízkých osadách byli tur domácí, prase, ovce, koza, kůň, pes a kočka. Vzácně jsou nacházeny i doklady o rybolovu.

## Výška postavy ženy v průběhu staletí

Kromě běžných žárových hrobů se objevují i pohřby nespálených lidských těl, většinou na sídlištích. Některé z nich jsou skutečnými obřadně uloženými pohřby, jiné představují pohřby v sídlištních jámách.

Ve vývoji pravěku českých zemí má knovízská kultura základní důležitost jako výsledek procesu, jenž koncem doby bronzové stmelil rozdílné složky středoevropského pravěku natolik, že se potom staly základou pro vývoj v mladší době halštatské. (*podle Neustupného, 1960*)

Podnebí: SUBBOREAL

### 1.8 Mladší doba železná - kultura laténská (Keltové) (cca 500 př. n. l. – 0)

Význam keltské kultury pro vývoj civilizace ve střední Evropě je velký. Keltové dovršili vývoj pravěku na našem území po stránce hospodářské, společenské i kulturní a položili pevné základy, z nichž středoevropské lidstvo čerpalo ještě na počátku středověku.

Keltové zdokonalili kultivaci půdy a tím zvýšili zemědělskou produkci. Z domácích zvířat chovali Keltové hovězí dobytek, ovce, koně a zvláště pak vepřový dobytek. Mléko bylo dále zpracováváno v sýr. Rozšířen byl také rybolov.

V oblasti hutnictví rozšířili těžbu rud (hlavně železa), tuhy a rýžování zlata. Keltové ovládali veškeré základní druhy řemesel a jejich účelné nástroje sloužily bez velkých změn až hluboko do středověku. Rozvoj sklářství a uměleckoprůmyslových technik, jako vykládání bronzových předmětů jantarem a emailem, spadá rovněž do tohoto období. Přínosem je i rychle se točící hrnčířský kruh k výrobě jemné keramiky. Obchod ve velkém měřítku si vynutil ražbu prvních mincí ve střední Evropě. Počátky latinského a řeckého písma ve střední a západní Evropě jsou dokladem úzkých styků keltů s Etrurií, Řeckem a Itálií.

Keltská patriarchální společnost prošla vývojem od různých stupňů rodové organizace přes patriarchální otrokářství až k primitivnímu otrokářskému rádu.

Keltové se často konfrontovali s antickým světem, poráželi Řeky i Římany, ale nedokázali svých vítězství využít. Byli nakonec podmaněni Římany od jihu a zbytek jejich panství byl rozdrcen Germány od severu. (*podle Neustupného, 1960*)

Podnebí: SUBATLANTIK

### 1.9 Doba Římská (0 – 400 n. l.)

V tomto období osídlilo naše území germánské etnikum, jehož historická úloha zde pak končí v podstatě s příchodem Slovanů. Naše země se nacházely v nárazníkovém území mezi římskými provinciemi a tzv. barbarikem. Rozvinuté kontakty germánských vládců s římským prostředím však způsobily, že se i do těchto prostor dostávalo značné množství reprezentativních výrobků, které jsou nalézány při archeologických výzkumech a obohacují významnou měrou naše poznání. V Čechách a na Moravě sídlili po přelomu letopočtu Markomani, na Moravě pak ještě Volkové-Tekoságové.

Civilizačně byli Germáni na nižším stupni než Keltové, měli jednoduché zemědělství a muži dávali přednost lovu. Z řemeslné výroby vynikali v hutnictví a kovářství. Jejich rodová společnost žila v občinách, byla kmenově organizována a kmeny se spojovaly ve svazy. (*podle Buchvaldka, 1985*)

Podnebí: SUBATLANTIK

### 1.10 Doba Stěhování národů (5. a 6. století n. l.)

Pojmem stěhování národů se označují rozsáhlé migrace obyvatelstva (tzv. barbarských kmenů a jejich skupin), které probíhaly koncem starověku a počátkem středověku. Jejich příčinou byly geografické změny, především růst počtu obyvatelstva, způsobený přechodem od pastevectví k zemědělství, to znamená k usedlému způsobu života, i sociální důvody. Kromě toho primitivní způsob obdělávání půdy vedl k jejímu rychlému vyčerpání, což bylo dalším důvodem ke stěhování.

Vlastním stěhováním národů se obvykle rozumí pohyb germánských a slovanských kmenů začínající ve 4. a končící koncem 7. století. Konec germánské etapy stěhování národů znamená na západě současně konec pozdní antiky resp. římského císařství. Začíná

## Výška postavy ženy v průběhu staletí

ranný středověk. V širším slova smyslu jsou do stěhování národů zahrnovány také vikingské výpravy a příchod Maďarů do Karpatské kotliny.

Motivy stěhování nejsou vlastně úplně zřejmé. Počáteční pohyb jednotlivých kmenů (především Hunů) a následný tlak, vedl k novému rozmístění kmenů po celé Evropě. Důležité je všimnout si, že kmeny nebo národy postrádaly trvalou jednotu a společný původ. Kmeny nebyly homogenním útvarem tvořeným ryze jedním společenstvím, ale spíše zahrnovaly více takových společenství, z nichž jedno bylo dominantní. Tím pádem velikost a složení kmene mohly být silně proměnlivé.

Pomalý úpadek západořímské říše a s tím související ztráta moci a správních kultur, stejně jako rostoucí začleňování Germánů jako spojenců do římského vojska, vytvářelo další předpoklad pro stěhování národů. Přičemž větší význam než samotná barbarizace římského vojska měla přítomnost germánských spojenců na území říše, kteří se nechali císaři stále méně ovlivňovat a nakonec vytvářeli fakticky nezávislé říše na půdě impéria. Proto se mluví spíše o transformaci římského světa, než o jeho regulérním dobytí Germány. (*podle Wikipedie, 2006*)

Podnebí: SUBATLANTIK

### 1.11 Doba Hradištní (600 – 1250 n. l.)

Označení nejstaršího slovanského období a nálezů od 7. do 13. století na území Čech a Moravy. Název je odvozen od četných hradišť, která byla tehdy budována. Hradištní doba se dělí na starší (v letech 600-800), střední (do roku 950) a mladší (do roku 1250).

Starší doba hradištní: V tomto období se Slované stávají jedinými pány Čech, Moravy a Slovenska. Ubrání se Avarům a Frankům. Žďárové hospodaření je nahrazeno hospodařením orným. Nedostatek pastvin zapříčinil, že dobytek byl vyháněn na pastvu do lesů. Byla pěstována především pšenice, žito, ječmen, proso a hrášek. Z užitkových dřevin používali smrk, tis, borovice, lípy a jiné listnáče. Co se týče dobytkářství, přivedli do Evropy některé nové druhy, zvláště bůvola. Hojný byl hovězí dobytek, ovce a koně. (*podle Neustupného, 1960*)

Podnebí: SUBRECENT

### 1.12 Střední doba hradištní: 9. – 11. st. (800 – 950 n. l.)

Počátkem 9. století vznikla na území jižní Moravy a severozápadního Slovenska první slovanský stát ve střední Evropě. Byzantský císař Konstantin VII. Porfyrogennetos jej ve svých spisech později označil jako Velkou Moravu. To však znamenalo pouze to, že byla více vzdálená od hranic byzantské říše než další celek nazývaný Morava, který se vytvořil na území dnešního Srbska. (*Poznámka: dále v textu bude Moravou myšlena již skutečná Morava.*)

Údolí řek Moravy a Dyje patří k nejúrodnější oblastem našeho území. Slovanské kmeny, které se zde usadily, se proto rozvíjely rychleji než například obyvatelstvo v Čechách. Důležité pro ně byly také styky s Podunajím. Dunaj se stal významnou obchodní tepnou, po níž přiváželi cizí kupci na jižní Moravu přepychové předměty (šperky nebo suroviny k jejich výrobě, drahé látky, honosné zbraně) a sůl. Jižními sousedy moravských Slovanů byli Avari, kteří přestali být po porážce Sámem svému okolí nebezpeční. Pod vlivem Slovanů, žijících na avarském území, upustili od kočovného způsobu života a přešli k usedlému zemědělství. Počátkem 9. století vyvrátil avarsou říši Karel Veliký. Frankové však neměli dost sil, aby její území zabrali a připojili ke svému státu. Této příležitosti využila k rozšíření své moci okolní slovanská knížata. Moravané ovládli jihozápadní Slovensko, které se dostalo společně s jižní Moravou pod vládu jednoho knížete. Prvním známým moravským panovníkem byl kníže Mojmír (vládl do 846), podle něhož se dynastie nazývá Mojmírovci. Kníže Svatopluk (vládl 870-894) vytvořil na základě moravského státu rozsáhlou a mocnou říši, která se rozkládala daleko za hranice vlastní Moravy. Na Svatoplukově dvoře přijal křest i český kníže Bořivoj a uznal svrchovanost moravského vládce nad Čechami.

V letech 863 přišla na Moravu z tehdy byzantské Soluně křesťanská misie Konstantina Cyrila a Metoděje, kteří přinesli hláholici a šířili křesťanství ve staroslověnštině - makedonském dialektonu srozumitelnému slovanskému obyvatelstvu. Metoděj se později stal prvním moravským arcibiskupem a hlásáním křesťanství v pohanském okolí Velké Moravy pomáhal Svatoplukovi při rozširování státu.

Velkomoravská říše, od níž se Čechové 895 odtrhli, byla v letech 907–908 vyvrácena Maďary. (podle Wikipedie, 2006)

Podnebí: SUBRECENT

## Výška postavy ženy v průběhu staletí

### 1.13 Slované (7. – 13. století n. l.)

Pro Slovany obecně platí stejná charakteristika jako pro předchozí skupinu.

Podnebí: SUBRECENT

### 1.14 současnost

Údaje o této skupině pocházejí z let 1996 – 1998, kdy bylo pro řešení grantového projektu GA ČR 206/96/0246 shromážděno 160 stehenních (femur) a 160 pažních (humerus) kostí od 100 mužů a 60 žen ve věku od 18 do 88 let. Tyto kosti byly získány v pitevně Ústavu soudního lékařství Záchranné služby hl. m. Prahy. Byly odebírány při pitvách ze soudně lékařské indikace, tj. od lidí, kteří zemřeli v „plném zdraví“. (*podle Dobisíkové, 1999*)

Podnebí: SUBRECENT

## 2. CHARAKTERISTIKA KLIMATICKÝCH OBDOBÍ

Výška postavy člověka je závislá na mnoha faktorech. Jedním z nich je nepochybně i podnebí doby, ve které člověk žije. Období, ve kterém se nacházíme, se nazývá *holocén* (*doba poledová, postglaciál*).

Holocén je nejmladší geologické období čtvrtoroh, následující po pleistocénu. Jeho počátek je kladen nejčastěji na 10000-10500 let před dneškem. Podle klimatických období se holocén dělí na preboreál, boreál, atlantik, epiatlantik, subboreál, subatlantik a subrecent. Podnebí a rostlinstvo v celém holocénu jsou značně blízké nynějšímu.

- **Preboreál** (8300 – 7700 př. n. l.) – průměrné teploty byly až o 5°C nižší než dnes; klima o něco sušší, více kontinentálního rázu; léta byla velmi suchá, což umožnilo přežívání stepí; v lidské společnosti převládal mezolitický způsob života, který je blízký např. severoamerickým indiánům - je založen na kombinovaném sběru a lově, důležitý je také rybolov
- **Boreál** (7700 – 6000 př. n. l.) – průměrné teploty byly asi o 2°C nižší než dnes; kontinentální ráz podnebí; léta velmi suchá, v lidské společnosti převládal mezolitický způsob života
- **Atlantik** (6000 – 4000 př. n. l.) – průměrná roční teplota o 3°C vyšší než dnes (tzv. postglaciální optimum); značné zvýšení relativní vlhkosti vzduchu – průměrné srážky o 60-70 % vyšší než dnes
  - příznivé přírodní podmínky a nouze způsoběná tím, že krajina již nebyla schopna uživit lidí mezolitickým způsobem, vedly ke vzniku zemědělství; lidé nejprve obsazovali přirozeně rozvolněné plochy na okrajích lesů a stepí, teprve později rozšiřovali bezlesé plochy
- **Epiatlantik** (4000 – 1250 př. n. l.) – období kolísavého klimatu; časté střídání vlhkých a suchých výkyvů podnebí; léta v průměru o 1 – 2°C vyšší než v současnosti; razantní ubývání srážek
- **Subboreál** (1250 – 750 př. n. l.) – je to období srovnatelné s Boreálem, ale ne tak studené; suché období – suchá léta v průměru o 1 – 2°C vyšší než v současnosti, zimy podstatně chladnější než dnes; výrazně kontinentální klima

## Výška postavy ženy v průběhu staletí

- představuje klíčové období evropských dějin; v našich podmínkách představuje subboreál nejvíc katastrofické období celého holocénu
  - v době lužické kultury, tj. přibližně kolem roku 1000 př. n. l. došlo k náhlé změně životního prostředí – dá se hovořit o enviromentální krizi či dokonce o ekologické katastrofě; můžeme ji označit podle kultury, jako „lužickou krizi“
- **Subatlantik** (750 př. n. l. – 600 n. l.) – mírné zhoršení klimatu – roky jsou celkově studenější a vlhčí (podnebí více oceáničtější než v současnosti); vlhčí klima však umožnilo pěstování obilí i na místech dnes málo příznivých (např. na africkém pobřeží)
- **Subrecent** (od 600 n. l.) – klima současného typu s výraznými vlhkostními a teplotními výkyvy; ze středověku doloženo tzv. malé klimatické optimum (875 – 1194, Velká Morava, v Grónsku rostly stromy). (*podle Svobody, 2003*)

Výška postavy ženy v průběhu staletí

Tab. č. 1: Přehled archeologických a klimatických období (podle Buchvaldka, 1985)

Absolutní stáří	Běžné dělení	Nově navržené dělení	Vývoj biocenóz	Archeologická periodizace	Období
1000	SUBATLANTIK	SUBRECENT	Vznik současné kulturní krajiny Středověké odlesnění Hlavní rozmach bukojedlových lesů	Průnik moderních druhů Postupující odlesnění Subkontinentální step	DOBA RÍMSKÁ A ŠTĚHOVÁ NÁRODŮ DOBA ŽELEZNÁ mladší
0		SUBATLANTIK			
-1000		SUBBOREÁL	Intenzivní odlesnění a pastva		
-2000		EPIATLANTIK	Postupné šíření buku, jedle a habru Vytvoření pásmu bučin na úkor smlíšených doubrav i smrčin		
-3000		ATLANTIK	Vznik vegetačních stupňů dnešního typu		
-4000		ATLANTIK	Hlavní rozmach smlíšených doubrav Počátek buku a jedle		
-5000			Na horách smrčiny Vymizení zbytků nezapojených porostů		
-6000					
-7000	BOREÁL	BOREÁL	Nástup smlíšených doubrav Šíření smrků		
-8000	PREBOREÁL	PREBOREÁL	Zalesnění		
-9000			Řídka tajga Chladná step		
-10 000			Zalesnění Ojediněle náročné dřeviny		
	STARÝ DRYAS	STARÝ DRYAS	Převládá chladná step	PALEOLIT MEZOLIT	PLEISTOCÉN Pozdní glaciál
	ALLERÖD	ALLERÖD			starší
					střední
					mladší

### 3. MĚŘENÉ KOSTI – HUMERUS A FEMUR

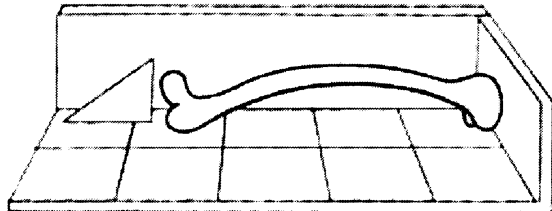
Svou práci jsem založila na výpočtu výšky postavy ženy podle dlouhých kostí, konkrétně podle kosti pažní (*humerus*) a kosti stehenní (*femur*). Tyto kosti jsem si vybrala proto, že při počítání výšky postavy podle metody Bacha, kterou jsem si zvolila, jsou tyto kosti nejvhodnější.

Měření jsem prováděla pouze na osteometrické měřící desce. (obr. č. 1)

#### Osteometrická deska

Kosti se měří na osteometrické desce tak, že se jedním měrným bodem dotýkají jednoho ze svislých prkének a druhým pohyblivé destičky. Hodnota rozměru se odečítá v milimetrech.

Obr. č. 1: Osteometrická deska (obrázek podle Fettra, 1967)



### 3.1. HUMERUS (KOST PAŽNÍ)

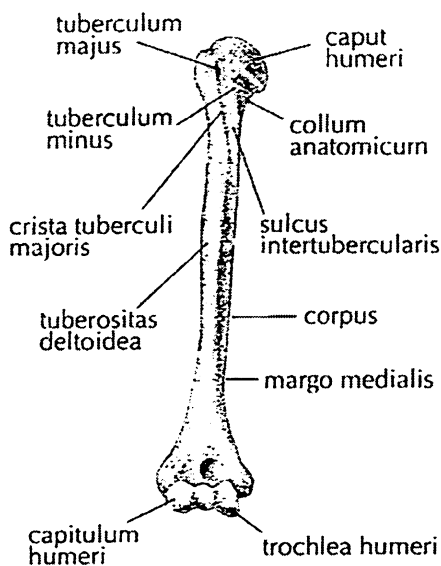
#### 3.1.1 Popis kosti

Kost pažní je typická dlouhá kost, tvořená střední diafýzou a dvěma koncovými epifýzami – proximální a distální. Proximální konec (hlavic) tvoří hlava (caput humeri) a navazuje na ni krček (collum anatomicum). Na přední straně se nachází velký (tuberculum majus) a malý hrbol (tuberculum minus). Mezi těmito hrboly probíhá brázda (sulcus intertubercularis), do níž se vkládá šlacha dvouhlavého svalu (caput longum m. bicipitis). Pod oběma hrboly je kost zúžena; zúžení se nazývá collum chirurgicum. V tomto místě se kost pažní často láme. Tělo (corpus) nese vpředu laterálně deltovou drsnatinu – tuberositas deltoidea.

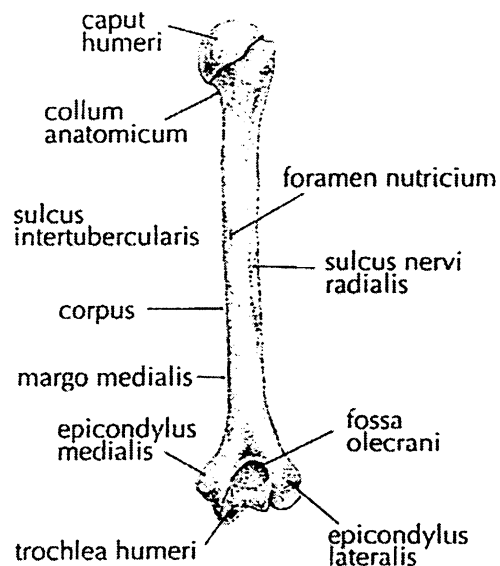
Distální konec tvoří epicondylus lateralis a epicondylus medialis, pod kterými následují dvě plošky kloubní: hlavička (capitulum humeri) – zajišťuje kloubní spojení s kostí vřetenní – a kladka (trochlea) pro skloubení s kostí vřetenní. Nad capitulem humeri je vpředu fossa radialis, nad trochleou fossa coronoidea, do níž při ohnutí zapadá výběžek kosti loketní – processus coronoideus. Na dorsální straně je hluboká fossa olecrani, do které při natažení zapadá výběžek loketní (olecranon ulnae). (*podle Stloukala, 1999, podle Fettra, 1967*)

Obr. č. 2: Humerus – pohled zpředu (A) a zezadu (B) (obrázek podle Stloukala, 1999)

A)



B)

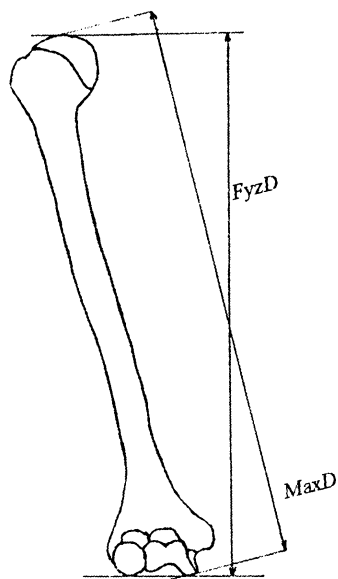


### 3.1.2 Míry na humeru

Ze všech měr jsem ke svým výpočtům potřebovala pouze největší délku kosti. Pro srovnání uvádím také definici fyziologické délky kosti.

- Největší délka humeru (MaxD) – přímá vzdálenost nejvyššího bodu na hlavici humeru od nejvíce vzdáleného bodu na kladce. Caput humeri se při měření dotýká svislé stěny měřící desky. (obr. č. 3)
- Fyziologická délka humeru (FyzD) – Přímá vzdálenost nejvyššího bodu na hlavici humeru od nejvíce vzdáleného bodu na hlavičce. Osa kosti musí při měření probíhat rovnoběžně s podélnou osou měřící desky. (obr. č. 3) (*podle Fettra, 1967*)

Obr. č. 3: Míry na humeru (obrázek podle Fettra, 1967)



Vysvětlivky:

*MaxD – největší délka*

*FyzD – fyziologická délka*

### 3.2 FEMUR (KOST STEHENNÍ)

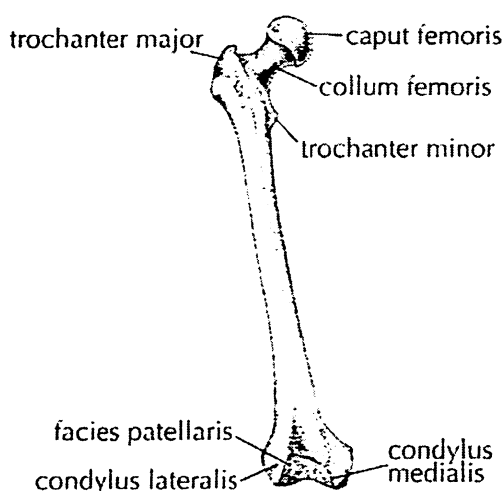
#### 3.2.1 Popis kosti

Kost stehenní je nejmohutnější a nejdelší kost v těle. Skládá se z hlavice (caput femoris), krčku (collum femoris), z těla (corpus femoris) a z distálního konce. Krček se napojuje na tělo pod úhlem asi  $125^{\circ}$ . Tento úhel se nazývá kolodifyzární. Přední strana krčku femoru je plošší, zadní je vypouklejší. Z proximálního konce těla stehenní kosti vybíhají dva chocholíky – velký (trochanter major), na straně laterální a malý (trochanter minor), na straně mediální.

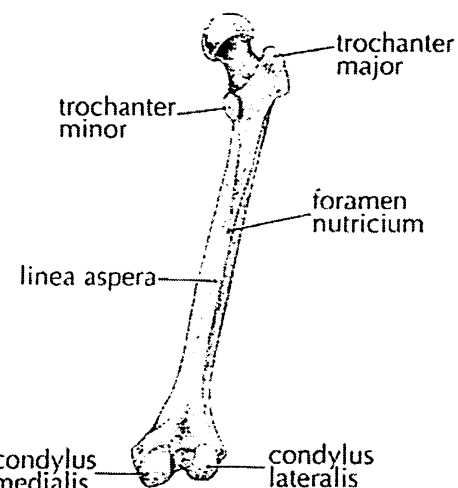
Distální konec stehenní kosti vybíhá bočně v malé hrbolky, epicondylus medialis a epicondylus lateralis. Pod epikondyly následují hrboly kloubní (condylus medialis a condylus lateralis), jež vpředu spojuje prohnutá facies patellaris, do níž se vkládá patela. Vzadu jsou oba kondyly odděleny hlubokým zárezem, který se nazývá fossa intercondylaris. Kloubní hrboly zajišťují spojení s kostí holenní (*tibia*). (podle Stloukala, 1999, podle Fettra, 1967)

Obr. č. 4: Femur – pohled zpředu (A) a zezadu (B) (obrázek podle Stloukala, 1999)

A)



B)



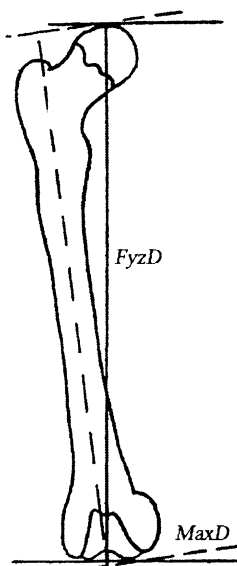
### 3.2.2 Míry na femuru

Ze všech měr jsem ke svým výpočtům potřebovala pouze největší délku kosti. Pro srovnání uvádím také definici fyziologické délky kosti.

Měření jsem prováděla pouze na měřící desce. (obr. č. 1)

- Největší délka femuru (MaxD) – Vzdálenost nejvyššího bodu na hlavici od nejvíce vzdáleného bodu na mediálním (nebo vzácně laterálním) kondylu. Při měření se zpravidla dotýká mediální kondylus svislé stěny měřící desky. Posuvní destička se přikládá k hlavici a mírným obloukovým posunem hlavice se hledá největší vzdálenost. (obr. č. 5)
- Fyziologická délka femuru (FyzD) – Vzdálenost nejvyššího bodu na hlavici od roviny, která se dotýká spodních ploch obou kondylů. Při měření se oba kondily dotýkají svislé stěny měřící desky. (obr. č. 5) (*podle Fettra, 1967*)

Obr. č. 5: Míry na femuru (obrázek podle Fettra, 1967)



Vysvětlivky:

MaxD – maximální délka

FyzD – fyziologická délka

#### 4. URČOVÁNÍ POHĽAVÍ NA KOSTŘE

Data pro zpracování, která jsem měla k dispozici mohu rozdělit do dvou skupin. První skupinu tvoří údaje, které jsem získala z inventáře Antropologického oddělení Národního muzea v Praze a archivu katedry antropologie Přírodovědecké fakulty Masarykovy university v Brně. V kartách bylo uvedeno pohlaví, věk, zda se jednalo o nedospělého či dospělého jedince, doba či kultura a naleziště. Jedince, u kterých nebylo jasné pohlaví a to zda se jedná o dospělce, jsem předem vyřadila a do svého výzkumu nezahrnula.

Za druhou skupinu považuji ty údaje, které jsem sama naměřila. První měření probíhalo v depozitáři Národního muzea v Praze v Horních Počernicích. Kostrový materiál je zde uložen v papírových krabicích, které jsou polepeny štítkem s čísly kostí uvnitř krabice. Druhé měření jsem absolvovala v depozitáři Moravského zemského muzea v Brně. Materiál zde byl umístěn stejným způsobem jako v Praze.

Jak v muzeu v Praze, tak v Brně, nebylo u všech kostí určeno pohlaví.

To pro mě bylo velmi důležité, jelikož moje práce se týká pouze žen a práce mé kolegyně výhradně mužů. U těch jedinců, u kterých nebylo předem určeno pohlaví, jsme ho určovaly při měření.

Následuje přehled pro určování pohlaví podle lebky a pánev, podle kterých jsem se při určování řídila.

##### 4.1 Lebka (cranium)

Studium lebky je v antropologii velmi důležité a tvoří speciální část antropologie, která se nazývá kraniologie. Na lebce je soustředěno velké množství znaků, které mohou identifikovat zkoumaného jedince. Podle lebky můžeme určit pohlaví a věk osoby, jejíž kostra se zachovala. Slouží také k určení příslušnosti a antropologického typu lidí z dob historických a prehistorických. (*podle Fettra, 1967*)

První pozorování pohlavních rozdílů pocházejí již z 18. století. Základem formulací sexuálních rozdílností na lebce se staly Brocovy práce z let 1868 a 1875. Pro pohlavní

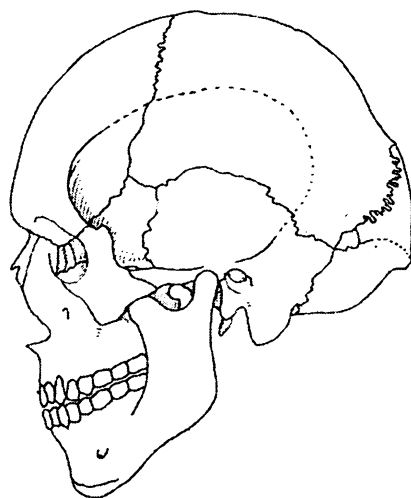
## Výška postavy ženy v průběhu staletí

diagnózu Broca používal dvě skupiny znaků, skupinu znaků hlavních a skupinu znaků vedlejších.

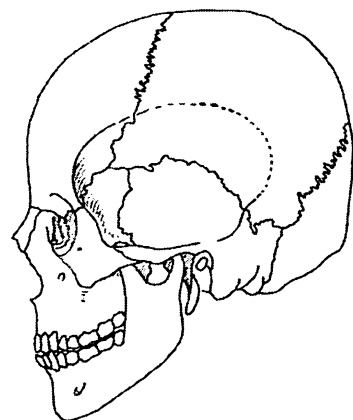
K hlavním znakům podle Brocy patří rozvoj glabely, profil čela (tzv. Eckerova známka), rozvoj nadobočních oblouků a zevního týlního hrbohu. K vedlejším řadí velikost čelních a temenních hrbohů, proc. styloideus, incisura mastoidea digastrica, crista supramastoidea, hloubku fossa canina, kraj dolního okraje lícni kosti, rozvoj proc. alveolaris, sílu těla a šířku větví dolní čelisti a vývoj proc. coronoideus. (*podle Stloukala, 1999*)

Podle A. Hrdličky a L. Borovanského lze určit pohlaví u 90% lebek také podle znaků uvedených v tabulce č. 1. Rozdíly na obou lebkách jsou patrné z obr. č. 1 a 2. Kromě pohlaví může lebka vypovídat i o stáří zkoumané osoby.

Obr. č. 6: Lebka muže  
(oba obrázky podle Fettra, 1967)



Obr. č. 7: Lebka ženy



#### 4.2 Dolní čelist (mandibula)

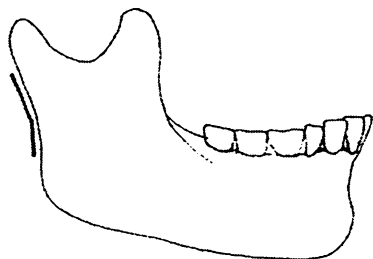
Pohlaví jedince lze také určit podle dolní čelisti (mandibuly). Dolní čelist se skládá z parabolicky ohnutého těla (corpus mandibulae), k němuž se dorzálně připojují dvě ramena (rami mandibulae).

U většiny žen je zadní okraj ramene mandibuly přímý a pokud je pozorováno zakřivení, potom se vyskytuje výše, v blízkosti krčku. U mužů je naopak zakřivení výrazné a najdeme ho ve výši okluzní roviny.

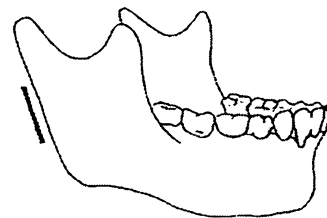
K chybné diagnóze může dojít i při některých onemocněních, jako např. při Pagetově chorobě, při které jsou ženské čelisti maskulinizovány, nebo při deformacích pro lepru, syfilis či traumatický proces, kde může dojít k chybám na obě strany. (*podle Stloukala, 1999*)

Rozdíly mezi mužskou a ženskou čelistí jsou vidět na obr. č. 8 a 9.

Obr. č. 8: Dolní čelist muže  
(oba obrázky podle Stloukala, 1999)



Obr. č. 9: Dolní čelist ženy



Výška postavy ženy v průběhu staletí

*Tab. č. 2: Přehled morfologických diagnostických znaků na lebce u mužů a žen (podle Stloukala, 1999)*

<b>znak / pohlaví</b>	<b>muži</b>	<b>ženy</b>
robusticita, velikost	větší a mohutnější	malá, gracilní a lehká
kapacita mozkovny	větší kapacita	menší kapacita
obličejobá část	větší	menší
svalové úpony	silně vyznačeny	slabě vyznačeny
kořen nosu	značný ohyb v sutura frontonasalis	frontonasální přechod je plynulý
arcus superciliares	jsou vyznačeny	nejsou vyznačeny
očnice	horní okraj očnice je tupý	horní okraj očnice je ostrý
profil čela	čelo je klenuté, nestoupá prudce vzhůru	čelo je kolmé
tubera frontalia	nejsou vyznačena	jsou zřetelně vyznačena
protuberantia occipitalis externa	silně vystupuje	je slabá
processus mastoideus	je velký	je malý
foramen magnum	foramen magnum ossis occipitalis je velké	foramen magnum ossis occipitalis je malé
tuberositas masseterica	na úhlu mandibuly je vyznačena	při úhlu mandibuly je slabá
dolní čelist	brada prominuje a mandibula v symfýze je vysoká	výška dolní čelisti v symfýze je nízká
tuberculum marginale	je silně vyvinuto	chybí
zubní oblouk	větší, zaoblený	malý s menším poloměrem zakřivení

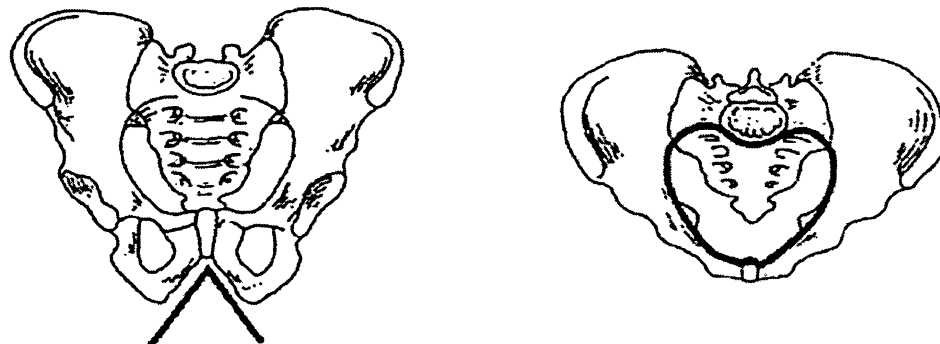
#### 4.3 Pánev (pelvis)

Tvarové rozdíly na páni umožňují určit zda se jedná o pánev mužskou či ženskou. Pohlavní rozdíly jsou na páni slabě naznačeny již v době fetální, zřeteně se však vytvářejí v období pohlavního dospívání.

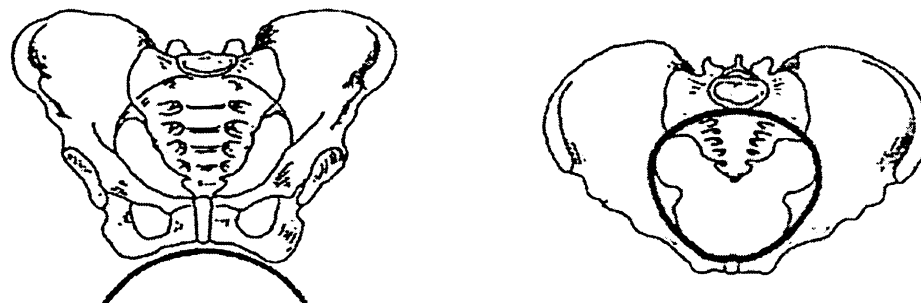
Spolehlivou pohlavní diagnózu páne lze úspěšně stanovit pouze u normálních jedinců. Při určování pohlaví u patologických páni je nutné si uvědomit sílu a směr ovlivnění pohlavních rozdílů přítomnou vadou či odchylkou. (*podle Borovanského, 1976*)

Přehled morfologických diagnostických znaků na páni je přehledně uveden v tabulce č. 2. Rozdíl mezi mužskou a ženskou páni je patrný z obr. č. 10 a 11.

Obr. č. 10: Mužská pánev (obrázek podle Stloukala, 1999)



Obr. č. 11: Ženská pánev (obrázek podle Stloukala, 1999)



## Výška postavy ženy v průběhu staletí

*Tab. č. 3: Přehled morfologických diagnostických znaků na páni u mužů a žen (podle Stloukala, 1999)*

<b>znak</b>	<b>muži</b>	<b>ženy</b>
pánev	masivní, hrubý povrch	gracilní, hladký povrch
tvar pánev	nálevkovitý, vertikálně orientovaný	předozadně oploštělý horizontálně orientovaný válec
vchod do malé pánev	srdčitý s vyčnívajícím promontoriem	ledvinovitý
subpubický úhel	ostrý (70 - 75 stupňů)	se široce otevřenými větvemi (90 - 95 stupňů)
symfýza	vysoká	nízká
tělo stydké kosti	trojúhelníkovité	čtyřúhelníkovité
ischiopubicke větev	náhlé vytočení v crista phalica	mírně a plynule vytočena
tvar incisura ischiadica major	užší, hlubší, asymetrická, tvar obráceného „J“	mělké, ramena se rozvíhají v široké symetrické „V“
tuberculum piriformis	vytvořeno	zřídka vytvořeno
tvar facies auricularis	ramena svírají ostřejší úhel, často zasahuje na S2	menší, často zasahuje na S3
zaškrcení dol. ram. fac. aur.	není zaškrcení	zaškrcení přítomno
arc composé	přední okraj fac. auric. plynule navazuje na oblouk velkého sedacího zářezu	oba oblouky se v prodloužení protínají
spina ischiadica	plošně hranatá	hrotnatá
foramen obturatum	velký, oválný s delší vertikální osou	menší, trojúhelníkovitý
sulcus praearicularis	úzký s rovnoběžnými hranami	hluboký, široký s jamkami oddělenými navzájem septami
acetabulum	velké, směruje laterálně, průměr přibližně rovný délce stydké kosti	malé, směruje anterolaterálně, průměr menší než délka stydké kosti

## Výška postavy ženy v průběhu staletí

crista iliaca	výrazné esovité zakřivení	méně esovitě zakřivená, více obloukovitá
---------------	---------------------------	--

Všechny prezentované znaky jak na pávni, tak na lebce, jsou uvedeny v krajních polohách. Ve skutečných případech však nejsou alternativní, ale jejich vyjádření může mezi oběma krajními polohami plynule přecházet.

## 5. POUŽITÉ STATISTICKÉ CHARAKTERISTIKY

K popisu a srovnání naměřených souborů jsem použila tyto popisné charakteristiky: aritmetický průměr, medián, směrodatnou (standardní) odchylku, střední (standardní) chybu průměru. U každého souboru dat jsem pro přehlednost také určila minimum, maximum, rozpětí a počet naměřených hodnot.

Všechny zmíněné charakteristiky jsem vypočítala pomocí statistického programu NCSS 97, pro kontrolu však uvádím definice těchto charakteristik.

- *Aritmetický průměr -  $\bar{x}$*

Průměr je základní statistickou charakteristikou číselného výběru. Charakterizuje polohu (střed výběru) souboru dat na škále měření. Má smysl pouze pro hodnoty vyjádřené v kvantitativním měřítku. (*podle Havránka, 1993*)

$$\bar{x} = \frac{1}{n} \sum_{i=1}^n x_i \quad (1)$$

kde  $n$  ... četnost daného souboru,

$x_i$  ... zjištěná hodnota znaku u i-té měřené položky

- *Medián -  $\tilde{x}$*

Medián je charakteristikou polohy. Rozděluje zjištěné hodnoty na dvě stejně početné části. Nezávisí na nejmenších a největších hodnotách (na rozdíl od průměru). (*podle Stloukala, 1999*)

$$\tilde{x} = \frac{1}{2} \left( x_{\left(\frac{n}{2}\right)} + x_{\left(\frac{n}{2}+1\right)} \right) , \text{ pro } n - \text{sudé} \quad (2)$$

$$\tilde{x} = x_{\left(\frac{n+1}{2}\right)} , \text{ pro } n - \text{liché} \quad (3)$$

kde  $n$  ... četnost daného souboru

## Výška postavy ženy v průběhu staletí

- Směrodatná odchylka (standardní odchylka) –  $s$

Směrodatná odchylka je charakteristikou variability. Charakterizuje rozptylenost měřené veličiny. Je to odmocnina z rozptylu a na rozdíl od něj má stejný fyzikální rozměr jako výchozí měření. (podle Stloukala, 1999)

$$s = \sqrt{\frac{1}{n-1} \left( \sum_{i=1}^n x_i^2 - n\bar{x}^2 \right)} \quad (4)$$

kde  $n$  ... četnost daného souboru

$\bar{x}$  ... aritmetický průměr

$x_i$  ... zjištěná hodnota znaku u i-té měřené položky

- Střední chyba průměru (standardní chyba) -  $S\bar{x}$

Střední chyba průměru charakterizuje přesnost našeho odhadu střední hodnoty. [12]

$$S\bar{x} = \frac{s}{\sqrt{n}} \quad (5)$$

kde  $n$  ... četnost souboru

$s$  ... směrodatná odchylka

## 6. POUŽITÉ STATISTICKÉ METODY

### 6.1 Analýza rozptylu jednoduchého třídění

Speciální model analýzy rozptylu, kdy se porovnávají populační průměry v  $k$  populacích, odhadované pomocí nezávislých výběrů. Bezprostřední zobecnění dvouvýběrového t - testu na  $k$  nezávislých výběrů.

Předpokládáme, že:

$Y_{11}, \dots, Y_{1n_1}$  je náhodný výběr z rozdělení  $N(\mu_1, \sigma^2)$ ,

$Y_{21}, \dots, Y_{2n_2}$  je náhodný výběr z rozdělení  $N(\mu_2, \sigma^2)$ ,

...

$Y_{k1}, \dots, Y_{kn_k}$  je náhodný výběr z rozdělení  $N(\mu_k, \sigma^2)$ .

Rozptyl  $\sigma^2$  je pro všechny výběry stejný, ale populační průměry ( $\mu_1, \mu_2, \dots, \mu_k$ ) jsou různé.

Musí platit předpoklad, že všech  $n = \sum_{i=1}^k n_i$  náhodných veličin je nezávislých.

Testujeme zde nulovou hypotézu, že všechny střední hodnoty jsou stejné:

$H_0: \mu_1 = \mu_2 = \dots = \mu_k$  proti alternativě, že alespoň dvě z nich nejsou stejné. (podle Zváry, 2001)

### 6.2. Kruskal-Wallisův test

Tento test je neparametrická „náhrada“ za analýzu rozptylu jednoduchého třídění v případě, že není splněna podmínka normality. Jestliže se pochybuje o normalitě, je vždy jistější použít tento test.

Opět musí platit předpoklad, že všech  $n = \sum_{i=1}^k n_i$  náhodných veličin je nezávislých.

Každému pozorování se přiřadí jeho pořadí  $R_{it}$ , jaké by toto pozorování dostalo po spojení všech výběrů. Taktéž zjištěná pořadí se pak použijí v nepatrнě změněné analýze rozptylu jednoduchého třídění místo původních pozorování. Pokud platí nulová hypotéza, pak jsou data dokonale promíchána a průměrná pořadí v jednotlivých souborech jsou podobná.

## Výška postavy ženy v průběhu staletí

Nulová hypotéza  $H_0$  je ta, že všechny populace mají identické distribuční funkce oproti alternativní hypotéze  $H_1$ , která předpokládá, že nejméně dvě populace se liší s ohledem na pořadí (medián). (*podle programu NCSS*)

poznámka:

**nulová hypotéza** – Tvrzení o pravděpodobnostním modelu, o jehož pravdivosti chceme rozhodnout. Zjednodušíme uvažovaný model, zpravidla se jej snažíme vyvrátit.

**hladina testu ( $\alpha$ )** – Pravděpodobnost, s jakou zamítneme nulovou hypotézu, když tato platí.

**síla testu ( $1 - \beta$ )** – Pravděpodobnost, s jakou zamítneme nulovou hypotézu, když tato neplatí.

**dosažená hladina testu (p)** – Pravděpodobnost, s jakou bychom dostali výsledek stejně nebo ještě více odporující nulové hypotéze. Je-li  $p \leq \alpha$ , pak se nulová hypotéza zamítá.  
(*podle Zváry, 2001*)

### 6.3 Vyloučení odlehlých pozorování

K vyloučení odlehlých pozorování se používají rezidua. K jejich určení slouží funkce z NCSS 97 „multiple regression“.

Pro vyhledání chybných či odlehlých pozorování se používají studentizovaná (standardizovaná) rezidua. Studentizovaná (standardizovaná) rezidua jsou normované odchyly skutečných hodnot od očekávané hodnoty. Každý z těchto reziduí má známé t-studentovo rozdělení s jedním stupněm volnosti (a pro velké výběry normované normální rozdělení).

Experimentálně jsem určila hodnotu 3, jako optimální pro určení odlehlých hodnot. Jestliže absolutní hodnota výsledného rezidua byla větší než 3, pak jsem hodnotu považovala za odlehlou a vyloučila jsem ji ze svého pozorování.

Pro přehlednost jsem k výpočtu přiřadila také diagramy reziduí. (viz str. 98 a 105)

# Výška postavy ženy v průběhu staletí

## 6.4 Grafické znázornění dat

### 6.4.1 Histogram (sloupcový diagram)

Histogram je typ grafu skupinových dat, kde počet hodnot v každém souboru je zastoupen rozlohou obdélníkového rámečku. Tyto rámečky jsou vykreslovány jeden vedle druhého bez mezer, což ukazuje na to, že každá hodnota je možná.

Ideální tvar pro určení normality je zvoncovité symetrické rozložení. (*podle Havránka, 1993, podle programu NCSS*)

### 6.4.2 Error bar chart (diagram střední chyby)

Bodový graf či diagram je způsob jak získat informace pomocí délek sloupců. Sloupce jsou vykresleny horizontálně nebo vertikálně. Jestliže jsou vykresleny vertikálně, pak může být graf nazýván sloupcovým či blokovým grafem.

Diagram sřední chyby graficky znázorňuje tabulky průměrů a středních chyb (nebo standardních odchylek). (*podle Havránka, 1993, podle programu NCSS*)

### 6.4.3 Residual plot (diagram reziduí)

Bodový diagram, který zobrazuje rezidua. Můžeme z něho vidět, které hodnoty jsou odlehlé.

### 6.4.4 Normal probability plot (diagram normality)

Jestliže základní rozložení dat je normální, tento diagram bude rovná čára. Odchylky od této čáry ukazují na různý typ nenormality. Zakřivení na obou koncích grafu značí dlouhé či krátké konce rozdělení. Konvexní nebo konkávní zakřivení značí nedostatek symetrie. Mezery, roviny či segmenty v diagramu ukazují na určitou vlastnost, která vyžaduje bližší zkoumání. (*podle Havránka, 1993*)

### 6.4.5 Linear regression plot (diagram lineární regrese)

Diagram zobrazuje hodnoty a regresní přímku. Tento diagram je velmi užitečný k nalezení nelinearity. (*podle Havránka, 1993*)

## 7. METODY PRO VÝPOČET VÝŠKY PODLE DLOUHÝCH KOSTÍ

### 7.1 Historie výpočtu výšky postavy u dospělých

- **Orfila (1848) (podle Orfila, 1848)**

K výpočtu výšek postav mu posloužilo více než 50 zemřelých a 20 koster. Jeho údaje jsou založeny na empirickém určení koeficientů délek kostí, bez statistického zhodnocení variability. Nebral zde ani v úvahu zákonitosti vztahů mezi délkou kostí a výškou postavy. Z tohoto důvodu mají vytvořené koeficienty pouze historický význam.

- **Rollet (1889) (podle Rolleta, 1889)**

Ke svým výpočtům použil výsledky měření na stu pitvaných tělech (50 mužů a 50 žen) Francouzů z lyonské nemocnice, kteří byli ve věku 24 – 99 let. Výška postav těchto těl, byla určována posmrtně. K výpočtu délky těla použil naměřené hodnoty na „čerstvých“ kostech se zachovalými chrupavkami. Později tyto kosti měřil suché, a rozdíl délky byl 2 mm. Tuto hodnotu je nutné přičíst k naměřeným délkám kostí.

### 7.2 Jednotlivé metody pro stanovení výšky postavy

➤ **Metoda podle Manouvriera (1893)**

Pro stanovení tělesné výšky na základě délky dlouhých kostí se používají Manouvrierovy tabulky.

Tyto tabulky pocházejí z roku 1893. Jejich použití patří k metodám klasické antropologie. Byly schváleny a doporučeny jako mezinárodní pomůcka komisí pro sjednocení antropometrických měr na sjezdu v Ženevě roku 1912 a umožňují srovnání s řadou souborů, které byly s jejich pomocí hodnoceny.

Podkladem pro sestavení tabulek bylo proměření tělesné výšky mnoha osob před pitvou a jejich jednotlivých kostí po vypitvání. Tyto čerstvé kosti měly na kloubních ploškách ještě chrupavčitou vrstvu. Proto se u exhumovaných nebo macerovaných kostí připočítávají ke změřené délce ještě 2 mm na chrupavku. Pak se v tabulce vyhledají

## Výška postavy ženy v průběhu staletí

odpovídající hodnoty. Od této se nakonec odečtou 2 cm, protože těla mrtvých jsou přibližně o 2 cm delší než byla výška postavy za života. (*podle Fettra, 1967*)

*Tab č. 4: Manouvrierovy tabulky (ženy) (podle Fettra, 1967)*

Fibula [mm]	Tibia [mm]	Femur [mm]	Výška těla [mm]	Humerus [mm]	Radius [mm]	Ulna [mm]
283	284	363	<b>1400</b>	263	193	203
288	289	368	<b>1420</b>	266	195	206
293	294	373	<b>1440</b>	270	197	209
298	299	378	<b>1455</b>	273	199	212
303	304	383	<b>1470</b>	276	201	215
307	309	388	<b>1488</b>	279	203	217
311	314	393	<b>1497</b>	282	205	219
316	319	398	<b>1513</b>	285	207	222
320	324	403	<b>1528</b>	289	209	225
325	329	408	<b>1543</b>	292	211	228
330	334	415	<b>1556</b>	297	214	231
336	340	422	<b>1568</b>	302	218	235
341	346	429	<b>1582</b>	307	222	243
351	358	443	<b>1612</b>	318	230	247
356	364	450	<b>1630</b>	324	234	251
361	370	457	<b>1650</b>	329	238	254
366	376	464	<b>1670</b>	334	242	258
371	382	471	<b>1692</b>	339	246	261
376	388	478	<b>1715</b>	344	250	264
<b>Průměrný koeficient pro kosti menší</b>						
4,88	4,85	3,87	X	5,41	7,44	7,00
<b>Průměrný koeficient pro kosti větší</b>						
4,52	4,42	3,58	X	4,98	7,00	6,49

*Poznámka: Je-li kost delší nebo kratší, než jsou hodnoty uvedené v tabulce,*

*násobí se délka kosti průměrným koeficientem.*

### ➤ Metoda podle Telkkä (1950)

Telkkä zpracoval výsledky měření na kostech Finů, kteří jsou jednou z vyšších populací. Měřil kosti 115 mužů a 39 žen ve věku 42 – 50 let.

U této metody se změří největší projekční délka humeru, fyziologická délka radiu a ulny a největší délka femuru, tibie a fibuly. (*podle Fettra, 1967*)

$$\text{Ženy: } VP = (H - 30,7) \cdot 2,7 + 156,8$$

$$VP = (R - 20,8) \cdot 3,1 + 156,8$$

$$VP = (U - 21,3) \cdot 3,3 + 156,8$$

$$VP = (F - 41,8) \cdot 1,8 + 156,8$$

$$VP = (T - 33,1) \cdot 1,9 + 156,8$$

$$VP = (Fi - 32,7) \cdot 2,3 + 156,8 \quad (\text{hodnoty se do vzorců dosazují v cm})$$

Vysvětlivky: **H** – Humerus, **R** – Radius, **U** – Ulna, **F** – Femur, **T** – Tibia, **Fi** – Fibula

### ➤ Metoda podle K. Pearsona (1899)

K. Pearson použil materiál Rolleta (viz výše), ale výšku postavy vypočítal na základě lineární regrese a korelace rozměrů. Společně Lee a Pearson (v roce 1897) vypočítali korelační koeficienty mezi délkou kostí a délkou těla, později Pearson (v roce 1899) sám zpracoval formule.

Ještě před měřením odečetl od délky těla mrtvých jedinců u mužů 1,2 cm a u žen 2 cm. Poté u jednotlivých dlouhých kostí změřil jejich největší délky, od kterých musel odečíst 2 mm (pro výpočet tabulky pro suché kosti). (*podle Fettra, 1967*)

Ženy:	A) $VP = F \cdot 1,95 + 72,84$	B) $VP = (F + T) \cdot 1,13 + 69,15$
	$VP = H \cdot 2,75 + 71,48$	$VP = F \cdot 1,12 + T \cdot 1,13 + 69,57$
	$VP = T \cdot 2,35 + 74,77$	$VP = (H + R) \cdot 1,63 + 69,91$
	$VP = R \cdot 3,34 + 81,22$	$VP = H \cdot 2,58 + R \cdot 0,28 + 70,54$
		$VP = F \cdot 1,34 + H \cdot 1,03 + 67,44$
		$VP = F \cdot 0,78 + T \cdot 1,12 + H \cdot 1,06$
	<b><math>- R \cdot 0,71 + 67,47</math></b>	

Vysvětlivky: **H** – Humerus, **R** – Radius, **F** – Femur, **T** – Tibia

➤ **Metoda podle Breitingera (1937) pro muže a Bacha (1965) pro ženy**

Breitinger se při svých výpočtech opíral o hodnoty délky dlouhých kostí zjištěné na živých jedincích. Předpokládal, že chyby, kterých se dopustil při nepřesném měření dlouhých kostí na živých jedincích, jsou kompenzovány eliminací rozdílu mezi délkou těla mrtvých a výškou postavy živých jedinců a také tím, že mohl použít mnohem větší množství naměřených hodnot. Při měření 2428 studentů a sportovců z Mnichova, s průměrným věkem 26 let a s průměrnou výškou postavy 170,1 cm, zjišťoval výšku postavy, délku paže, délku předloktí, délku stehna a délku bérce. Rovnice pro výpočet výšky stanovil pouze pro muže.

Bach vypracoval stejným způsobem rovnice pro výpočet výšky pro ženy. Měření prováděl na 500 studentkách z Jeny, které měly průměrnou výšku postavy 161,8 cm a průměrný věk 23,4 let. (*podle Stloukala, 1999*)

Ke stanovení výšky postavy se užívají jak tabulky, tak původní regresní rovnice.

Ženy:             $VP = 98,38 + 2,121 \cdot H_1 + 3,9 \text{ cm}$

$VP = 99,44 + 2,121 \cdot H_2 + 3,9 \text{ cm}$

$VP = 116,89 + 1,925 \cdot R_{1b} + 4,5 \text{ cm}$

$VP = 106,69 + 1,313 \cdot F_1 + 4,1 \text{ cm}$

$VP = 95,91 + 1,745 \cdot T_{1b} + 3,9 \text{ cm}$

Vysvětlivky:  $H_2$  – celková délka Humeru, stanovena na základě 20 rentgenových snímků odečtením 0,5 cm od délky paže

$H_1$  – největší délka Humeru, vznikla přičtením 0,7 cm k hodnotě  $H_2$

$R_{1b}$  – paralelní délka Radia, byla stanovena z délky předloktí tak, že od ní byla odečtena průměrná tloušťka kloubní chrupavky 0,2 cm

$F_2$  – celková délka Femuru, odpovídá 92,93% délky stehna mezi body iliospinale a tibiale

$F_1$  – největší délka Femuru, vznikla připočtením 0,3 cm k  $F_2$

$T_{1b}$  – mediální délka Tibie, byla určena odečtením průměrné tloušťky chrupavek 0,6 cm od délky bérce

Výška postavy ženy v průběhu staletí

Tab. č. 5: Bachova tabulka (ženy) (podle Bacha, 1965)

Humerus [mm]		Radius [mm]	Výška těla [cm]	Femur [mm]	Ulna [mm]
maximální délka	celková délka	paralelní délka		maximální délka	mediální délka
220	215	146	<b>145</b>	292	281
224	219	151	<b>146</b>	299	287
229	224	156	<b>147</b>	307	293
233	229	162	<b>148</b>	315	298
239	234	167	<b>149</b>	322	304
243	238	172	<b>150</b>	330	310
248	243	177	<b>151</b>	337	316
253	248	182	<b>152</b>	345	321
257	252	187	<b>153</b>	353	327
262	257	193	<b>154</b>	360	333
267	262	198	<b>155</b>	368	339
272	267	203	<b>156</b>	375	344
276	271	208	<b>157</b>	383	350
281	276	213	<b>158</b>	391	356
286	281	219	<b>159</b>	398	361
290	285	224	<b>160</b>	406	367
295	290	229	<b>161</b>	414	373
300	295	234	<b>162</b>	421	379
305	300	239	<b>163</b>	429	384
309	304	245	<b>164</b>	436	390
314	309	250	<b>165</b>	444	396
319	314	255	<b>166</b>	452	402
323	318	260	<b>167</b>	459	407
328	323	265	<b>168</b>	467	413
333	328	271	<b>169</b>	474	419
338	333	276	<b>170</b>	482	425
342	337	281	<b>171</b>	490	430
347	342	286	<b>172</b>	497	436
352	347	291	<b>173</b>	505	442

## Výška postavy ženy v průběhu staletí

356	351	297	<b>174</b>	513	447
361	356	302	<b>175</b>	520	453

### ➤ Metoda podle Trotterové a Glessarové (1952)

Ke stanovení výšky postavy se užívají jak tabulky, tak původní regresní rovnice, které jsou vhodnější při výpočtu výšky u větší populace. U této metody se vždy měří maximální délka kosti. (*podle Trottra, 1952*)

Ženy:       $\mathbf{VP = 98,38 + 2,121 \cdot H_1 + 3,9 \text{ cm}}$

$\mathbf{VP = 99,44 + 2,121 \cdot H_2 + 3,9 \text{ cm}}$

$\mathbf{VP = 116,89 + 1,925 \cdot R_{1b} + 4,5 \text{ cm}}$

$\mathbf{VP = 106,69 + 1,313 \cdot F_1 + 4,1 \text{ cm}}$

$\mathbf{VP = 95,91 + 1,745 \cdot T_{1b} + 3,9 \text{ cm}}$

Vysvětlivky:  $H_2$  – celková délka Humeru, stanovena na základě 20 rentgenových snímků odečtením 0,5 cm od délky paže

$H_1$  – největší délka Humeru, vznikla přičtením 0,7 cm k hodnotě  $H_2$

$R_{1b}$  – paralelní délka Radia, byla stanovena z délky předloktí tak, že od ní byla odečtena průměrná tloušťka kloubní chrupavky 0,2 cm

$F_2$  – celková délka Femuru, odpovídá 92,93% délky stehna mezi body iliospinale a tibiale

$F_1$  – největší délka Femuru, vznikla připočtením 0,3 cm k  $F_2$

$T_{1b}$  – mediální délka Tibie, byla určena odečtením průměrné tloušťky chrupavek 0,6 cm od délky bérce

## Výška postavy ženy v průběhu staletí

### ➤ Metoda podle Dupertuise a Haddena (1951)

Pro humerus se používá fyziologická délka této kosti a pro femur maximální délka (obě v cm). (*podle Škody, 1993*)

$$\text{Ženy: } \mathbf{VP = Hm \cdot 3,144 + 64,977}$$

$$\mathbf{VP = Hf \cdot 3,144 + 64,977}$$

Vysvětlivky: **Hm** – maximální délka Humeru

**Hf** – fyziologická délka Humeru

### ➤ Metoda podle Sjovolda (1990)

Stejná rovnice pro muže i pro ženy. Pro humerus se používá fyziologická délka této kosti a pro femur maximální délka (obě v cm). (*podle Škody, 1993*)

$$\text{běloši: } \mathbf{VP = Hm \cdot 4,74 + 15,26}$$

$$\mathbf{VP = Hf \cdot 4,74 + 15,26}$$

$$\text{univerzální rasa i pohlaví: } \mathbf{VP = Hm \cdot 4,62 + 19}$$

$$\mathbf{VP = Hf \cdot 4,62 + 19}$$

Vysvětlivky: **Hm** – maximální délka Humeru

**Hf** – fyziologická délka Humeru

### 7.3 Problematika výpočtu výšky postavy podle dlouhých kostí

Pro výpočet výšky postavy podle dlouhých kostí již bylo publikováno mnoho metod, z nichž jsou některé uvedeny v předcházející části. Každý autor však tu svou metodu vztahoval k nějakému národu či oblasti. Proto lze říci, že žádná z těchto metod by neměla být použita univerzálně pro jakoukoli populaci. Stále se diskutuje o tom, jaká metoda je nejuniverzálnější či nejužitečnější.

Problém výběru ideální metody, která bude dávat nejpřesnější výsledky, není vyřešen. Výsledky z různých metod se mohou hodně lišit. Pro vyšší sociální vrstvy (a zvláště pro muže) lze úspěšně použít metodu Trotterové – Glessarové a Dupertuise a Haddena.

Je vhodnější použít několika rekonstrukčních formulí a získané výsledky mezi sebou porovnat. Většinou nejsou tak velké rozdíly, pokud počítáme výšku postavy podle různých kostí podle stejné metody. Větší rozdíly se však potvrzdí, pokud porovnáme výsledky podle jednotlivých autorů (*viz praktická část str. 50*). Souhrnná tělesná výška je potom nejnižší u Manouvrierovy metody, nejvyšší pak u Trotterové – Glessarové.

Stejně jako u jiných metod výpočtů se také u Bachových tabulek zkoumala spolehlivost pro jejich použití. Tento výzkum byl dělán společně pro metodu podle Bacha a Breitingera v roce 1976 Hanákovou a Stloukalem (*podle Hanákové, 1976*). K tomuto výzkumu použili 54 kosterní (20 mužských a 34 ženských) ze 7. – 8. století z pohřebiště v Želovcích, které byly zpracovány v antropologickém oddělení Národního muzea. Původně celá skupina obsahovala více kosterní, ale byly vybrány jen ty, u kterých bylo možné určit délku všech čtyř dlouhých kostí, pro které jsou tabulky určeny: humerus, radius, femur a tibia.

Po prozkoumání výpočtů podle Breitingerových tabulek, byly tyto označeny za spolehlivé. Rozdíly mezi výsledky výpočtu na základě různých kostí nejsou velké.

U Bachových tabulek je to však jiné. Při výpočtu výšky postavy na základě holenní kosti (tibiae) je výsledná výška postavy o mnoho nižší, než při výpočtu podle ostatních kostí. Autor těchto tabulek již sám ve své původní publikaci uváděl, že to je

## Výška postavy ženy v průběhu staletí

pravděpodobně způsobeno tím, že ženy, na kterých bylo měření prováděno měly dlouhé bérce (*podle Bacha, 1965*).

Tab. č. 6: Ukázka vypočtených hodnot u všech 4 kostí (*podle Hanákové, 1976*)

oblast / kost	Humerus	Radius	Femur	Tibia	Průměr
Slovensko	162,8	160,4	161,8	155,4*	<b>160,1*</b>
Duryňsko	162,5	160,4	161,7	154,8*	<b>160,4*</b>

Poznámka:

*Duryňsko – hodnoty naměřené a spočtené Bachem, u Slovanů z Duryňska*

*Slovensko – hodnoty spočtené Hanákovou a Stloukalem, pohřebiště v Želovcích*

\*Barevné kolonky poukazují na rozdíl mezi tibií a průměrem ze všech kostí.

Výpočty výšky postavy podle ostatních kostí (vyjma tibie) se však již příliš neliší. Nejvyšší hodnoty můžeme získat při výpočtu podle humeru, dále podle femuru a na konec podle radia.

Rozdíl ve vypočtené výšce mezi horní (průměr humeru a radia) a dolní končetinou (průměr femuru a tibie) je 3 cm u koster ze Slovenska (viz předchozí tab. č. 6) a 3,2 cm u koster z Duryňska.

Závěr po přezkoumání Bachových tabulek je takový, že se nedoporučuje počítat výšku postavy ženy na základě tibie, protože vždy vyjde výška mnohem menší, než výška podle ostatních kostí. Zkreslení, které tato hodnota způsobí se i při použití všech čtyř kostí pohybuje od 1,5 – 2 cm. Pro jiné dlouhé kosti (humerus, femur, radius) je tato metoda vhodná. (*podle Brůžka, 2005*)

### **III PRAKTICKÁ ČÁST**

#### **1. VÝPOČET VÝŠKY POSTAVY ŽENY PŘI POUŽITÍ RŮZNÝCH METOD**

Pro svůj výpočet výšek postav žen jsem si vybrala metodu podle Herberta Bacha (1965). Tuto metodu jsem si vybrala z toho důvodu, že se již po dlouhou dobu pro výpočet výšky postavy ženy v antropologickém oddělení Národního muzea používá právě tohoto postupu. Budu tedy moci (a nejen já) srovnat své výpočty s jinými již uveřejněnými výpočty pro Čechy, Moravu a Slezsko, nebo moje práce může posloužit k dalším srovnáním.

Abych ukázala, že se výpočty výšky postavy liší nejen výběrem dlouhých kostí, z jejichž délky výšku budu počítat, ale hlavně také jakou metodu výpočtu zvolím, rozhodla jsem se názorně vypočítat výšku dvou jedinců podle všech uvedených metod. Na závěr vše vyhodnotím a udělám srovnání.

Pro své výpočty jsem si vybrala následující jedince s těmito rozměry:

- a) skupina č. 1 – lineární keramika: H – 268,5 mm; F – 388 mm
- b) skupina č. 10 - stěhování národů: H – 303 mm; F – 409 mm

##### 1.1 Metoda podle Manouvriera

a)  $H - 268,5 + 2 \text{ mm} = 270,5 \text{ mm} \Rightarrow \text{podle tabulky - V.P.} = 144 - 2 \text{ cm} = \underline{142 \text{ cm}}$

$F - 388 + 2 \text{ mm} = 390 \text{ mm} \Rightarrow \text{podle tabulky - V.P.} = 149,4 - 2 \text{ cm} = \underline{147,4 \text{ cm}}$

Celkový průměr: **144,7 cm**

b)  $H - 303 + 2 \text{ mm} = 305 \text{ mm} \Rightarrow \text{podle tabulky - V.P.} = 157,6 - 2 \text{ cm} = \underline{155,6 \text{ cm}}$

$F - 409 + 2 \text{ mm} = 411 \text{ mm} \Rightarrow \text{podle tabulky - V.P.} = 154,8 - 2 \text{ cm} = \underline{152,8 \text{ cm}}$

Celkový průměr: **154,2 cm**

(poznámka: V.P. – tělesná výška)

## Výška postavy ženy v průběhu staletí

### 1.2 Metoda podle Telkkää

a)  $H - 26,8 \text{ cm} \Rightarrow V.P. = (H - 30,7) \cdot 2,7 + 156,8 = \underline{146,4 \text{ cm}}$

$F - 38,8 \text{ cm} \Rightarrow V.P. = (F - 41,8) \cdot 1,8 + 156,8 = \underline{151,4 \text{ cm}}$

Celkový průměr: **148,9 cm**

b)  $H - 30,3 \text{ cm} \Rightarrow V.P. = (H - 30,7) \cdot 2,7 + 156,8 = \underline{155,7 \text{ cm}}$

$F - 40,9 \text{ cm} \Rightarrow V.P. = (F - 41,8) \cdot 1,8 + 156,8 = \underline{155,2 \text{ cm}}$

Celkový průměr: **155,5 cm**

(poznámka: hodnoty se do vzorců dosazují v cm)

### 1.3 Metoda podle K. Pearsona

a)  $H - 26,8 \text{ cm} \Rightarrow V.P. = H \cdot 2,75 + 71,48 = \underline{145,2 \text{ cm}}$

$F - 38,8 \text{ cm} \Rightarrow V.P. = F \cdot 1,95 + 72,84 = \underline{148,5 \text{ cm}}$

Celkový průměr: **146,7 cm**

b)  $H - 30,3 \text{ cm} \Rightarrow V.P. = H \cdot 2,75 + 71,48 = \underline{154,8 \text{ cm}}$

$F - 40,9 \text{ cm} \Rightarrow V.P. = F \cdot 1,95 + 72,84 = \underline{152,6 \text{ cm}}$

Celkový průměr: **153,7 cm**

(poznámka: hodnoty se do vzorců dosazují v cm)

### 1.4 Metoda podle Bacha

a)  $H - 268 \text{ mm} \Rightarrow \text{podle tabulky} - V.P. = \underline{154,8 \text{ cm}}$

$F - 388 \text{ mm} \Rightarrow \text{podle tabulky} - V.P. = \underline{157,6 \text{ cm}}$

Celkový průměr: **156,2 cm**

b)  $H - 303 \text{ mm} \Rightarrow \text{podle tabulky} - V.P. = \underline{162,6 \text{ cm}}$

$F - 409 \text{ mm} \Rightarrow \text{podle tabulky} - V.P. = \underline{160,4 \text{ cm}}$

Celkový průměr: **161,3 cm**

(poznámka: hodnoty se do vzorců uvádějí v cm)

## Výška postavy ženy v průběhu staletí

### 1.5 Metoda podle Trotterové a Glesserové

a) H – 268 mm => podle tabulky – V.P. = 147,3 cm

F – 388 mm => podle tabulky – V.P. = 150 cm

Celkový průměr: **148,7 cm**

b) H – 303 mm => podle tabulky – 159,7 cm

F – 409 mm => podle tabulky – 155 cm

Celkový průměr: **157,4 cm**

(poznámka: hodnoty se do vzorců uvádějí v cm)

### 1.6 Metoda podle Dupertuisa a Haddena

a) H - 26,8 cm => V.P. = 149,6 cm

b) H – 30,3 cm => V.P. = 160,2 cm

### 1.7 Metoda podle Sjovolda

a) H - 26,8 cm => V.P. = 142,3 cm

b) H – 30,3 cm => V.P. = 158,9 cm

*Vzhledem k tomu, že k posledním dvěma metodám (č. 6 a 7) mám k dispozici pouze výšku spočtenou podle Humeru, rozhodla jsem se je nezařadit do výsledné statistiky.*

## Výška postavy ženy v průběhu staletí

### Vyhodnocení:

a) skupina č. 1 – lineární keramika: H – 268,5 mm; F – 388 mm

HUMERUS

metoda	hodnota
Manouvrier	142,0
Telkkä	146,4
Pearson	145,2
Bach	154,8
Trotterová a Glessarová	147,3

FEMUR

metoda	hodnota
Manouvrier	147,4
Telkkä	151,4
Pearson	148,5
Bach	157,6
Trotterová a Glessarová	150,0

PRŮMĚR

metoda	hodnota
Manouvrier	144,7
Telkkä	148,9
Pearson	146,7
Bach	156,2
Trotterová a Glessarová	148,7

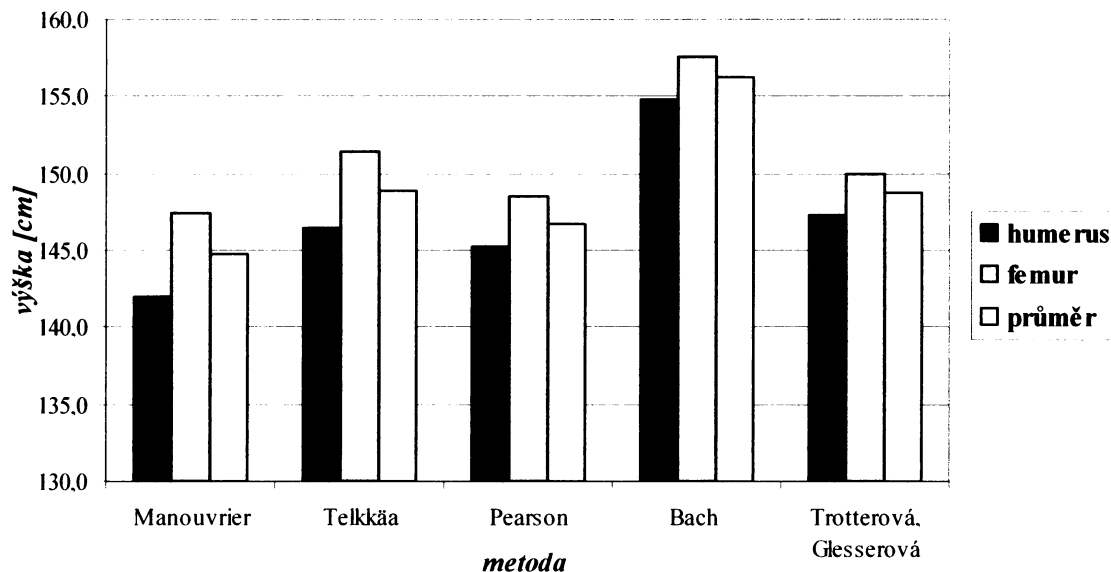
HUMERUS – Nejmenší hodnotu výšky dávají Manouvrierovy tabulky, naopak největší hodnoty tabulka podle Bacha. Rozdíl mezi těmito hodnotami činí **12,8 cm**. Průměr výšek spočtených podle všech metod je **147,1 cm**. Podprůměrné hodnoty tedy udávají Manouvrierovy tabulky, metoda podle Telkkä a podle Pearsona, naopak nad průměrem jsou hodnoty podle Bacha a podle Trotterové a Glessarové.

FEMUR – Nejmenší hodnotu výšky udávají opět Manouvrierovy tabulky, největší hodnotou je znova výška spočtená podle Bacha. Rozdíl mezi největší a nejmenší hodnotou je **10,2 cm**. Průměr výšek spočtených podle všech metod je **151 cm**. Podprůměrné hodnoty tedy udávají tabulky podle Manouvriera, metoda podle Pearsona a metoda podle Trotterové a Glessarové. Hodnoty nad průměrem naopak udává metoda podle Telkkä a opět metoda podle Bacha.

PRŮMĚR – Nejmenší hodnotu výšky dávají i po zprůměrování Manouvrierovy tabulky, největší hodnotou je znova výška spočtená podle Bachovy metody. Rozdíl mezi největší a nejmenší hodnotou je **11,5 cm**. Průměrem je hodnota **149 cm**. Pod touto hodnotou se nacházejí výšky podle všech metod vyjma té Bachovy. Ta se jako jediná nachází nad průměrem.

## Výška postavy ženy v průběhu staletí

Graf č. 2: Grafické srovnání výšek podle femuru a humeru u různých metod – jedinec a)



### b) skupina č. 10 - stěhování národů: H – 303 mm; F – 409

HUMERUS

metoda	hodnota
Manouvrier	155,6
Telkkä	155,7
Pearson	154,8
Bach	162,6
Trotterová a Glessnerová	159,7

FEMUR

metoda	hodnota
Manouvrier	152,8
Telkkä	155,2
Pearson	152,6
Bach	160,4
Trotterová a Glessnerová	155,0

PRŮMĚR

metoda	hodnota
Manouvrier	154,2
Telkkä	155,5
Pearson	153,7
Bach	161,3
Trotterová a Glessnerová	157,4

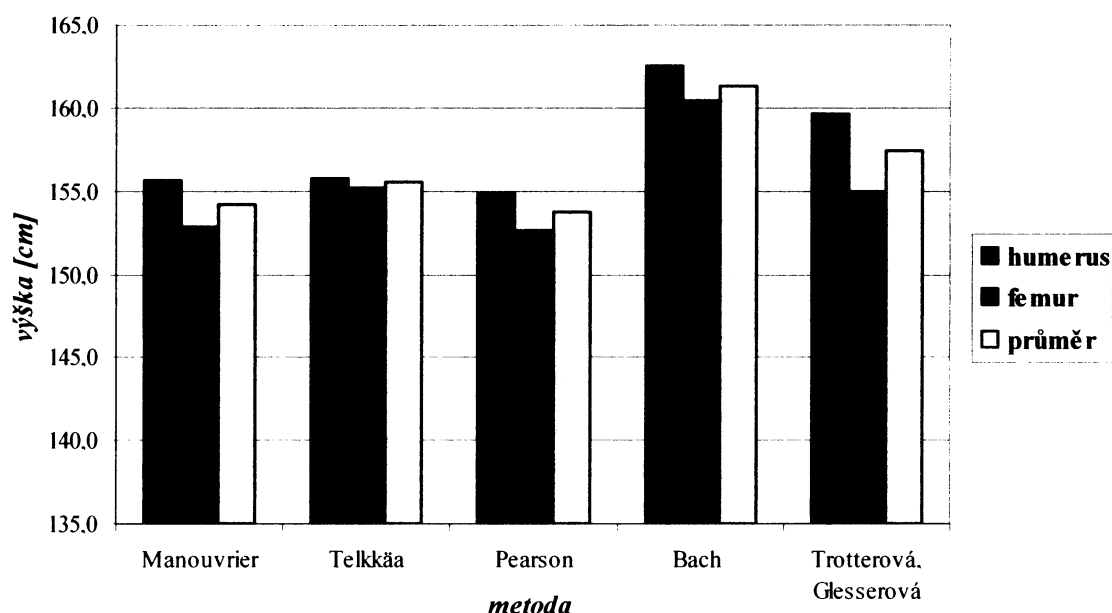
HUMERUS – Nejmenší hodnotu výšky dává metoda podle Pearsona, naopak největší hodnoty tabulka podle Bacha. Rozdíl mezi těmito hodnotami činí **7,8 cm**. Průměr výšek spočtených podle všech metod je **157,7 cm**. Podprůměrné hodnoty tedy udávají Manouvrierovy tabulky, metoda podle Telkkä a podle Pearsona, naopak nad průměrem jsou hodnoty podle Bacha a podle Trotterové a Glessnerové.

## Výška postavy ženy v průběhu staletí

**FEMUR** – Nejmenší hodnotu výšky udává opět metoda podle Pearsona, největší hodnotou je znova výška spočtená podle Bacha. Rozdíl mezi největší a nejmenší hodnotou je **7,8 cm**. Průměr výšek spočtených podle všech metod je **155,2 cm**. Podprůměrné hodnoty tedy udávají tabulky podle Manouvriera, metoda podle Pearsona a metoda podle Trotterové a Glessarové. Metoda podle Telkkä udává stejné hodnoty jako průměr. Hodnoty nad průměrem udává opět metoda podle Bacha.

**PRŮMĚR** – Nejmenší hodnotu výšky dává po zprůměrování metoda podle Pearsona, největší hodnotou je znova výška spočtená podle Bachovy metody. Rozdíl mezi největší a nejmenší činí **7,6 cm**. Průměrem je hodnota **156,4 cm**. Pod touto hodnotou se nacházejí výšky podle všech metod vyjma té Bachovy a metody podle Trotterové a Glasserové. Ty se nacházejí nad průměrem.

Graf č. 3: Grafické srovnání výšek podle femuru a humeru u různých metod – jedinec b)



## 2. POSTUP

Při zpracování sebraného a naměřeného materiálu jsem postupovala následujícím způsobem.

### a) Naměřené hodnoty

Naměřené hodnoty jsem zpracovala do tabulky (viz. příloha). Hlavičku tvoří následující údaje: lokalita, pravý a levý humerus, pravý a levý femur, průměr z pravého a levého humeru, průměr z pravého a levého femuru, výška spočtená podle humeru Bachovou metodou, výška spočtená podle femuru Bachovou metodou, doba (kultura) a číslo skupiny, do které byla kost zařazena podle doby (kultury). Délky kostí a jejich průměry jsou v tabulce uvedeny v milimetrech, spočtené výšky postav v centimetrech.

### b) Základní statistické charakteristiky

V programu NCSS 97 jsem za pomocí funkce „Descriptive Tables“ spočetla základní statistické charakteristiky souboru – každé skupiny, které jsem shrnula pro každou skupinu v tabulce. Zjišťovala jsem následující charakteristiky:

- Míry polohy – průměr, medián, minimální a maximální výška, rozpětí, počet pozorování
- Míry variability – směrodatná odchylka, střední (standardní) chyba

### c) Určení a vyloučení odlehlých pozorování

Odlehlá pozorování mohla vzniknout nesprávným změřením kosti či zařazením nedospělého jedince mezi dospělé, případně odlišným jedincem vůči celé skupině. K určení odlehlých pozorování jsem opět použila program NCSS 97, funkci „mnohonásobná regrese“. Z této funkce jsem získala rezidua, která jsem zanesla do listu v NCSS. V listu, který se jmenuje „Variable info“ jsem v kolonce „transformation“ nastavila podmínu pro rezidua. Za podmínu jsem experimentálně nastavila nerovnost  $>3$ . Po proběhnutí transformace na rezidua se v dalších kolonkách objevila hodnota 1 v tom případě, že absolutní hodnota rezidua byla větší než 3. V opačném případě se

## Výška postavy ženy v průběhu staletí

objevila nula. Za odlehlá pozorování jsem označila hodnoty, u kterých se objevila číslice 1.

Po vyloučení odlehlých hodnot jsem znova vypočetla všechny statistické charakteristiky. Opět jsem je zpracovala do tabulek a vypracovala grafy, kde se zaměřuje na rozdíl mezi spočtenými hodnotami před a po vyloučení odlehlých hodnot

V dalších statistických výpočtech jsem pracovala pouze s hodnotami, z kterých jsem již vyloučila odlehlá pozorování.

V dalším postupu jsem opět za pomocí programu NCSS 97 a funkce „Descriptive Stats“ ověřila normalitu všech skupin. K tomuto ověření jsem pro názornost připojila histogramy a grafy normality.

### d) Spolehlivost (reliabilita) měření

Spolehlivost měření jsem ověřila pomocí koeficientu reliability. Nejdříve jsem musela znova změřit již jednou změřený vzorek asi 30 humerů a 30 femurů, abych zjistila chybový rozptyl  $s_{ch}^2$ . Ten se spočte jako suma rozdílů prvního a druhého i-tého měření dělená dvojnásobným počtem měření. (viz vzorec č. 6)

- Chybový rozptyl

$$s_{ch}^2 = \frac{\sum (X_1 - X_2)^2}{2n} \quad (6)$$

Koeficient reliability jsem spočetla jako podíl biologického a chybového rozptylu. Čím více se tento koeficient blíží číslu 1, tím je měření přesnější. (viz vzorec č. 7)

- Koeficient reliability

$$R = \frac{S_{bi}^2}{S_{celk}^2} = \frac{S_{bi}^2}{S_{bi}^2 + S_{ch}^2} = \frac{S_{celk}^2 - S_{ch}^2}{S_{celk}^2} \quad (7)$$

## Výška postavy ženy v průběhu staletí

kde  $S_{bi}^2$  – biologický rozptyl (variabilita) znaku  
 $S_{celk}^2$  – celkový rozptyl (variabilita) znaku  
 $S_{ch}^2$  – chybový rozptyl (variabilita) znaku

### e) Analýza rozptylu jednoduchého třídění a Kruskal-Wallisův test

Mým hlavním cílem bylo dokázat, že se výška ženy v průběhu staletí změnila. K tomuto důkazu jsem mohla použít funkci „analýza rozptylu jednoduchého třídění“ v programu NCSS 97, za předpokladu normálního rozdělení náhodných veličin. Jelikož však normalita nebyla prokázána u všech skupin, musela jsem použít neparametrický Kruskalův-Wallisův test, kde není podmínkou splnění normality. Jako hypotézu  $H_0$  jsem stanovila to, že všechny skupiny hodnot mají stejný medián. Tuto hypotézu jsem po výsledku testu zamítla.

K dalšímu porovnání všech skupin mezi sebou mi posloužily grafy a diagramy v NCSS 97. Použila jsem diagram rozptylu (scatter plot), sloupcový diagram (histogram), diagram lineární regrese (linear regression plot ), diagram reziduů (residual plot), diagram normality (normal probability plot).

### f) Porovnání výšek žen a mužů

Tu část mé diplomové práce, kde jsem měřila v Praze a Brně humerus a femur jsem dělala společně s Terezou Měrtlovou (*podle Měrtlové, 2006*), jejíž diplomová práce se zakládá na stejném principu jako má, s tím rozdílem, že její je zaměřená pouze na muže. S jejím souhlasem jsem použila hodnoty pro muže, které naměřila. Zpracovala jsem je do tabulek společně s tabulkami pro ženy a vytvořila jsem grafy pro jejich srovnání.

### g) Statistická významnost faktoru doby a faktoru pohlaví na výšku postavy

V posledním testu jsem ověřila, jestli faktory doba a pohlaví mají statistický vliv na výšku postavy. Opět jsem použila program NCSS 97 funkci Analysis of variance report – speciálně MANOVA. Použila jsem hodnoty jak pro ženy, tak pro muže. Test jsem provedla opět bez odlehlých hodnot.

Ve výsledku testu si všimneme Analysis of variance table, konkrétně p-hodnota (Probability level), kterou porovnáváme s hodnotou alfa.

# Výška postavy ženy v průběhu staletí

## 3. VYPRACOVÁNÍ

### 3.1 Vypracování pro jednotlivé skupiny

#### 3.1.1 Neolit – kultura s lineární keramikou, kultura s volutovou keramikou

*Tab. č. 7: Přehled základních charakteristik pro výšku podle HUMERU ve skupině č. 1*

počet	průměr	medián	stand. odchylka	stand. chyba	minimum	maximum	Rozpětí
9	160,34	161,2	2,943260	0,981087	155,3	163,5	8,2

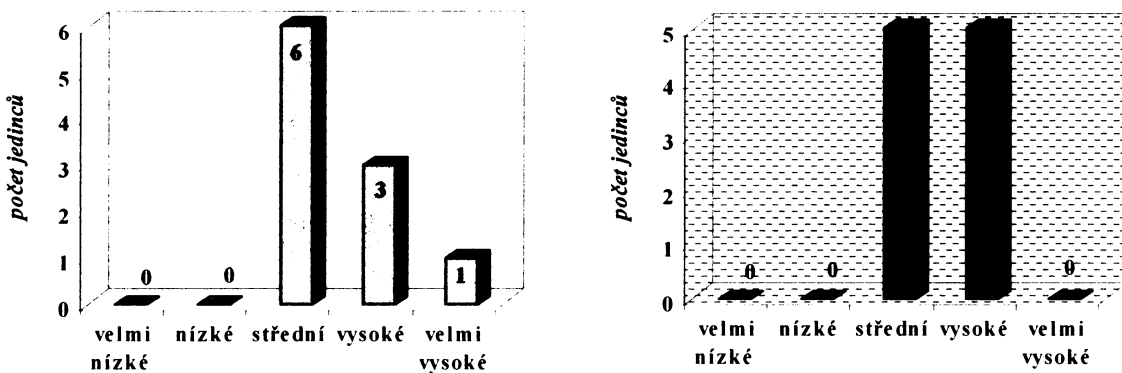
*Tab. č. 8: Přehled základních charakteristik pro výšku podle FEMURU ve skupině č. 1*

počet	průměr	medián	stand. odchylka	stand. chyba	minimum	maximum	rozpětí
10	162,27	161,85	3,013322	0,952896	157,6	166,2	8,6

*Graf č. 4: Rozdělení jedinců skupiny č. 1 do oddělení podle velikosti*

A) HUMERUS

B) FEMUR

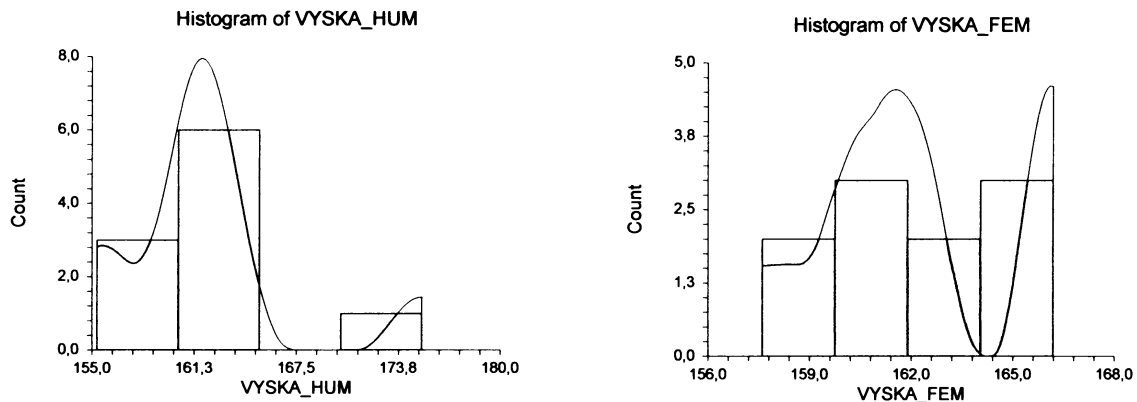


## Výška postavy ženy v průběhu staletí

Graf č. 5: Histogram rozdělení jedinců podle výšek ve skupině č. 1

A) HUMERUS

B) FEMUR



Tab. č. 9: Tabulka testu normality pro HUMERUS – skupina č. 1

**Normality Test Section of VYSKA\_HUM when SKUPINA=1**

Test Name	Test Value	Prob Level	10% Value	5% Value	Decision (5%)
Shapiro-Wilk W	0,8248365	0,0289918			Reject norm.
Anderson-Darling	0,7655715	4,660505E-02			Reject norm.
Martinez-Iglewicz	2,942004		1,431	1,962	Reject norm.
Kolmogorov-Smirnov	0,279772		0,241	0,262	Reject norm.
D'Agostino Skewness	2,2995	2,147656E-02	1,645	1,960	Reject norm.
D'Agostino Kurtosis	2,3081	0,020994	1,645	1,960	Reject norm.
D'Agostino Omnibus	10,6150	0,004954	4,605	5,991	Reject norm.

V tab. č. 9 jsem na 5% hladině α zamítla normalitu. Dosažená hladina testu  $p>0,05$ , proto tuto hypotézu zamítám.

Tab. č. 10: Tabulka testu normality pro FEMUR – skupina č. 1

**Normality Test Section of VYSKA\_FEM when SKUPINA=1**

Test Name	Test Value	Prob Level	10% Value	5% Value	Decision (5%)
Shapiro-Wilk W	0,9112582	0,2897459			Can't reject
Anderson-Darling	0,4101165	0,3432493			Can't reject
Martinez-Iglewicz	0,9938896		1,4309	1,9619	Can't reject
Kolmogorov-Smirnov	0,1695792		0,241	0,262	Can't reject

## Výška postavy ženy v průběhu staletí

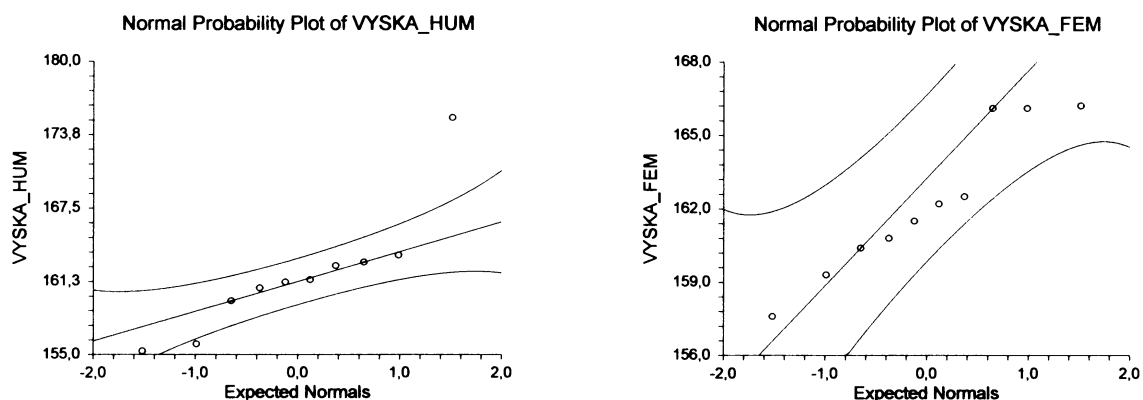
D'Agostino Skewness	0,2668208	0,7896072	1.645	1.960	Can't reject
D'Agostino Kurtosis	-0,8179	0,413402	1.645	1.960	Can't reject
D'Agostino Omnibus	0,7402	0,690669	4.605	5.991	Can't reject

V tab. č. 10 jsem na 5% hladině α nezamítla normalitu. Dosažená hladina testu  $p < 0,05$ , proto tuto hypotézu nezamítám.

Graf č. 6: Diagram normality skupiny č. 1

A) HUMERUS

B) FEMUR



### 3.1.2 Eneolit – kultura kulovitých amfor, kultura nálevkovitých pohárů, řívnáčská doba, kultura s kanelovanou keramikou

Tab. č. 11: Přehled základních charakteristik pro výšku podle HUMERU ve skupině č. 2

počet	průměr	medián	stand. odchylka	stand. chyba	minimum	maximum	rozpětí
7	159,93	160,7	3,767720	1,424064	153,7	165,2	11,5

Tab. č. 12: Přehled základních charakteristik pro výšku podle FEMURU ve skupině č. 2

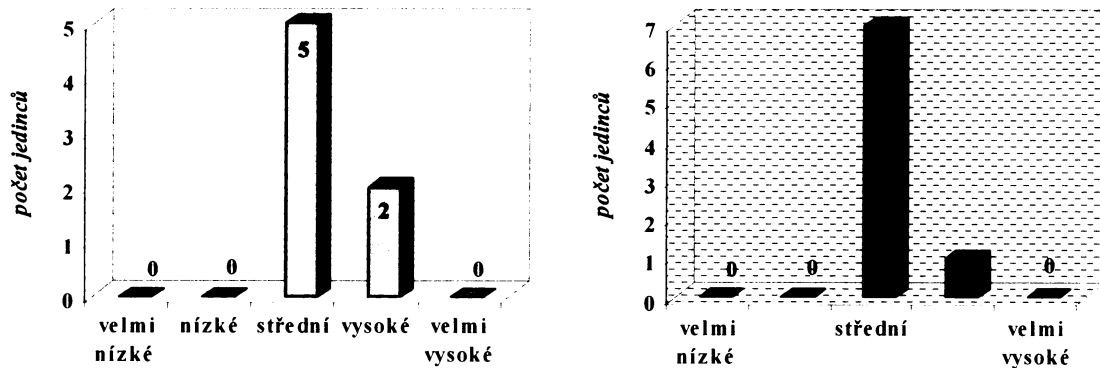
počet	průměr	medián	stand. odchylka	stand. chyba	minimum	maximum	rozpětí
8	159,29	159,45	3,310346	1,170384	153,0	164,5	11,5

## Výška postavy ženy v průběhu staletí

Graf č. 7: Rozdělení jedinců skupiny č. 2 do oddělení podle velikostí

A) HUMERUS

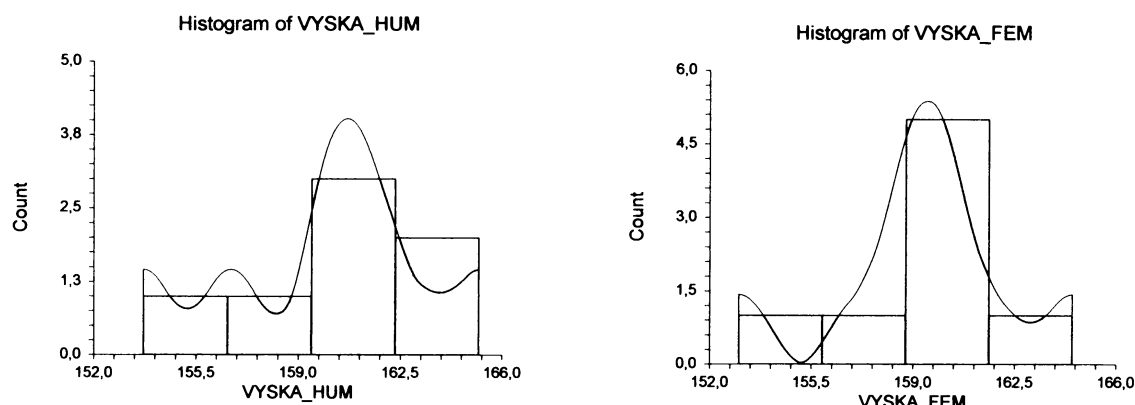
B) FEMUR



Graf č. 8: Histogram rozdělení jedinců podle výšek ve skupině č. 2

A) HUMERUS

B) FEMUR



Tab. č. 13: Tabulka testu normality pro HUMERUS – skupina č. 2

Normality Test Section of VYSKA\_HUM when SKUPINA=2

Test Name	Test Value	Prob Level	10% Value	5% Value	Decision (5%)
Shapiro-Wilk W	0,9676498	0,8810239			Can't reject
Anderson-Darling					
Martinez-Iglewicz	1,087806		1,6376	2,8320	Can't reject
Kolmogorov-Smirnov	0,112555		0,28	0,304	Can't reject

## Výška postavy ženy v průběhu staletí

D'Agostino Skewness	0		1.645	1.960
D'Agostino Kurtosis		1,000000	1.645	1.960
D'Agostino Omnibus			4.605	5.991

V tab. č. 13 jsem na 5% hladině α nezamítla normalitu. Dosažená hladina testu  $p < 0,05$ , proto tuto hypotézu nezamítám.

Tab. č. 14: Tabulka testu normality pro FEMUR – skupina č. 2

### Normality Test Section of VYSKA\_FEM when SKUPINA=2

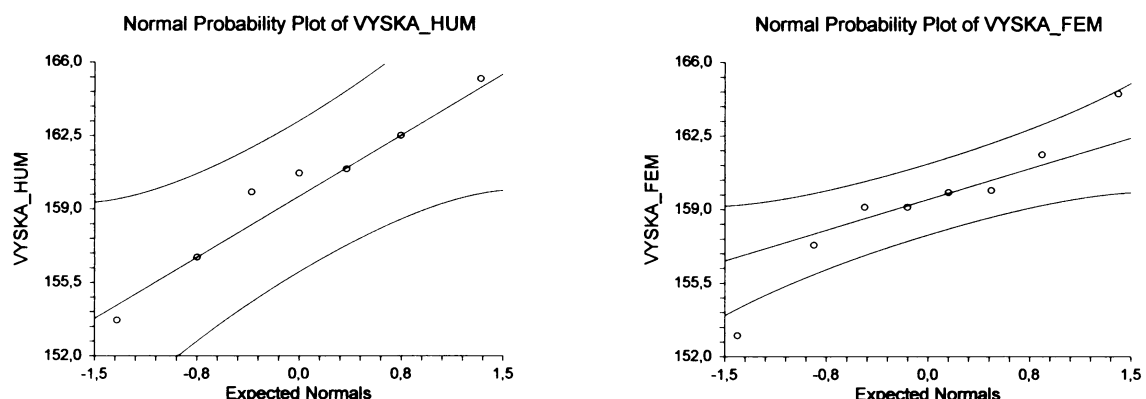
Test Name	Test Value	Prob Level	10% Value	5% Value	Decision (5%)
Shapiro-Wilk W	0,9414154	0,6250579			Can't reject
Anderson-Darling	0,3665211	0,4334278			Can't reject
Martinez-Iglewicz	1,292566		1,5485	2,4212	Can't reject
Kolmogorov-Smirnov	0,1766043		0,265	0,288	Can't reject
D'Agostino Skewness	-0,7222356	0,4701497	1.645	1.960	Can't reject
D'Agostino Kurtosis	1,2219	0,221756	1.645	1.960	Can't reject
D'Agostino Omnibus	2,0146	0,365204	4.605	5.991	Can't reject

V tab. č. 14 jsem na 5% hladině α nezamítla normalitu. Dosažená hladina testu  $p < 0,05$ , proto tuto hypotézu nezamítám.

Graf č. 9: Diagram normality skupiny č. 2

A) HUMERUS

B) FEMUR



## Výška postavy ženy v průběhu staletí

### 3.1.3 Pozdní Eneolit - kultura se šňůrovou keramikou

*Tab. č. 15: Přehled základních charakteristik pro výšku podle HUMERU ve skupině č. 3*

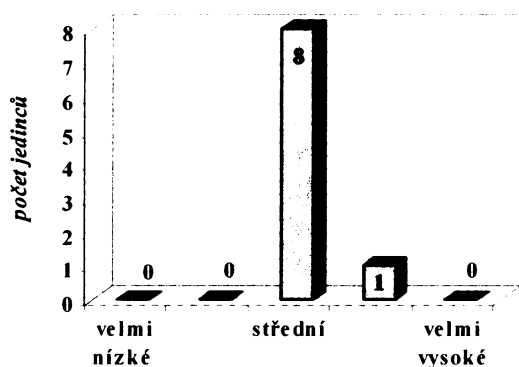
počet	průměr	medián	stand. odchylka	stand. chyba	minimum	maximum	rozpětí
9	160,2	160,1	1,260952	0,420317	158,6	163,1	4,5

*Tab. č. 16: Přehled základních charakteristik pro výšku podle FEMURU ve skupině č. 3*

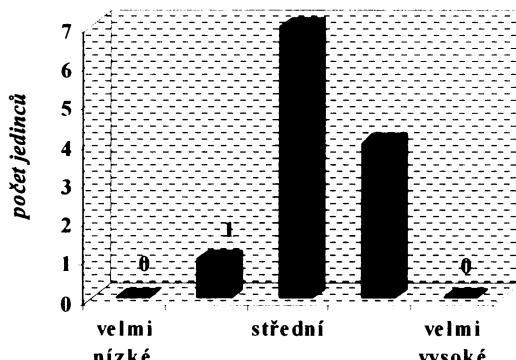
počet	průměr	medián	stand. odchylka	stand. chyba	minimum	maximum	rozpětí
11	161,93	161,40	2,237897	0,674751	159,8	167,4	7,6

*Graf č. 10: Rozdělení jedinců skupiny č. 3 do oddělení podle velikosti*

*A) HUMERUS*

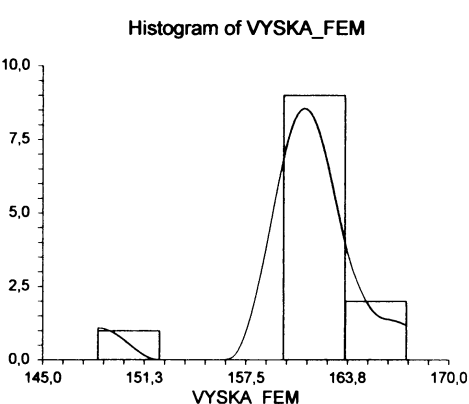
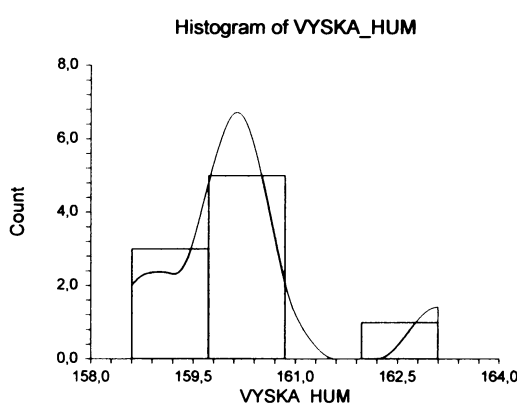


*B) FEMUR*



*Graf č. 11: Histogram rozdělení jedinců podle výšek ve skupině č. 3*

*A) HUMERUS*



## Výška postavy ženy v průběhu staletí

*Tab. č. 17: Tabulka testu normality pro HUMERUS – skupina č. 3*

### Normality Test Section of VYSKA\_HUM when SKUPINA=3

Test Name	Test Value	Prob Level	10% Value	5% Value	Decision (5%)
Shapiro-Wilk W	0,8492668	7,314777E-02			Can't reject
Anderson-Darling	0,6739561	7,843642E-02			Can't reject
Martinez-Iglewicz	2,413493		1,4822	2,1508	Reject norm.
Kolmogorov-Smirnov	0,2461727		0,252	0,274	Can't reject
D'Agostino Skewness	2,093748	3,628244E-02	1.645	1.960	Reject norm.
D'Agostino Kurtosis	2,0957	0,036109	1.645	1.960	Reject norm.
D'Agostino Omnibus	8,7758	0,012427	4.605	5.991	Reject norm.

V tab. č. 17 jsem na 5% hladině α nezamítla normalitu. Dosažená hladina testu  $p<0,05$ , proto tuto hypotézu nezamítám.

*Tab. č. 18: Tabulka testu normality pro FEMUR – skupina č. 3*

### Normality Test Section of VYSKA\_FEM when SKUPINA=3

Test Name	Test Value	Prob Level	10% Value	5% Value	Decision (5%)
Shapiro-Wilk W	0,7577125	3,22059E-03			Reject norm.
Anderson-Darling	1,280185	2,517748E-03			Reject norm.
Martinez-Iglewicz	5,939338		1,3567	1,7191	Reject norm.
Kolmogorov-Smirnov	0,2444307		0,222	0,242	Reject norm.
D'Agostino Skewness	-2,828269	4,680051E-03	1.645	1.960	Reject norm.
D'Agostino Kurtosis	2,9152	0,003555	1.645	1.960	Reject norm.
D'Agostino Omnibus	16,4974	0,000262	4.605	5.991	Reject norm.

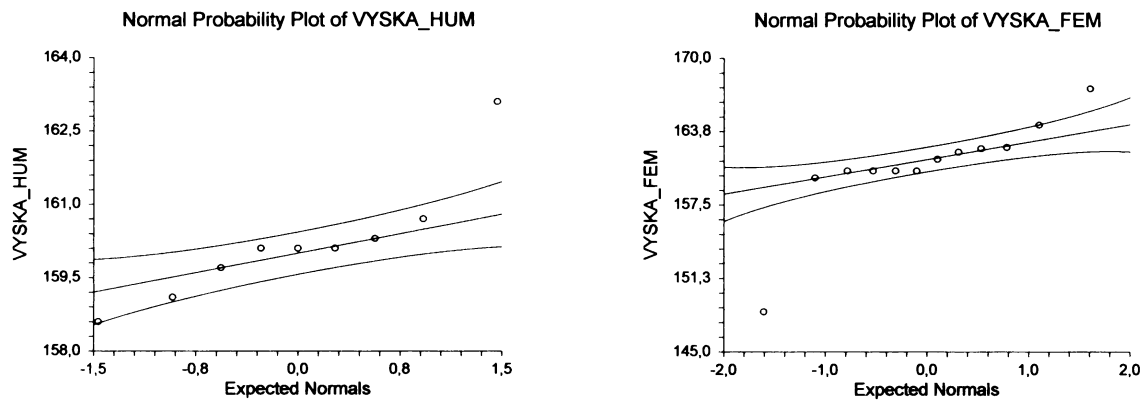
V tab. č. 18 jsem na 5% hladině α zamítla normalitu. Dosažená hladina testu  $p>0,05$ , proto tuto hypotézu zamítám.

## Výška postavy ženy v průběhu staletí

Graf č. 12: Diagram normality skupiny č. 3

A) HUMERUS

B) FEMUR



### 3.1.4 Pozdní Eneolit – kultura zvoncovitých pohárů

Tab. č. 19: Přehled základních charakteristik pro výšku podle HUMERU ve skupině č. 4

počet	průměr	medián	stand. odchylka	stand. chyba	minimum	maximum	rozpětí
9	159,58	159,7	3,001735	0,667245	156,5	162,4	5,9

Tab. č. 20: Přehled základních charakteristik pro výšku podle FEMURU ve skupině č. 4

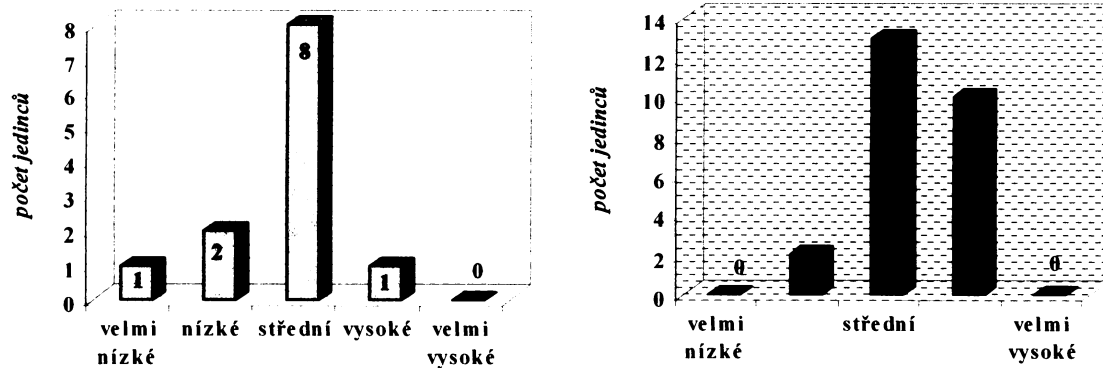
počet	průměr	medián	stand. odchylka	stand. chyba	minimum	maximum	rozpětí
23	160,61	160,30	3,290056	0,686024	153,6	165,6	12

## Výška postavy ženy v průběhu staletí

Graf č. 13: Rozdělení jedinců skupiny č. 4 do oddělení podle velikosti

A) HUMERUS

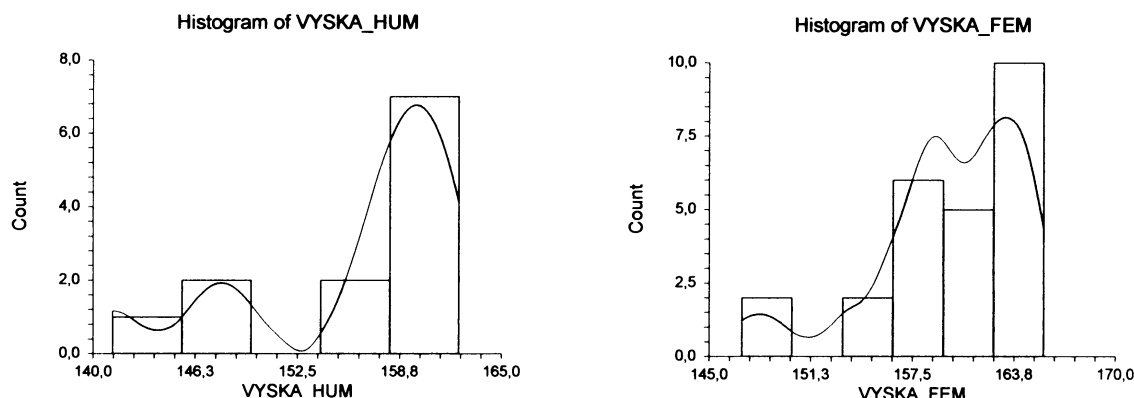
B) FEMUR



Graf č. 14: Histogram rozdělení jedinců podle výšek ve skupině č. 4

A) HUMERUS

B) FEMUR



Tab. č. 21: Tabulka testu normality pro HUMERUS – skupina č. 4

Normality Test Section of VYSKA\_HUM when SKUPINA=4

Test Name	Test Value	Prob Level	10% Value	5% Value	Decision (5%)
Shapiro-Wilk W	0,8182529	1,522303E-02			Reject norm.
Anderson-Darling	0,9795602	1,383212E-02			Reject norm.
Martinez-Iglewicz	2,81054		1,3567	1,7191	Reject norm.
Kolmogorov-Smirnov	0,1907735		0,222	0,242	Can't reject
D'Agostino Skewness	-2,063049	3,910794E-02	1,645	1,960	Reject norm.

## Výška postavy ženy v průběhu staletí

D'Agostino Kurtosis	0,7961	0,425990	1.645	1.960	Can't reject
D'Agostino Omnibus	4,8899	0,086730	4.605	5.991	Can't reject

V tab. č. 21 jsem na 5% hladině α zamítla normalitu. Dosažená hladina testu  $p>0,05$ , proto tuto hypotézu zamítám.

*Tab. č. 22: Tabulka testu normality pro FEMUR – skupina č. 4*

**Normality Test Section of VYSKA\_FEM when SKUPINA=4**

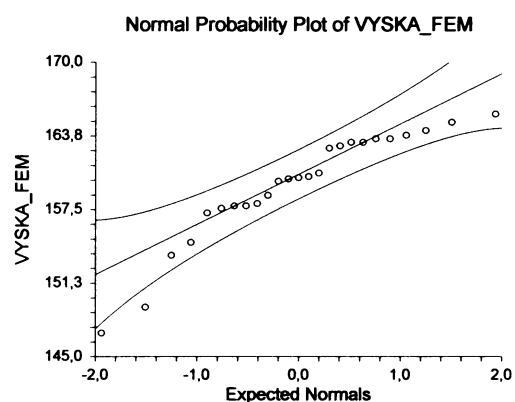
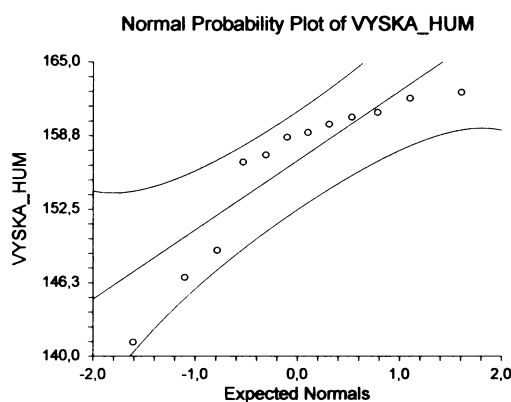
Test Name	Test Value	Prob Level	10% Value	5% Value	Decision (5%)
Shapiro-Wilk W	0,8954221	1,460377E-02			Reject norm.
Anderson-Darling	0,826443	3,298312E-02			Reject norm.
Martinez-Iglewicz	1,196343		1,1755	1,2761	Can't reject
Kolmogorov-Smirnov	0,1050298		0,159	0,173	Can't reject
D'Agostino Skewness	-2,415791	1,570108E-02	1.645	1.960	Reject norm.
D'Agostino Kurtosis	1,4089	0,158862	1.645	1.960	Can't reject
D'Agostino Omnibus	7,8211	0,020030	4.605	5.991	Reject norm.

V tab. č. 22 jsem na 5% hladině α zamítla normalitu. Dosažená hladina testu  $p>0,05$ , proto tuto hypotézu zamítám.

*Graf č. 15: Diagram normality skupiny č. 4*

A) HUMERUS

B) FEMUR



## Výška postavy ženy v průběhu staletí

### 3.1.5 kultura staroúnětická a protoúnětická - počátky únětické kultury

*Tab. č. 23: Přehled základních charakteristik pro výšku podle HUMERU ve skupině č. 5*

počet	průměr	medián	stand. odchylka	stand. chyba	minimum	maximum	rozpětí
5	163,28	163,3	3,804865	1,701587	159,0	168,4	9,4

*Tab. č. 24: Přehled základních charakteristik pro výšku podle FEMURU ve skupině č. 5*

počet	průměr	medián	stand. odchylka	stand. chyba	minimum	maximum	rozpětí
4	161,83	161,55	4,053291	2,026645	157,8	166,4	8,6

*Graf č. 16: Rozdělení jedinců skupiny č. 5 do oddělení podle velikosti*

*A) HUMERUS*

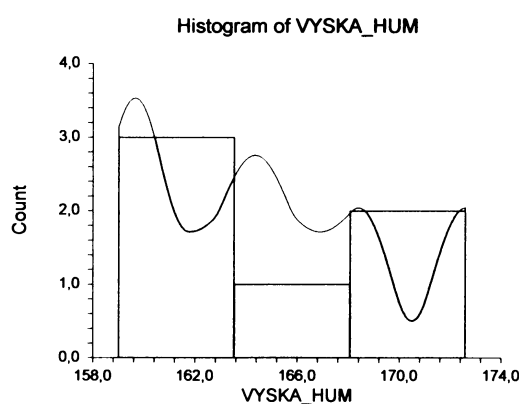


*B) FEMUR*

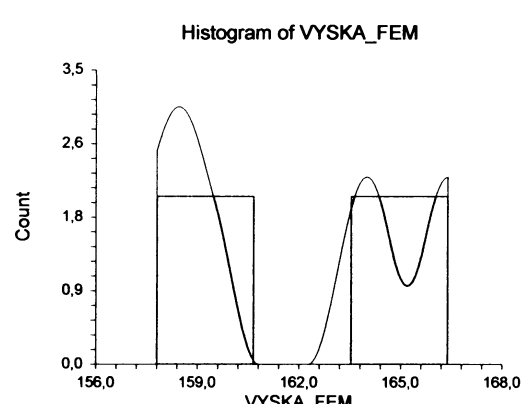


*Graf č. 17: Histogram rozdělení jedinců podle výšek ve skupině č. 5*

*A) HUMERUS*



*B) FEMUR*



## Výška postavy ženy v průběhu staletí

*Tab. č. 25: Tabulka testu normality pro HUMERUS – skupina č. 5*

### **Normality Test Section of VYSKA\_HUM when SKUPINA=5**

<b>Test Name</b>	<b>Test Value</b>	<b>Prob Level</b>	<b>10% Value</b>	<b>5% Value</b>	<b>Decision (5%)</b>
Shapiro-Wilk W	0,9633542	0,8451817			Can't reject
Anderson-Darling					
Martinez-Iglewicz	1,124269		1,7640	3,5096	Can't reject
Kolmogorov-Smirnov	0,1460787		0,297	0,323	Can't reject
D'Agostino Skewness	0		1,645	1,960	
D'Agostino Kurtosis		1,000000	1,645	1,960	
D'Agostino Omnibus			4,605	5,991	

V tab. č. 25 jsem na 5% hladině α nezamítla normalitu. Dosažená hladina testu  $p<0,05$ , proto tuto hypotézu nezamítám.

*Tab. č. 26: Tabulka testu normality pro FEMUR – skupina č. 5*

### **Normality Test Section of VYSKA\_FEM when SKUPINA=5**

<b>Test Name</b>	<b>Test Value</b>	<b>Prob Level</b>	<b>10% Value</b>	<b>5% Value</b>	<b>Decision (5%)</b>
Shapiro-Wilk W	0,9177304	0,5242999			Can't reject
Anderson-Darling					
Martinez-Iglewicz	1,192719		2,2884	7,5916	Can't reject
Kolmogorov-Smirnov	0,2493015		0,346	0,376	Can't reject
D'Agostino Skewness	0		1,645	1,960	
D'Agostino Kurtosis		1,000000	1,645	1,960	
D'Agostino Omnibus			4,605	5,991	

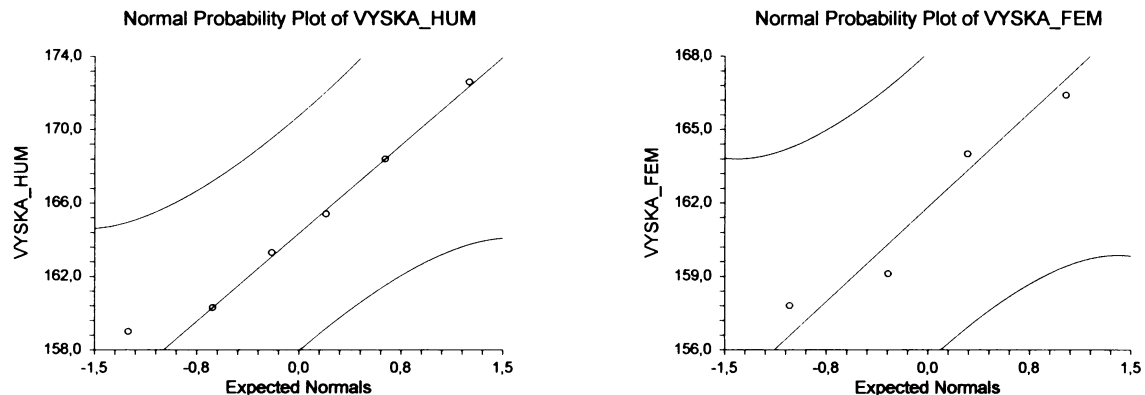
V tab. č. 26 jsem na 5% hladině α nezamítla normalitu. Dosažená hladina testu  $p<0,05$ , proto tuto hypotézu nezamítám.

## Výška postavy ženy v průběhu staletí

Graf č. 18: Diagram normality skupiny č. 6

A) HUMERUS

B) FEMUR



### 3.1.6 Starší bronz - kultura únětická, kultura větěřovská

Tab. č. 27: Přehled základních charakteristik pro výšku podle HUMERU ve skupině č. 6

počet	průměr	medián	stand. odchylka	stand. chyba	minimum	maximum	rozpětí
38	161,1342	160,65	3,191058	0,517658	156,3	171,3	15

Tab. č. 28: Přehled základních charakteristik pro výšku podle FEMURU ve skupině č. 6

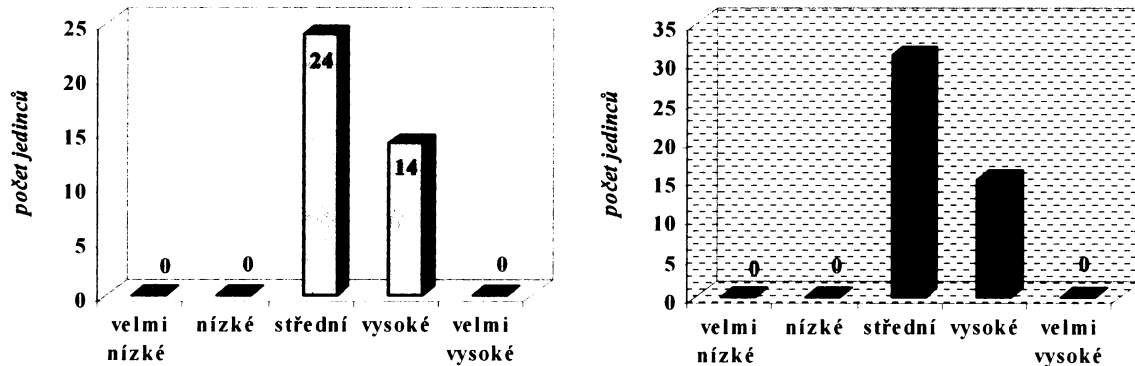
počet	průměr	medián	stand. odchylka	stand. chyba	minimum	maximum	rozpětí
46	160,96	160,90	2,326624	0,343042	156,1	165,0	8,9

## Výška postavy ženy v průběhu staletí

Graf č. 19: Rozdělení jedinců skupiny č. 6 do oddělení podle velikosti

A) HUMERUS

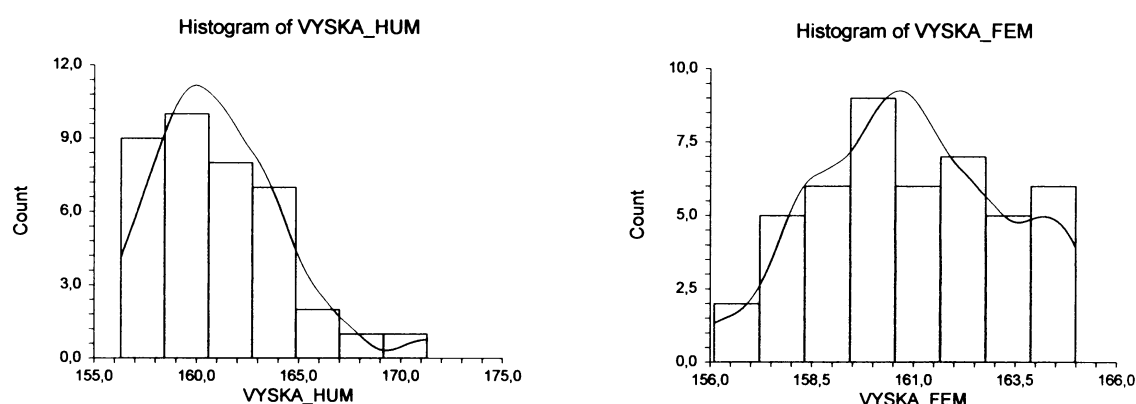
B) FEMUR



Graf č. 20: Histogram rozdělení jedinců podle výšek ve skupině č. 6

A) HUMERUS

B) FEMUR



Tab. č. 29: Tabulka testu normality pro HUMERUS – skupina č.

Normality Test Section of VYSKA_HUM when SKUPINA=6					
Test Name	Test Value	Prob Level	10% Value	5% Value	Decision (5%)
Shapiro-Wilk W	0,9479074	7,597962E-02			Can't reject
Anderson-Darling	0,4289686	0,30981			Can't reject
Martinez-Iglewicz	1,155197		1,1201	1,1829	Can't reject
Kolmogorov-Smirnov	0,1082018		0,13	0,142	Can't reject
D'Agostino Skewness	2,328258	1,989839E-02	1,645	1,960	Reject norm.

## Výška postavy ženy v průběhu staletí

D'Agostino Kurtosis	1,7030	0,088565	1.645	1.960	Can't reject
D'Agostino Omnibus	8,3211	0,015599	4.605	5.991	Reject norm.

V tab. č. 29 jsem na 5% hladině a nezamítla normalitu. Dosažená hladina testu  $p<0,05$ , proto tuto hypotézu nezamítám.

*Tab. č. 30: Tabulka testu normality pro FEMUR – skupina č. 6*

**Normality Test Section of VYSKA\_FEM when SKUPINA=6**

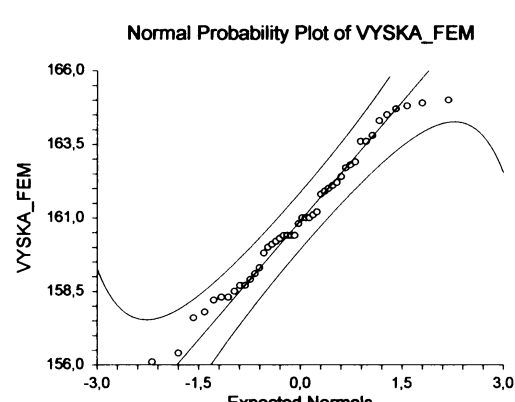
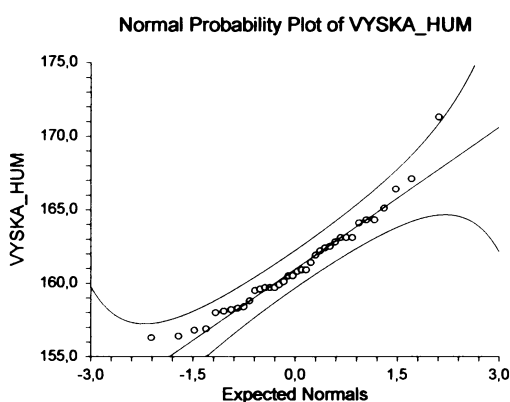
Test Name	Test Value	Prob Level	10% Value	5% Value	Decision
Shapiro-Wilk W	0,974327	0,3969816			Can't reject
Anderson-Darling	0,2892786	0,6147146			Can't reject
Martinez-Iglewicz	0,9582736		1,1013	1,1563	Can't reject
Kolmogorov-Smirnov	7,278451E-02		0,119	0,129	Can't reject
D'Agostino Skewness	4,239065E-02	0,9661873	1.645	1.960	Can't reject
D'Agostino Kurtosis	-1,2007	0,229880	1.645	1.960	Can't reject
D'Agostino Omnibus	1,4434	0,485926	4.605	5.991	Can't reject

V tab. č. 30 jsem jsem na 5% hladině a nezamítla normalitu. Dosažená hladina testu  $p<0,05$ , proto tuto hypotézu nezamítám.

*Graf č. 21: Diagram normality skupiny č. 6*

*A) HUMERUS*

*B) FEMUR*



## Výška postavy ženy v průběhu staletí

### 3.1.7 Mladší bronz - kultura knovízská

*Tab. č. 31: Přehled základních charakteristik pro výšku podle HUMERU ve skupině č. 7*

počet	průměr	medián	stand. odchylka	stand. chyba	minimum	maximum	rozpětí
9	162,1667	162	4,434805	1,478269	154,8	170,5	15,7

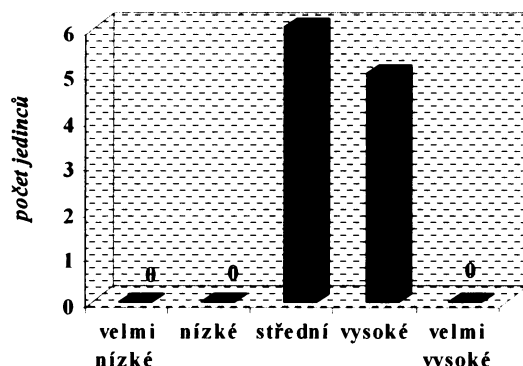
*Tab. č. 32: Přehled základních charakteristik pro výšku podle FEMURU ve skupině č. 7*

počet	průměr	medián	stand. odchylka	stand. chyba	minimum	maximum	rozpětí
11	162,55	162,00	4,087631	1,232467	158,2	169,9	11,7

*Graf č. 22: Rozdělení jedinců skupiny č. 7 do oddělení podle velikosti*

A) HUMERUS

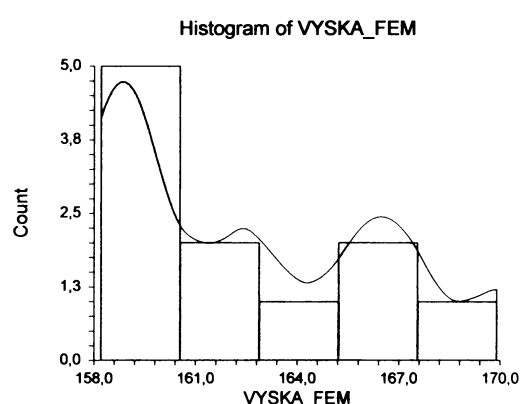
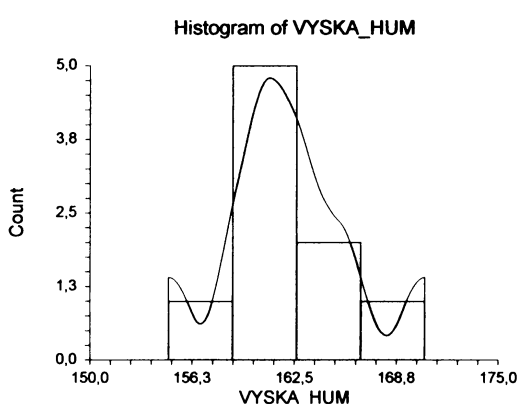
B) FEMUR



*Graf č. 23: Histogram rozdělení jedinců podle výšek ve skupině č. 7*

A) HUMERUS

B) FEMUR



## Výška postavy ženy v průběhu staletí

*Tab. č. 33: Tabulka testu normality pro HUMERUS – skupina č. 7*

### Normality Test Section of VYSKA\_HUM when SKUPINA=7

Test Name	Test Value	Prob Level	10% Value	5% Value	Decision (5%)
Shapiro-Wilk W	0,9735205	0,9230471			Can't reject
Anderson-Darling	0,2275261	0,8143089			Can't reject
Martinez-Iglewicz	1,1226		1,4822	2,1508	Can't reject
Kolmogorov-Smirnov	0,1636681		0,252	0,274	Can't reject
D'Agostino Skewness	0,5057066	0,6130626	1,645	1,960	Can't reject
D'Agostino Kurtosis	0,8648	0,387127	1,645	1,960	Can't reject
D'Agostino Omnibus	1,0037	0,605414	4,605	5,991	Can't reject

V tab. č. 33 jsem na 5% hladině α nezamítla normalitu. Dosažená hladina testu p<0,05, proto tuto hypotézu nezamítám.

*Tab. č. 34: Tabulka testu normality pro FEMUR – skupina č. 7*

### Normality Test Section of VYSKA\_FEM when SKUPINA=7

Test Name	Test Value	Prob Level	10% Value	5% Value	Decision (5%)
Shapiro-Wilk W	0,906284	0,2202439			Can't reject
Anderson-Darling	0,4161127	0,3322748			Can't reject
Martinez-Iglewicz	1,040698		1,3900	1,8238	Can't reject
Kolmogorov-Smirnov	0,1965085		0,231	0,251	Can't reject
D'Agostino Skewness	0,8694803	0,3845845	1,645	1,960	Can't reject
D'Agostino Kurtosis	-0,8503	0,395135	1,645	1,960	Can't reject
D'Agostino Omnibus	1,4791	0,477334	4,605	5,991	Can't reject

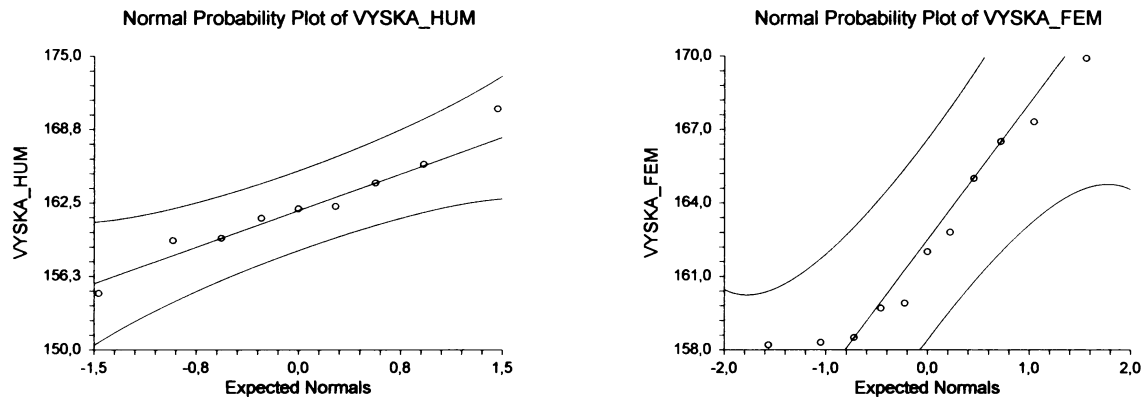
V tab. č. 34 jsem na 5% hladině α nezamítla normalitu. Dosažená hladina testu p<0,05, proto tuto hypotézu nezamítám.

## Výška postavy ženy v průběhu staletí

Graf č. 24: Diagram normality skupiny č. 7

A) HUMERUS

B) FEMUR



### 3.1.8 Mladší doba železná - kultura laténská (Keltové)

Tab. č. 35: Přehled základních charakteristik pro výšku podle HUMERU ve skupině č. 8

počet	průměr	medián	stand. odchylka	stand. chyba	minimum	maximum	rozpětí
10	161,43	161,7	2,171047	0,686545	156,9	164,9	8

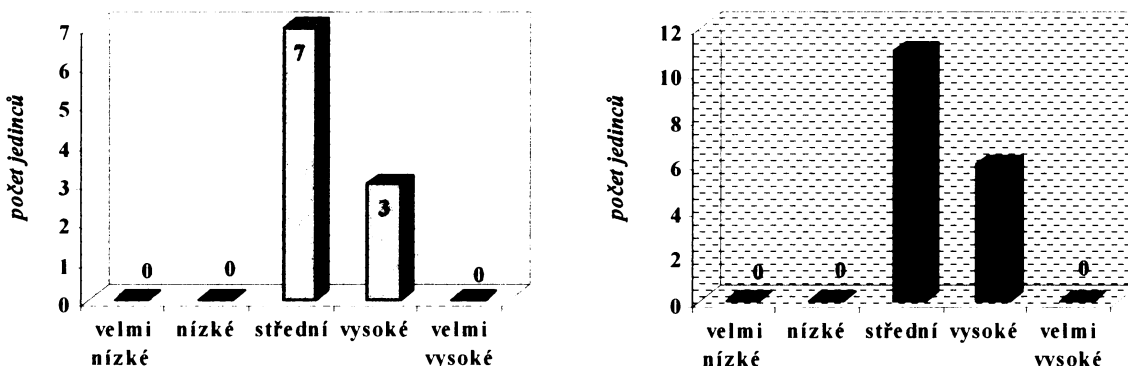
Tab. č. 36: Přehled základních charakteristik pro výšku podle FEMURU ve skupině č. 8

počet	průměr	medián	stand. odchylka	stand. chyba	minimum	maximum	rozpětí
17	160,92	161,10	3,088796	0,749143	156,7	168,3	11,6

Graf č. 25: Rozdělení jedinců skupiny č. 8 do oddělení podle velikosti

A) HUMERUS

B) FEMUR

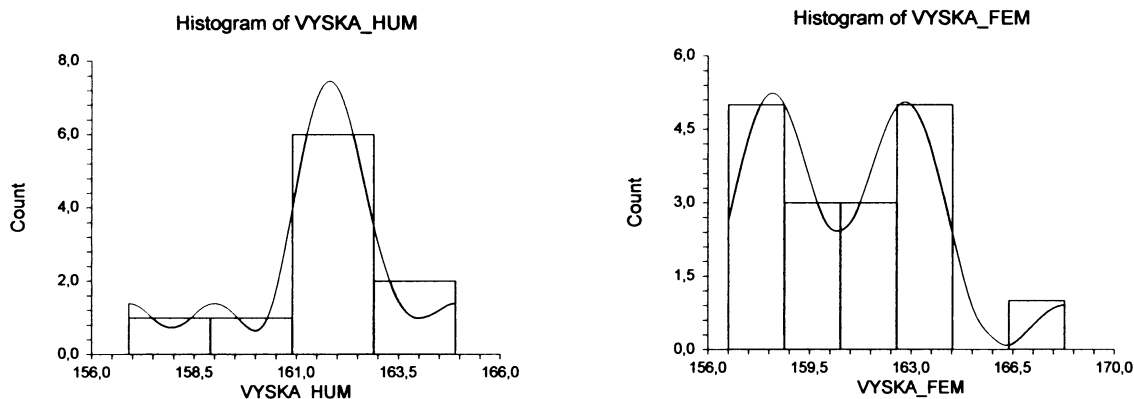


## Výška postavy ženy v průběhu staletí

Graf č. 26: Histogram rozdělení jedinců podle výšek ve skupině č. 8

A) HUMERUS

B) FEMUR



Tab. č. 37: Tabulka testu normality pro HUMERUS – skupina č. 8

Normality Test Section of VYSKA\_HUM when SKUPINA=8

Test Name	Test Value	Prob Level	10% Value	5% Value	Decision (5%)
Shapiro-Wilk W	0,9156005	0,3217162			Can't reject
Anderson-Darling	0,5305721	0,1753279			Can't reject
Martinez-Iglewicz	2,03577		1,4309	1,962	Reject norm.
Kolmogorov-Smirnov	0,1578151		0,241	0,262	Can't reject
D'Agostino Skewness	-1,217946	0,2232444	1,645	1,960	Can't reject
D'Agostino Kurtosis	1,2439	0,213525	1,645	1,960	Can't reject
D'Agostino Omnibus	3,0308	0,219725	4,605	5,991	Can't reject

V tab. č. 37 jsem na 5% hladině α nezamítla normalitu. Dosažená hladina testu  $p < 0,05$ , proto tuto hypotézu nezamítám.

## Výška postavy ženy v průběhu staletí

*Tab. č. 38: Tabulka testu normality pro FEMUR – skupina č. 8*

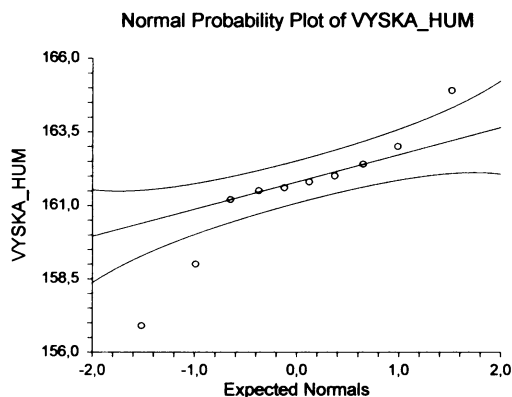
### Normality Test Section of VYSKA\_FEM when SKUPINA=8

Test Name	Test Value	Prob Level	10% Value	5% Value	Decision (5%)
Shapiro-Wilk W	0,9340976	0,2546617			Can't reject
Anderson-Darling	0,4245826	0,3173144			Can't reject
Martinez-Iglewicz	1,022231		1,2525	1,4388	Can't reject
Kolmogorov-Smirnov	0,1555692		0,19	0,207	Can't reject
D'Agostino Skewness	1,22499	0,2205789	1,645	1,960	Can't reject
D'Agostino Kurtosis	0,4908	0,623562	1,645	1,960	Can't reject
D'Agostino Omnibus	1,7415	0,418639	4,605	5,991	Can't reject

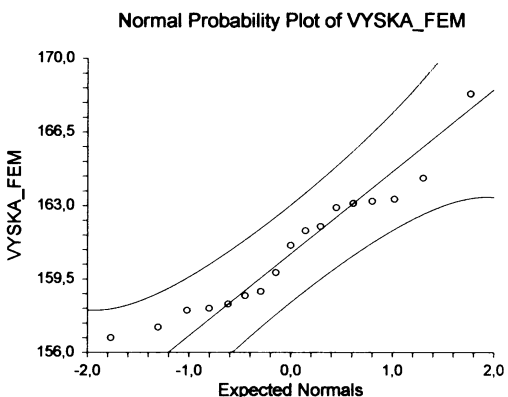
V tab. č. 38 jsem na 5% hladině α nezamítla normalitu. Dosažená hladina testu  $p<0,05$ , proto tuto hypotézu nezamítám.

*Graf č. 27: Diagram normality skupiny č. 8*

*A) HUMERUS*



*B) FEMUR*



## Výška postavy ženy v průběhu staletí

### 3.1.9 Doba Římská

*Tab. č. 39: Přehled základních charakteristik pro výšku podle HUMERU ve skupině č. 9*

počet	průměr	medián	stand. odchylka	stand. chyba	minimum	maximum	rozpětí
6	162,6667	161,45	3,145579	1,284177	159,0	167,2	8,2

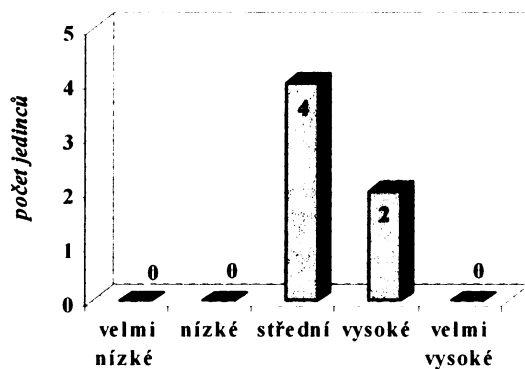
*Tab. č. 40: Přehled základních charakteristik pro výšku podle FEMURU ve skupině č. 9*

počet	průměr	medián	stand. odchylka	stand. chyba	minimum	maximum	rozpětí
7	161,93	160,50	3,544815	1,339814	158,3	169,3	11

*Graf č. 28: Rozdělení jedinců skupiny č. 9 do oddělení podle velikosti*

A) HUMERUS

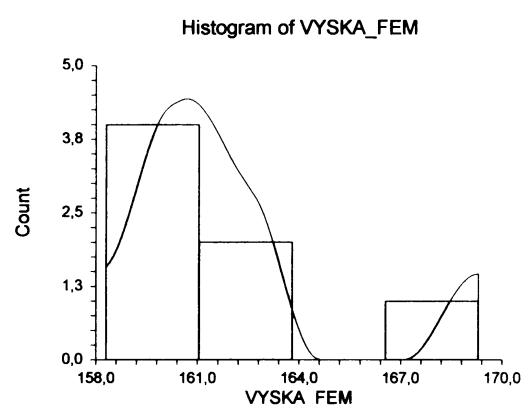
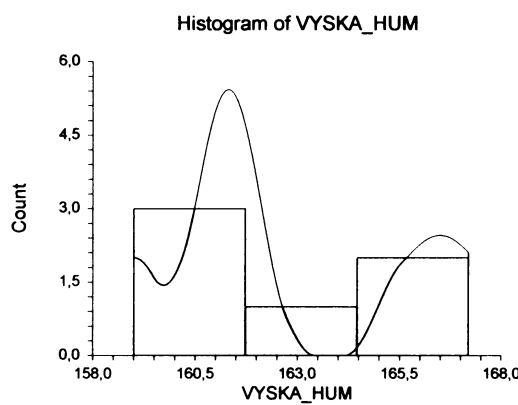
B) FEMUR



*Graf č. 29: Histogram rozdělení jedinců podle výšek ve skupině č. 9*

A) HUMERUS

B) FEMUR



## Výška postavy ženy v průběhu staletí

*Tab. č. 41: Tabulka testu normality pro HUMERUS – skupina č. 9*

### **Normality Test Section of VYSKA\_HUM when SKUPINA=9**

<b>Test Name</b>	<b>Test Value</b>	<b>Prob Level</b>	<b>10% Value</b>	<b>5% Value</b>	<b>Decision (5%)</b>
Shapiro-Wilk W	0,8948037	0,3441263			Can't reject
Anderson-Darling					
Martinez-Iglewicz	1,08832		1,7640	3,5096	Can't reject
Kolmogorov-Smirnov	0,2752079		0,297	0,323	Can't reject
D'Agostino Skewness	0		1,645	1,960	
D'Agostino Kurtosis		1,000000	1,645	1,960	
D'Agostino Omnibus			4,605	5,991	

V tab. č. 41 jsem na 5% hladině a nezamítla normalitu. Dosažená hladina testu  $p<0,05$ , proto tuto hypotézu nezamítám.

*Tab. č. 42: Tabulka testu normality pro FEMUR – skupina č. 9*

### **Normality Test Section of VYSKA\_FEM when SKUPINA=9**

<b>Test Name</b>	<b>Test Value</b>	<b>Prob Level</b>	<b>10% Value</b>	<b>5% Value</b>	<b>Decision (5%)</b>
Shapiro-Wilk W	0,8143084	5,657646E-02			Can't reject
Anderson-Darling					
Martinez-Iglewicz	2,024987		1,6376	2,8320	Can't reject
Kolmogorov-Smirnov	0,2931103		0,28	0,304	Can't reject
D'Agostino Skewness	0		1,645	1,960	
D'Agostino Kurtosis		1,000000	1,645	1,960	
D'Agostino Omnibus			4,605	5,991	

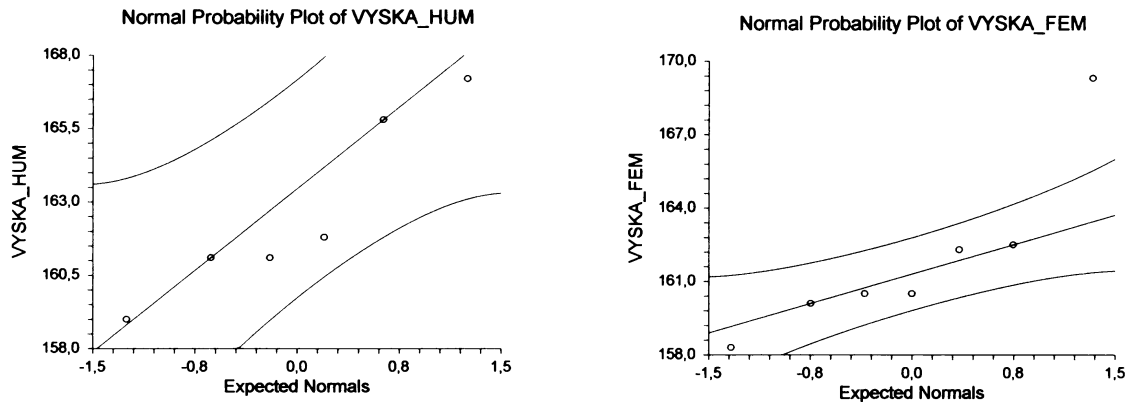
V tab. č. 42 jsem jsem na 5% hladině a nezamítla normalitu. Dosažená hladina testu  $p<0,05$ , proto tuto hypotézu nezamítám.

## Výška postavy ženy v průběhu staletí

Graf č. 30: Diagram normality skupiny č. 9

A) HUMERUS

B) FEMUR



### 3.1.10 Doba Stěhování národů

Tab. č. 43: Přehled základních charakteristik pro výšku podle HUMERU ve skupině č. 10:

počet	průměr	medián	stand. odchylka	stand. chyba	minimum	maximum	rozpětí
14	164,2929	164,05	2,736495	0,731359	158,6	170,0	11,4

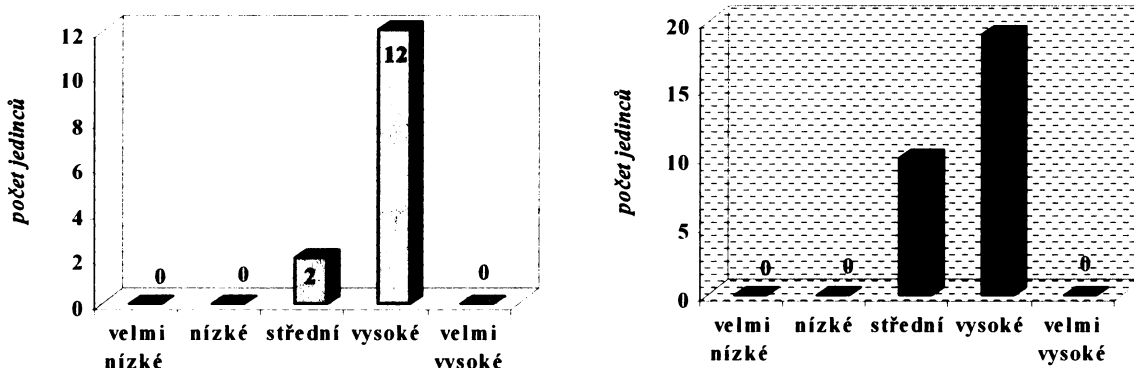
Tab. č. 44: Přehled základních charakteristik pro výšku podle FEMURU ve skupině č. 10:

počet	průměr	medián	stand. odchylka	stand. chyba	minimum	maximum	rozpětí
29	163,49	163,70	3,072426	0,570535	157,7	169,8	12,1

Graf č. 31: Rozdělení jedinců skupiny č. 10 do oddělení podle velikosti

A) HUMERUS

B) FEMUR

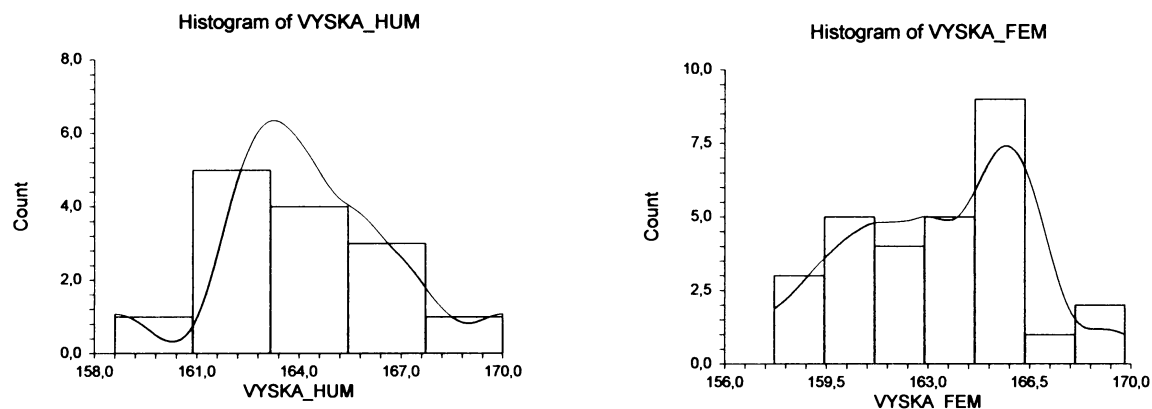


## Výška postavy ženy v průběhu staletí

Graf č. 32: Histogram rozdělení jedinců podle výšek ve skupině č. 10

A) HUMERUS

B) FEMUR



Tab. č. 45: Tabulka testu normality pro HUMERUS – skupina č. 10

### Normality Test Section of VYSKA\_HUM when SKUPINA=10

Test Name	Test Value	Prob Level	10% Value	5% Value	Decision (5%)
Shapiro-Wilk W	0,9669509	0,8334439			Can't reject
Anderson-Darling	0,3013878	0,5786334			Can't reject
Martinez-Iglewicz	1,166527		1,3054	1,573	Can't reject
Kolmogorov-Smirnov	0,1139903		0,208	0,226	Can't reject
D'Agostino Skewness	0,2041115	0,8382664	1,645	1,960	Can't reject
D'Agostino Kurtosis	1,1008	0,270967	1,645	1,960	Can't reject
D'Agostino Omnibus	1,2535	0,534324	4,605	5,991	Can't reject

V tab. č. 45 jsem jsem na 5% hladině a nezamítla normalitu. Dosažená hladina testu  $p < 0,05$ , proto tuto hypotézu nezamítám.

Tab. č. 46: Tabulka testu normality pro FEMUR – skupina č. 10

### Normality Test Section of VYSKA\_FEM when SKUPINA=10

Test Name	Test Value	Prob Level	10% Value	5% Value	Decision (5%)
Shapiro-Wilk W	0,9690521	0,5342684			Can't reject
Anderson-Darling	0,3898839	0,3827449			Can't reject
Martinez-Iglewicz	0,9733599		1,1532	1,2361	Can't reject

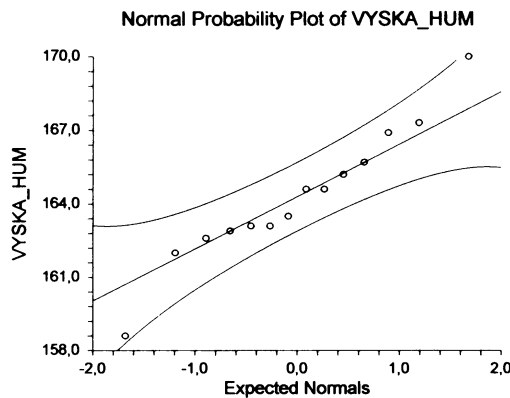
## Výška postavy ženy v průběhu staletí

Kolmogorov-Smirnov	9,151904E-02		0,148	0,162	Can't reject
D'Agostino Skewness	-0,2738385	0,7842087	1.645	1.960	Can't reject
D'Agostino Kurtosis	-0,8414	0,400114	1.645	1.960	Can't reject
D'Agostino Omnibus	0,7830	0,676052	4.605	5.991	Can't reject

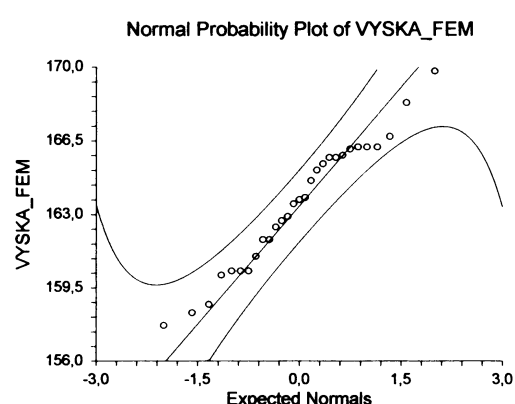
V tab. č. 46 jsem na 5% hladině α nezamítla normalitu. Dosažená hladina testu  $p < 0,05$ , proto tuto hypotézu nezamítám.

Graf č. 33: Diagram normality skupiny č. 10

A) HUMERUS



B) FEMUR



### 3.1.11 Doba Hradištění

Tab. č. 47: Přehled základních charakteristik pro výšku podle HUMERU ve skupině č. 11

počet	průměr	medián	stand. odchylka	stand. chyba	minimum	maximum	rozpětí
12	162,7417	161,2	3,925779	1,133275	157,8	168,8	11

Tab. č. 48: Přehled základních charakteristik pro výšku podle FEMURU ve skupině č. 11

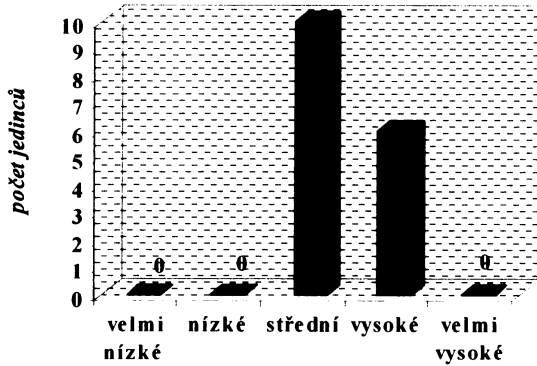
počet	průměr	medián	stand. odchylka	stand. chyba	minimum	maximum	rozpětí
16	160,86	159,00	3,581038	0,895260	156,5	166,4	9,9

## Výška postavy ženy v průběhu staletí

Graf č. 34: Rozdělení jedinců skupiny č. 11 do oddělení podle velikostí

A) HUMERUS

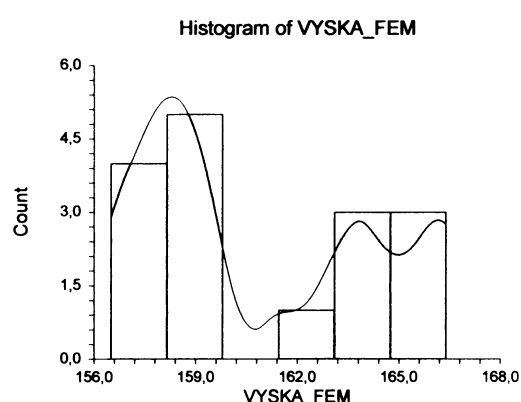
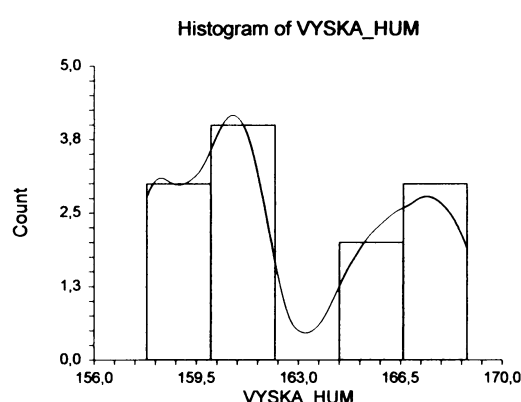
B) FEMUR



Graf č. 35: Histogram rozdělení jedinců podle výšek ve skupině č. 11

A) HUMERUS

B) FEMUR



Tab. č. 49: Tabulka testu normality pro HUMERUS – skupina č. 11

Normality Test Section of VYSKA\_HUM when SKUPINA=11

Test Name	Test Value	Prob Level	10% Value	5% Value	Decision (5%)
Shapiro-Wilk W	0,9065865	0,1928635			Can't reject
Anderson-Darling	0,4805817	0,2328334			Can't reject
Martinez-Iglewicz	1,022077		1,3567	1,7191	Can't reject
Kolmogorov-Smirnov	0,1984914		0,222	0,242	Can't reject
D'Agostino Skewness	0,507808	0,6115881	1,645	1,960	Can't reject

## Výška postavy ženy v průběhu staletí

D'Agostino Kurtosis	-1,7004	0,089063	1.645	1.960	Can't reject
D'Agostino Omnibus	3,1491	0,207101	4.605	5.991	Can't reject

V tab. č. 49 jsem na 5% hladině a nezamítla normalitu. Dosažená hladina testu  $p<0,05$ , proto tuto hypotézu nezamítám.

*Tab. č. 50: Tabulka testu normality pro FEMUR – skupina č. 11*

### Normality Test Section of VYSKA\_FEM when SKUPINA=11

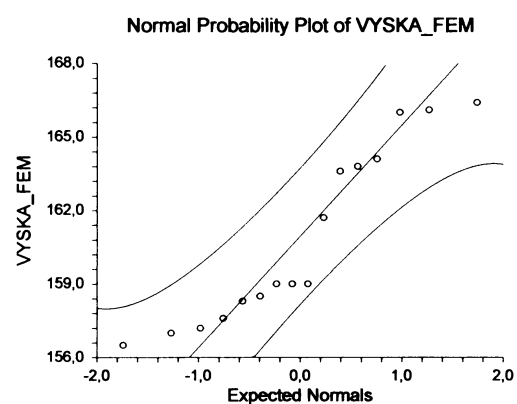
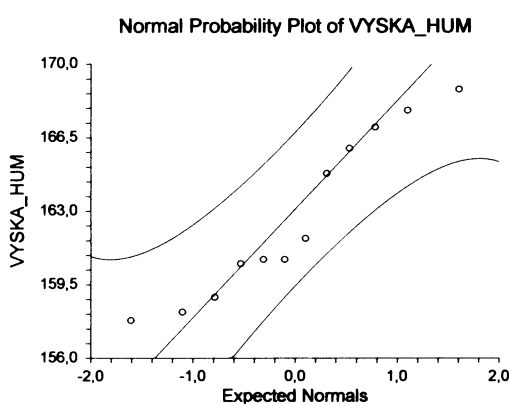
Test Name	Test Value	Prob Level	10% Value	5% Value	Decision (5%)
Shapiro-Wilk W	0,8713927	2,856502E-02			Reject norm.
Anderson-Darling	0,8419582	3,020179E-02			Reject norm.
Martinez-Iglewicz	0,9864017		1,2678	1,4756	Can't reject
Kolmogorov-Smirnov	0,2610033		0,195	0,213	Reject norm.
D'Agostino Skewness	0,7868501	0,4313696	1.645	1.960	Can't reject
D'Agostino Kurtosis	-2,1442	0,032015	1.645	1.960	Reject norm.
D'Agostino Omnibus	5,2168	0,073652	4.605	5.991	Can't reject

V tab. č. 50 jsem na 5% hladině a zamítla normalitu. Dosažená hladina testu  $p>0,05$ , proto tuto hypotézu zamítám.

*Graf č. 36: Diagram normality skupiny č. 11*

*A) HUMERUS*

*B) FEMUR*



## Výška postavy ženy v průběhu staletí

### 3.1.12 Střední doba hradištní: 9. – 11. st., Velkomoravská říše

Tab. č. 51: Přehled základních charakteristik pro výšku podle HUMERU ve skupině č. 12

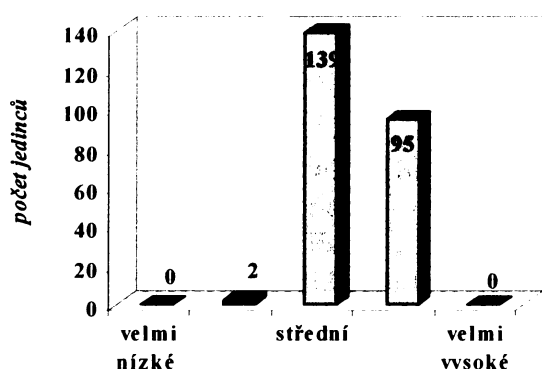
počet	průměr	medián	stand. odchylka	stand. chyba	minimum	maximum	rozpětí
234	161,4342	161,4	2,956833	0,193294	152,9	170,1	17,2

Tab. č. 52: Přehled základních charakteristik pro výšku podle FEMURU ve skupině č. 12

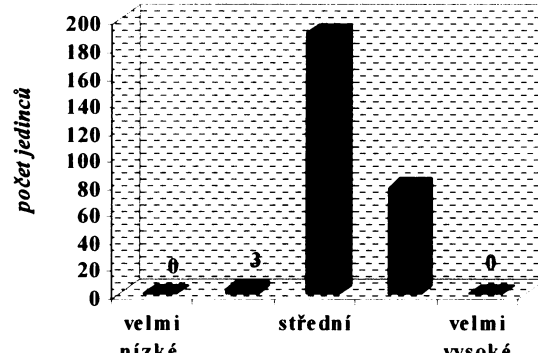
počet	průměr	medián	směr. odchylka	stand. chyba	minimum	maximum	rozpětí
267	160,73	160,60	2,628230	0,160845	152,6	169,2	16,6

Graf č. 37: Rozdělení jedinců skupiny č. 12 do oddělení podle velikostí

A) HUMERUS

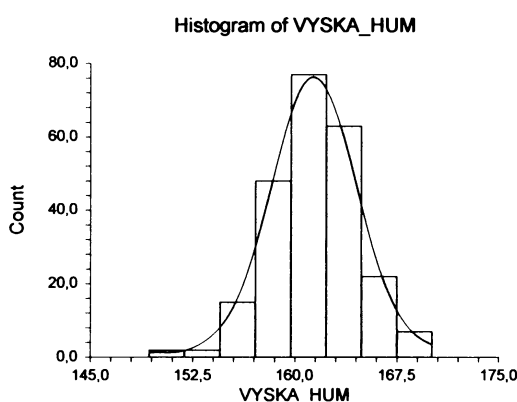


B) FEMUR

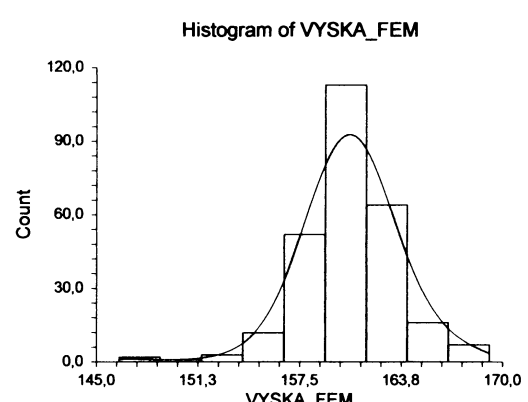


Graf č. 38: Histogram rozdělení jedinců podle výšek ve skupině č. 12

A) HUMERUS



B) FEMUR



## Výška postavy ženy v průběhu staletí

*Tab. č. 53: Tabulka testu normality pro HUMERUS – skupina č. 12*

**Normality Test Section of VYSKA\_HUM when SKUPINA=12**

<b>Test Name</b>	<b>Test Value</b>	<b>Prob Level</b>	<b>10% Value</b>	<b>5% Value</b>	<b>Decision (5%)</b>
Shapiro-Wilk W	0,9830985	6,545786E-03			Reject norm.
Anderson-Darling	0,620913	0,1060419			Can't reject
Martinez-Iglewicz	1,108487		1,0232	1,0374	Reject norm.
Kolmogorov-Smirnov	4,510694E-02		0,053	0,058	Can't reject
D'Agostino Skewness	-2,027427	4,261878E-02	1,645	1,960	Reject norm.
D'Agostino Kurtosis	2,9682	0,002996	1,645	1,960	Reject norm.
D'Agostino Omnibus	12,9206	0,001564	4,605	5,991	Reject norm.

V tab. č. 53 jsem na 5% hladině α zamítla normalitu. Dosažená hladina testu  $p>0,05$ , proto tuto hypotézu zamítám.

*Tab. č. 54: Tabulka testu normality pro FEMUR – skupina č. 12*

**Normality Test Section of VYSKA\_FEM when SKUPINA=12**

<b>Test Name</b>	<b>Test Value</b>	<b>Prob Level</b>	<b>10% Value</b>	<b>5% Value</b>	<b>Decision (5%)</b>
Shapiro-Wilk W	0,948301	3,613514E-08			Reject norm.
Anderson-Darling	2,228082	1,195835E-05			Reject norm.
Martinez-Iglewicz	1,292341		1,0202	1,033	Reject norm.
Kolmogorov-Smirnov	6,625571E-02		0,05	0,054	Reject norm.
D'Agostino Skewness	-4,53609	5,730658E-06	1,645	1,960	Reject norm.
D'Agostino Kurtosis	5,4252	0,000000	1,645	1,960	Reject norm.
D'Agostino Omnibus	50,0090	0,000000	4,605	5,991	Reject norm.

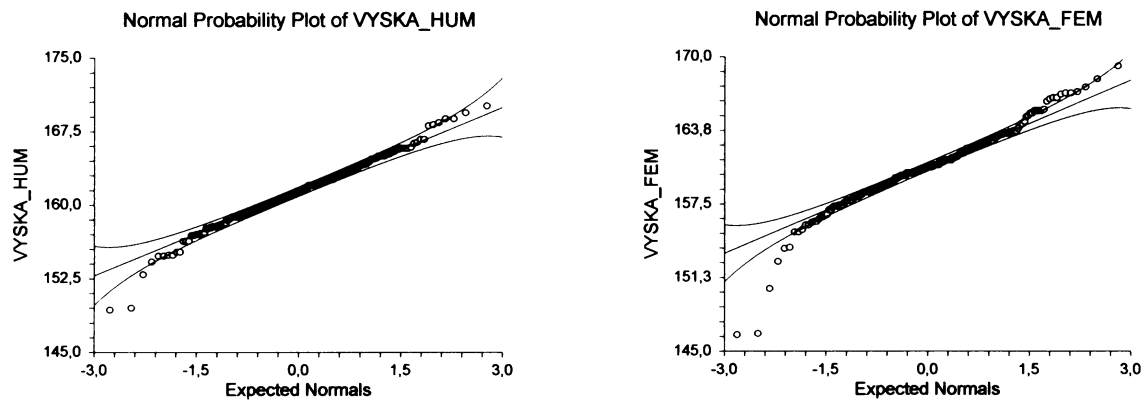
V tab. č. 54 jsem na 5% hladině α zamítla normalitu. Dosažená hladina testu  $p>0,05$ , proto tuto hypotézu zamítám.

## Výška postavy ženy v průběhu staletí

Graf č. 39: Diagram normality skupiny č. 12

A) HUMERUS

B) FEMUR



### 3.1.13 Slované

Tab. č. 55: Přehled základních charakteristik pro výšku podle HUMERU ve skupině č. 13

počet	průměr	medián	stand. odchylka	stand. chyba	minimum	maximum	rozpětí
63	161,6984	161,6	3,251426	0,409641	155,0	168,1	13,1

Tab. č. 56: Přehled základních charakteristik pro výšku podle FEMURU ve skupině č. 13

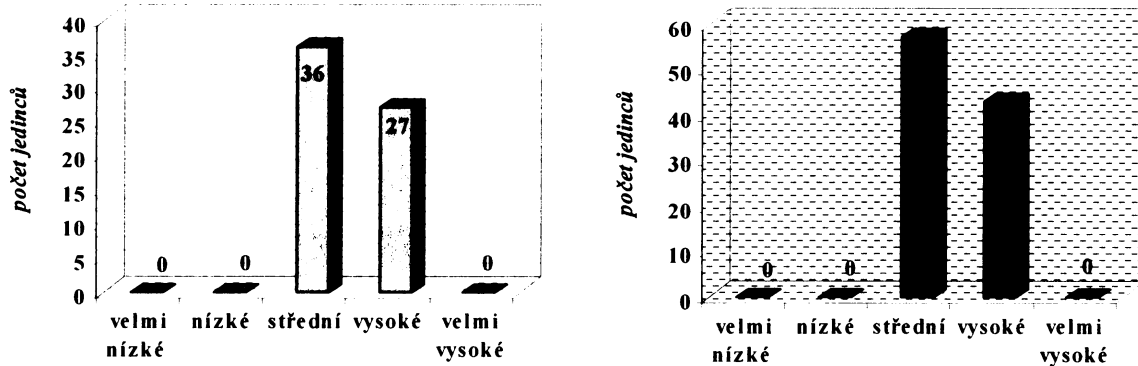
počet	průměr	medián	směr. odchylka	stand. chyba	minimum	maximum	rozpětí
100	161,37	161,55	3,027579	0,302758	155,2	169,2	14

## Výška postavy ženy v průběhu staletí

Graf č. 40: Rozdělení jedinců skupiny č. 13 do oddělení podle velikosti

A) HUMERUS

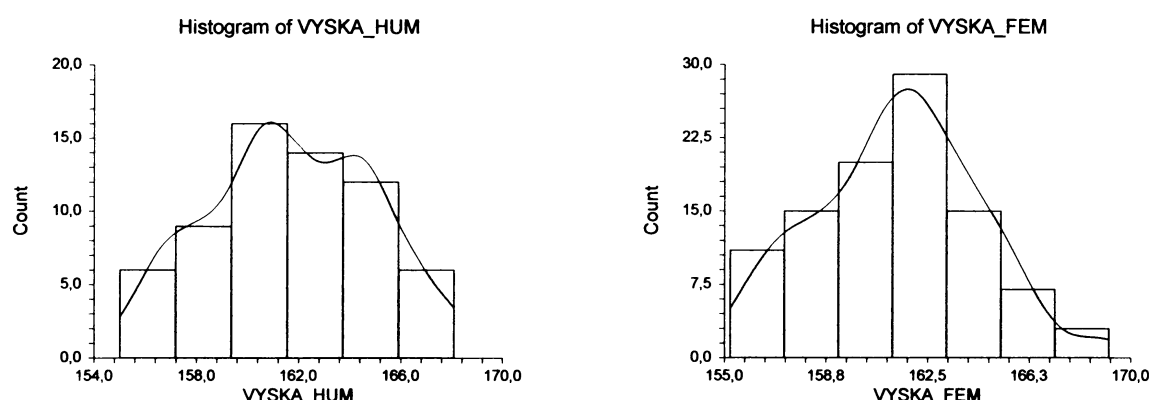
B) FEMUR



Graf č. 41: Histogram rozdělení jedinců podle výšek ve skupině č. 13

A) HUMERUS

B) FEMUR



Tab. č. 57: Tabulka testu normality pro HUMERUS – skupina č. 13

Normality Test Section of VYSKA\_HUM when SKUPINA=13

Test Name	Test Value	Prob Level	10% Value	5% Value (5%)	Decision
Shapiro-Wilk W	0,98175	0,4731562			Can't reject
Anderson-Darling	0,2838653	0,6319275			Can't reject
Martinez-Iglewicz	0,9329951		1,0768	1,1185	Can't reject
Kolmogorov-Smirnov	5,498509E-02		0,102	0,111	Can't reject

## Výška postavy ženy v průběhu staletí

D'Agostino Skewness	-0,1993618	0,8419797	1.645	1.960	Can't reject
D'Agostino Kurtosis	-1,7206	0,085330	1.645	1.960	Can't reject
D'Agostino Omnibus	3,0001	0,223121	4.605	5.991	Can't reject

V tab. č. 57 jsem jsem na 5% hladině α nezamítla normalitu. Dosažená hladina testu  $p<0,05$ , proto tuto hypotézu nezamítám.

Tab. č. 58: Tabulka testu normality pro FEMUR – skupina č. 13

### Normality Test Section of VYSKA\_FEM when SKUPINA=13

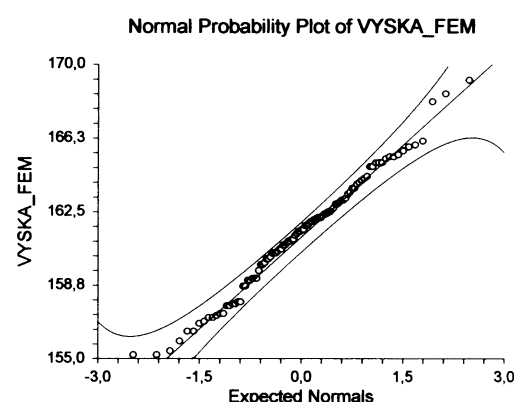
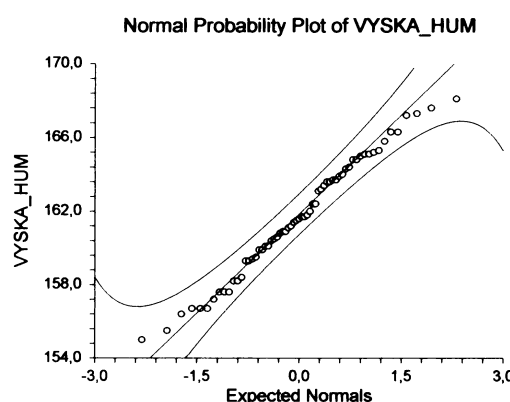
Test Name	Test Value	Prob Level	10% Value	5% Value	Decision (5%)
Shapiro-Wilk W	0,9873128	0,4589969			Can't reject
Anderson-Darling	0,3122358	0,5502144			Can't reject
Martinez-Iglewicz	0,9634044		1,0512	1,0796	Can't reject
Kolmogorov-Smirnov	6,433424E-02		0,081	0,088	Can't reject
D'Agostino Skewness	0,1815363	0,8559466	1.645	1.960	Can't reject
D'Agostino Kurtosis	-0,4801	0,631173	1.645	1.960	Can't reject
D'Agostino Omnibus	0,2634	0,876591	4.605	5.991	Can't reject

V tab. č. 58 jsem na 5% hladině α nezamítla normalitu. Dosažená hladina testu  $p<0,05$ , proto tuto hypotézu nezamítám.

Graf č. 42: Diagram normality skupiny č. 13

A) HUMERUS

B) FEMUR



## Výška postavy ženy v průběhu staletí

### 3.1.14 současnost

*Tab. č. 59: Přehled základních charakteristik pro výšku podle HUMERU ve skupině č. 14*

počet	průměr	medián	stand. odchylka	stand. chyba	minimum	maximum	rozpětí
52	163,5731	163,7	2,851839	0,395479	157,3	170,3	13

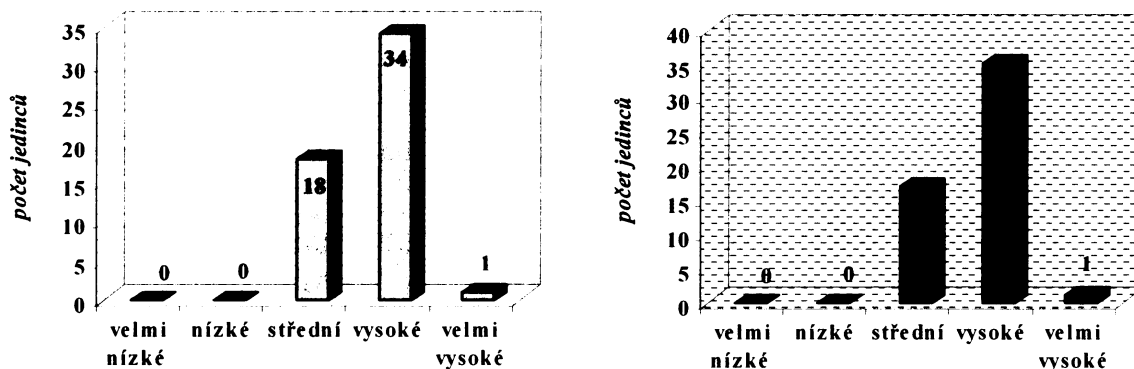
*Tab. č. 60: Přehled základních charakteristik pro výšku podle FEMURU ve skupině č. 14*

počet	průměr	medián	směr. odchylka	stand. chyba	minimum	maximum	rozpětí
52	163,54	163,60	2,907472	0,403194	157,2	169,9	12,7

*Graf č. 43: Rozdělení jedinců skupiny č. 14 do oddělení podle velikosti*

*A) HUMERUS*

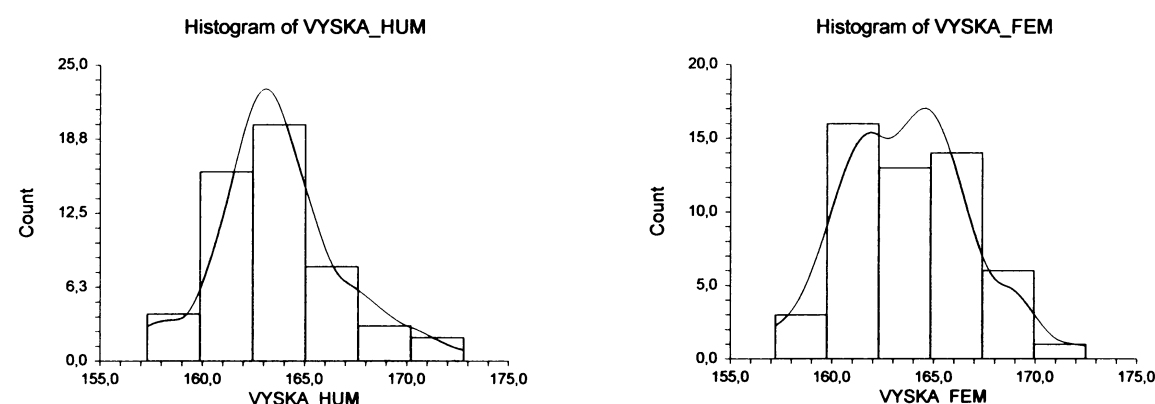
*B) FEMUR*



*Graf č. 44: Histogram rozdělení jedinců podle výšek ve skupině č. 14*

*A) HUMERUS*

*B) FEMUR*



## Výška postavy ženy v průběhu staletí

*Tab. č. 61: Tabulka testu normality pro HUMERUS – skupina č. 14*

### Normality Test Section of VYSKA\_HUM when SKUPINA=14

<b>Test Name</b>	<b>Test Value</b>	<b>Prob Level</b>	<b>10% Value</b>	<b>5% Value</b>	<b>Decision (5%)</b>
Shapiro-Wilk W	0,9517018	3,186223E-02			Reject norm.
Anderson-Darling	1,104685	6,803988E-03			Reject norm.
Martinez-Iglewicz	1,132951		1,0894	1,138	Can't reject
Kolmogorov-Smirnov	0,1716092		0,111	0,121	Reject norm.
D'Agostino Skewness	1,595732	0,1105487	1,645	1,960	Can't reject
D'Agostino Kurtosis	1,4390	0,150153	1,645	1,960	Can't reject
D'Agostino Omnibus	4,6171	0,099408	4,605	5,991	Can't reject

V tab. č. 61 jsem na 5% hladině α zamítla normalitu. Dosažená hladina testu  $p>0,05$ , proto tuto hypotézu zamítám.

*Tab. č. 62: Tabulka testu normality pro FEMUR – skupina č. 14*

### Normality Test Section of VYSKA\_FEM when SKUPINA=14

<b>Test Name</b>	<b>Test Value</b>	<b>Prob Level</b>	<b>10% Value</b>	<b>5% Value</b>	<b>Decision (5%)</b>
Shapiro-Wilk W	0,9799341	0,5102007			Can't reject
Anderson-Darling	0,4057816	0,3513866			Can't reject
Martinez-Iglewicz	1,006691		1,0894	1,138	Can't reject
Kolmogorov-Smirnov	0,1113575		0,111	0,121	Can't reject
D'Agostino Skewness	1,077029	0,2814675	1,645	1,960	Can't reject
D'Agostino Kurtosis	0,5736	0,566208	1,645	1,960	Can't reject
D'Agostino Omnibus	1,4891	0,474958	4,605	5,991	Can't reject

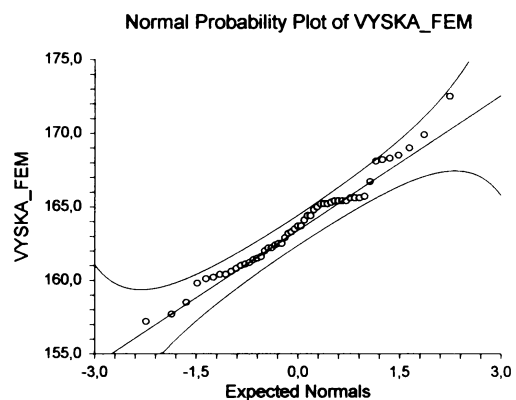
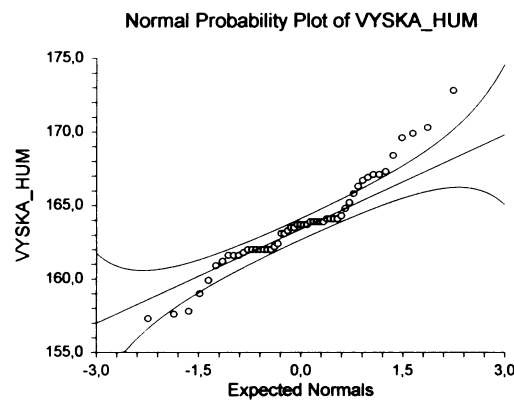
V tab. č. 62 jsem na 5% hladině α nezamítla normalitu. Dosažená hladina testu  $p<0,05$ , proto tuto hypotézu nezamítám.

## Výška postavy ženy v průběhu staletí

Graf č. 45: Diagram normality skupiny č. 1

A) HUMERUS

B) FEMUR



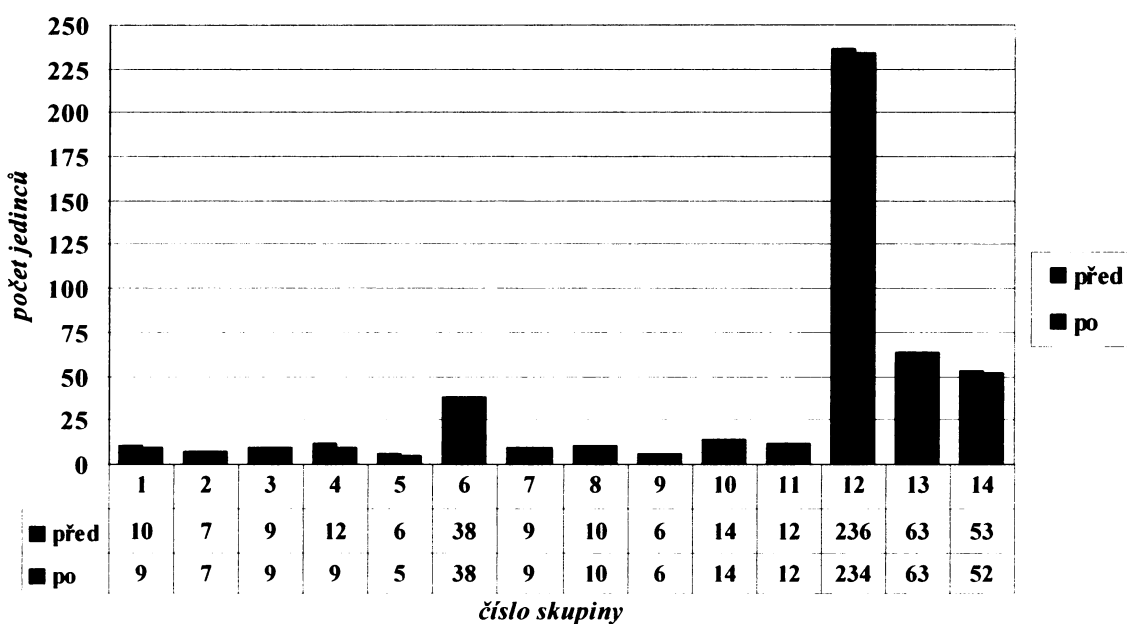
## Výška postavy ženy v průběhu staletí

### 3.2 Celkové vyhodnocení

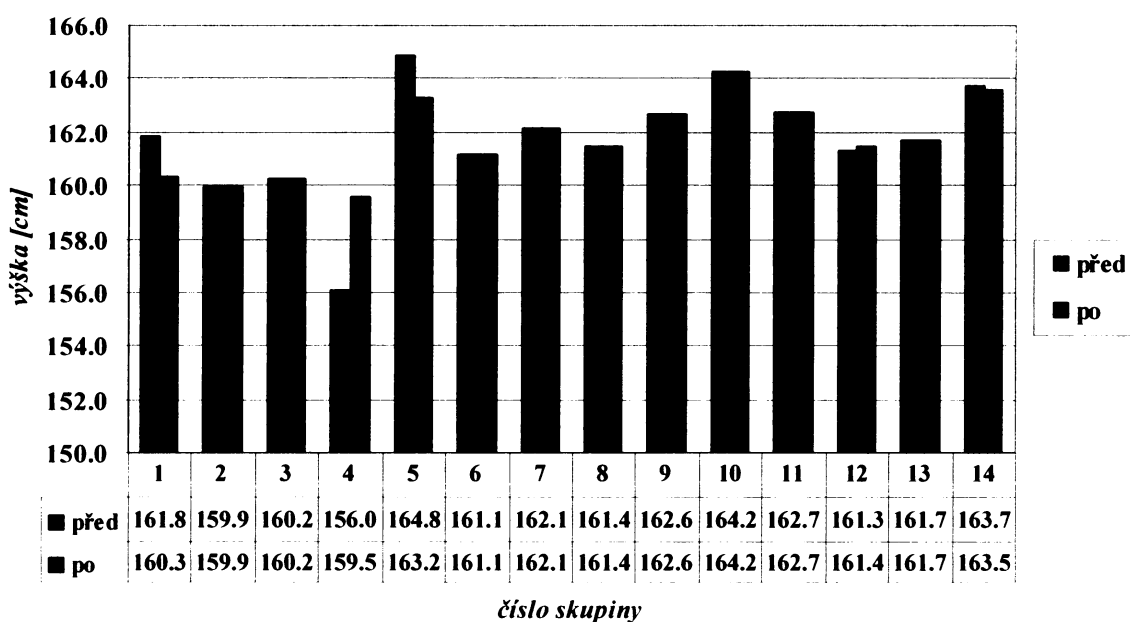
#### 3.2.1 HUMERUS

##### 3.2.1.1 Popisné charakteristiky

*Graf č. 46: Srovnání počtu jedinců před a po vyjmutí odlehlych pozorování*

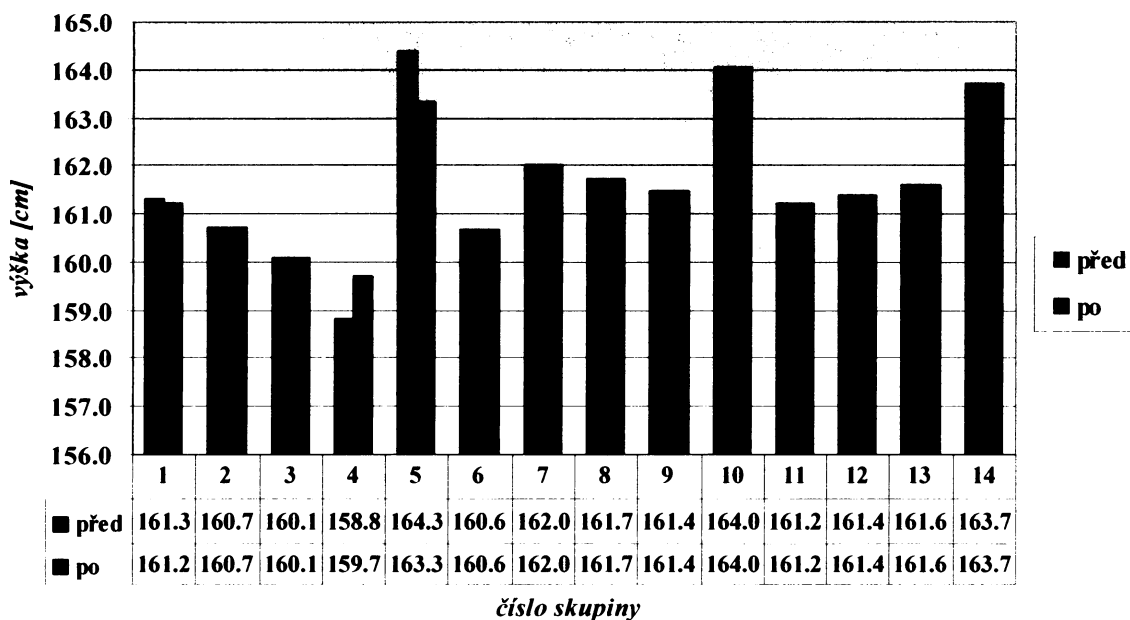


*Graf č. 47: Srovnání průměrů skupin před a po vyjmutí odlehlych pozorování*

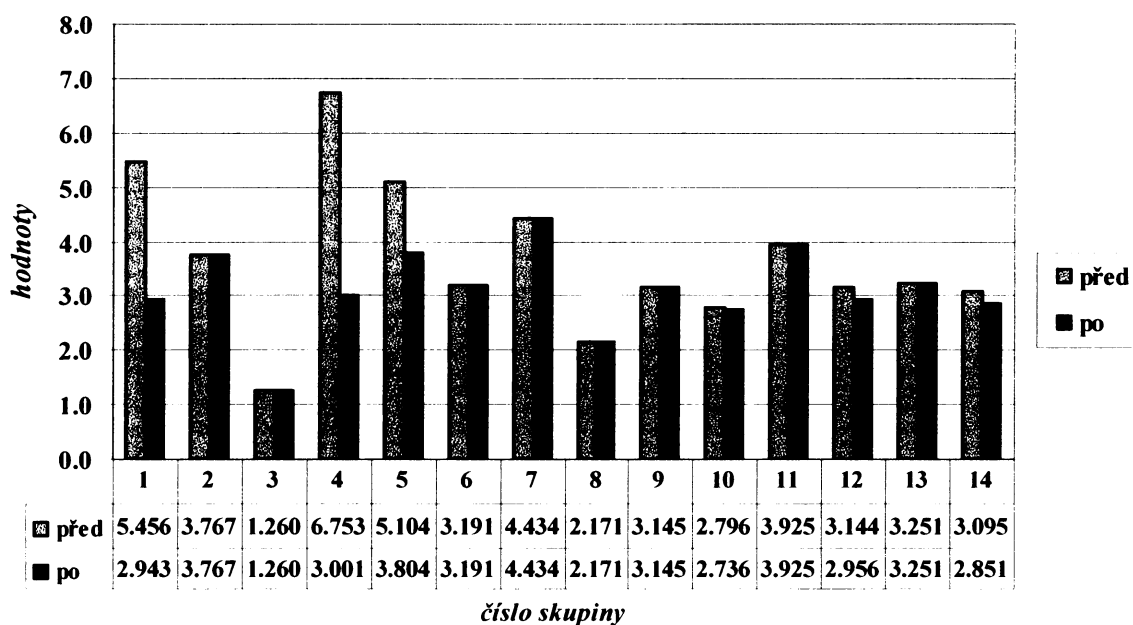


## Výška postavy ženy v průběhu staletí

Graf č. 48: Srovnání mediánů skupin před a po vyjmutí odlehlych pozorování

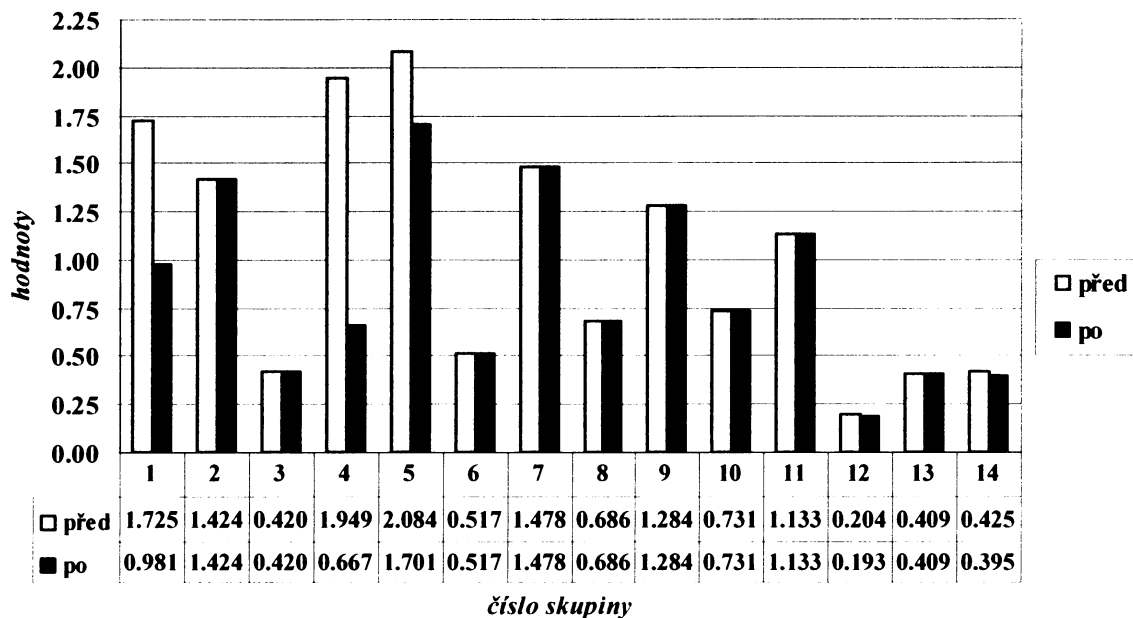


Graf č. 49: Srovnání standardní odchylky skupin před a po vyjmutí odlehlych pozorování



## Výška postavy ženy v průběhu staletí

Graf č. 50: Srovnání standardní chyby skupin před a po vyjmutí odlehlych pozorování



Tab. č. 63: Srovnání minimálních (A) a maximálních (B) hodnot před a po vyjmutí odlehlych pozorování

A)

Číslo skupiny	Hodnoty (před)	Hodnoty (po)
1	155.3	155.3
2	153.7	153.7
3	158.6	158.6
4	141.2	156.5
5	159.0	159.0
6	156.3	156.3
7	154.8	154.8
8	156.9	156.9
9	159.0	159.0
10	158.6	158.6
11	157.8	157.8
12	149.3	152.9
13	155.0	155.0
14	157.3	157.3
Celkové minimum	141.2	152.9

B)

Číslo skupiny	Hodnoty (před)	Hodnoty (po)
1	175.2	163.5
2	165.2	165.2
3	163.1	163.1
4	162.4	162.4
5	172.6	168.4
6	171.3	171.3
7	170.5	170.5
8	164.9	164.9
9	167.2	167.2
10	170.0	170.0
11	168.8	168.8
12	170.1	170.1
13	168.1	168.1
14	172.8	170.3
Celkové maximum	175.2	171.3

## Výška postavy ženy v průběhu staletí

*Tab. č. 64. Srovnání rozsahů skupin před a po vyjmutí odlehlych pozorovanií*

Číslo skupiny	Hodnoty (před)	Hodnoty (po)
<b>1</b>	19.9	8.2
<b>2</b>	11.5	11.5
<b>3</b>	4.5	4.5
<b>4</b>	21.2	5.9
<b>5</b>	13.6	9.4
<b>6</b>	15.0	15.0
<b>7</b>	15.7	15.7
<b>8</b>	8.0	8.0
<b>9</b>	8.2	8.2
<b>10</b>	11.4	11.4
<b>11</b>	11.0	11.0
<b>12</b>	20.8	17.2
<b>13</b>	13.1	13.1
<b>14</b>	15.5	13.0
<b>Celkový rozsah</b>	<b>34.0</b>	<b>18.4</b>

### 3.2.1.2 Vyloučení odlehlych pozorovanií

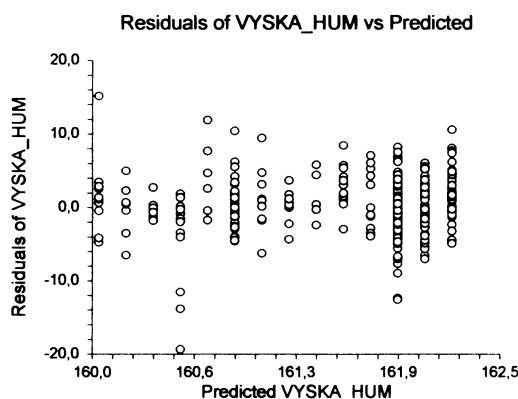
Vyloučení odehlých pozorování jsem provedla přímo v souboru programu NCSS 97. Zde tedy uvádím pouze grafické zpracování reziduií.

*Tab. č. 65: Tabulka odlehlych pozorovanií pro jednotlivé skupiny*

číslo skupiny	<b>1</b>	<b>2</b>	<b>3</b>	<b>4</b>	<b>5</b>	<b>6</b>	<b>7</b>	<b>8</b>	<b>9</b>	<b>10</b>	<b>11</b>	<b>12</b>	<b>13</b>	<b>14</b>
hodnota	1	0	0	3	1	0	0	0	0	0	0	2	0	1

## Výška postavy ženy v průběhu staletí

Graf č. 51: Rezidua výšky postavy podle humeru



### 3.2.1.3 Ověření hypotézy

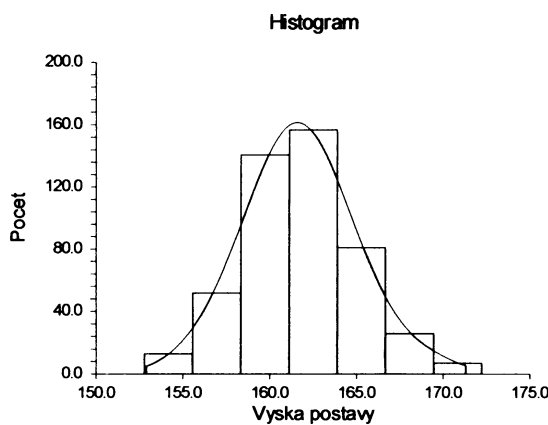
#### OVĚŘENÍ NORMALITY:

Tab. č. 66: Ověření normality

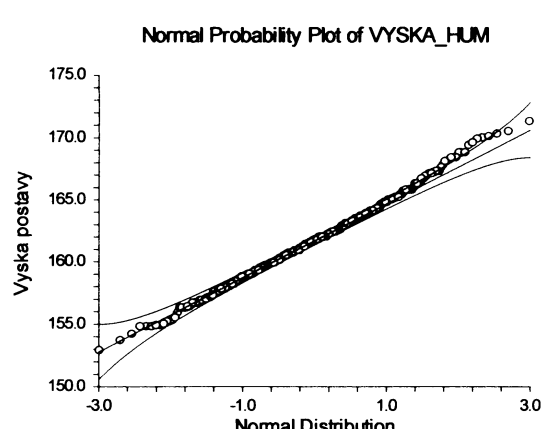
##### Normality Tests Section

Test	Test	Prob	Reject H0
Name	Value	Level	At Alpha = 20%?
Shapiro Wilk	0,9672	0,000000	Yes
Anderson Darling	2,2726	0,000009	Yes
D'Agostino Skewness	-2,3103	0,020873	Yes
D'Agostino Kurtosis	6,4328	0,000000	Yes
D'Agostino Omnibus	46,7184	0,000000	Yes

Graf č. 52: Histogram



Graf č. 53: Diagram normality



## Výška postavy ženy v průběhu staletí

### KRUSKAL-WALLISŮV TEST:

*Tab. č. 67: Kruskal-Wallisův test*

Kruskal-Wallis One-Way ANOVA on Ranks

Hypotheses

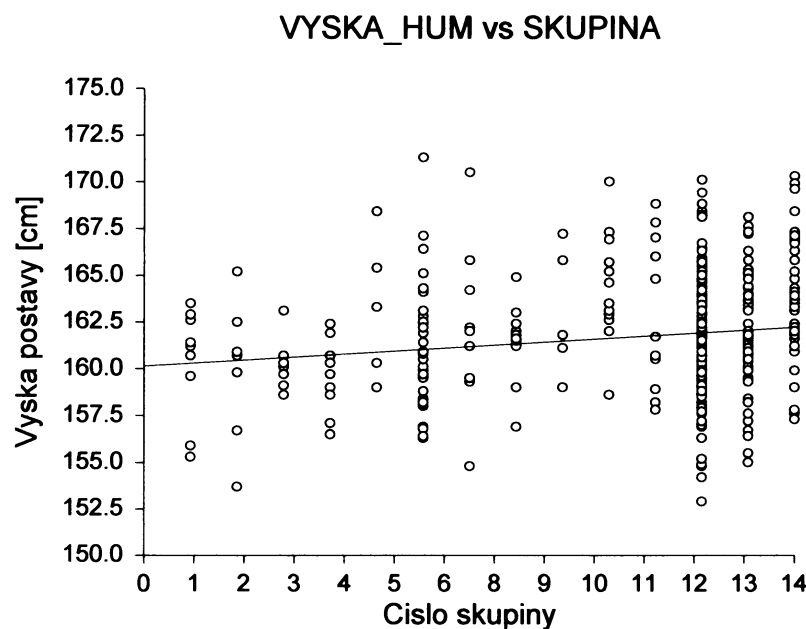
Ho: All medians are equal.

Ha: At least two medians are different.

#### Test Results

Method	DF	Chi-Square (H)	Prob Level	Decision(0.05)
Not Corrected for Ties	13	45.56859	0.000017	Reject Ho
Corrected for Ties	13	45.58186	0.000017	Reject Ho
Number Sets of Ties	89			
Multiplicity Factor	31608			

*Graf č. 54: Graf závislosti výšky postavy podle humeru na čísle skupiny*



## Výška postavy ženy v průběhu staletí

Run Summary Section			
Parameter	Value	Parameter	Value
Dependent Variable	VYSKA_HUM	Rows Processed	732
Independent Variable	SKUPINA	Rows Used in Estimation	477
Frequency Variable	None	Rows with X Missing	0
Weight Variable	None	Rows with Freq Missing	0
Intercept	160.1452	Rows Prediction Only	247
Slope	0.1476	Sum of Frequencies	477
R-Squared	0.0224	Sum of Weights	477.0000
Correlation	0.1496	Coefficient of Variation	0.0192
Mean Square Error	9.662545	Square Root of MSE	3.108464

### SHRNUTÍ:

Rovnice regresní přímky vztahující se k výšce postavy (proměnná y) a číslu skupiny (proměnná x) je odhadována takto: „výška postavy = (160,1452) + (0,1476) číslo skupiny“, což plyne ze 477 pozorování v celém souboru dat. Průsečík s osou y, neboli odhad hodnoty „výška postavy“ v případě, že číslo skupiny je rovno 0, se rovná číslu 160,1452 se standardní (střední) chybou 0,5048. Sklon přímky, neboli odhad změny výšky postavy na změnu jednotky čísla skupiny, je roven 0,1476 se standardní (střední) chybou rovnou číslu 0,0447.

Hodnota  $R^2$ , poměr změny ve „výšce postavy“, který je vypočitatelný pomocí změny v „čísle skupiny“, se rovná číslu 0,0224. Korelace mezi „výška postavy“ a „číslo skupiny“ je 0,1496.

Nemohu použít Analýzu rozptylu jednoduchého třídění, ale Kruskal-Wallisův test, který nevyžaduje platnost normality. Hladina významnosti tohoto testu je 0,0010. Protože  $0,0010 < 0,0500$ , je hypotéza  $H_0$  zamítnuta. Mohu tedy konstatovat, že na hladině  $\alpha = 0,05$  zamítám hypotézu  $H_0$ , že mediány všech skupin jsou stejné.

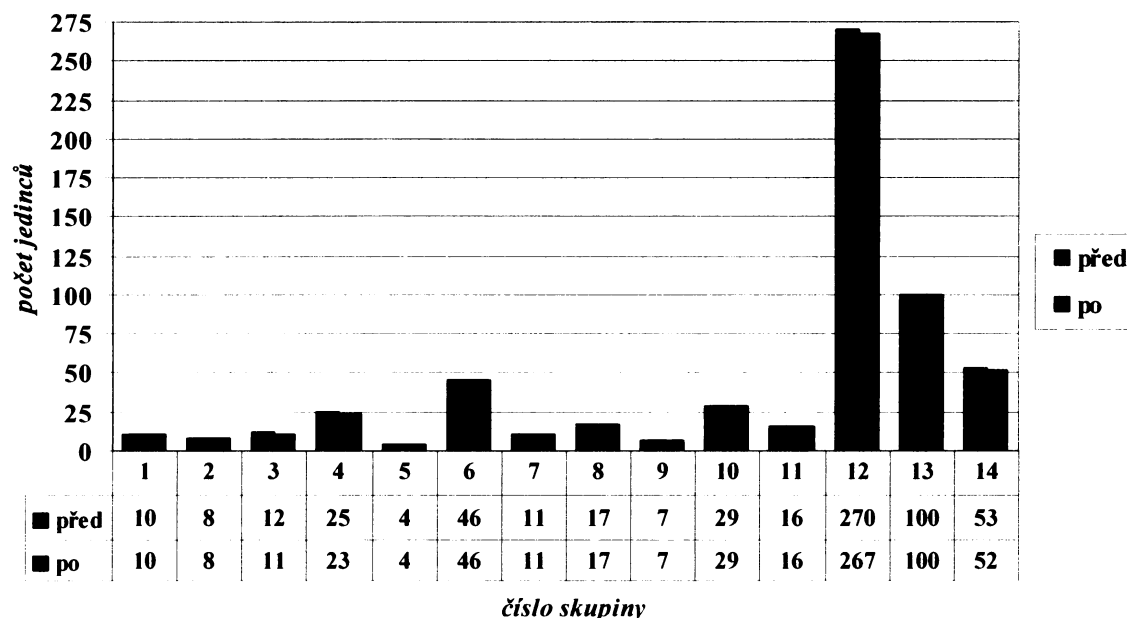
Přiložený graf (graf č. 54) závislosti výšky postavy na čísle skupiny graficky znázorňuje růst výšky postavy ženy podle humeru v průběhu všech dob.

## Výška postavy ženy v průběhu staletí

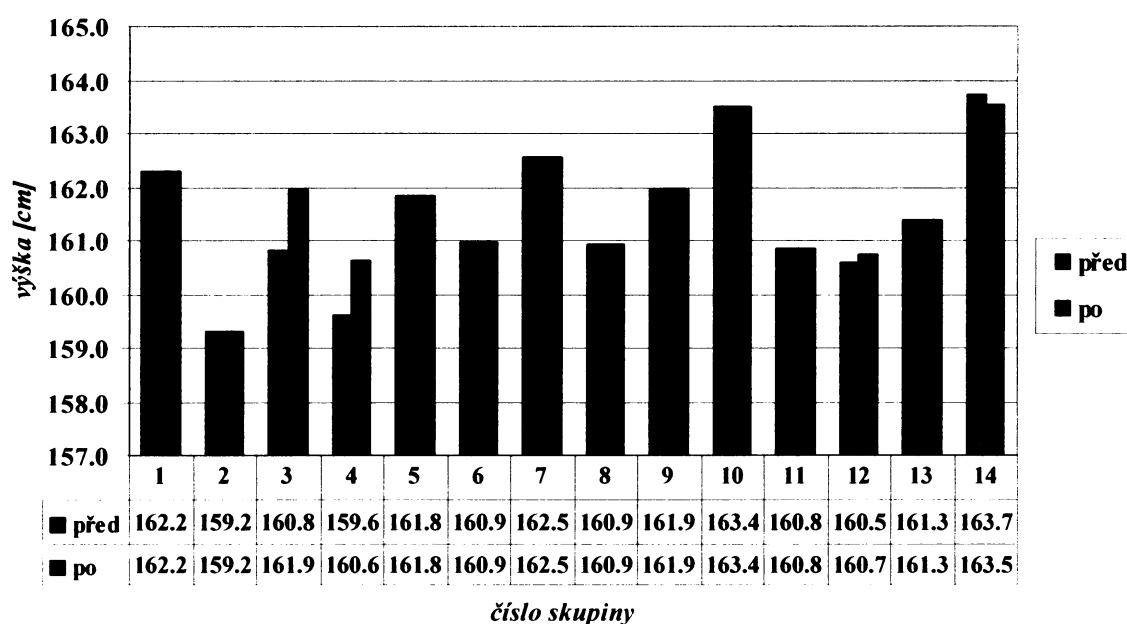
### 3.2.2. FEMUR

#### 3.2.2.1 Popisné charakteristiky

*Graf č. 55: Srovnání počtu jedinců před a po vyjmutí odlehlych pozorování*

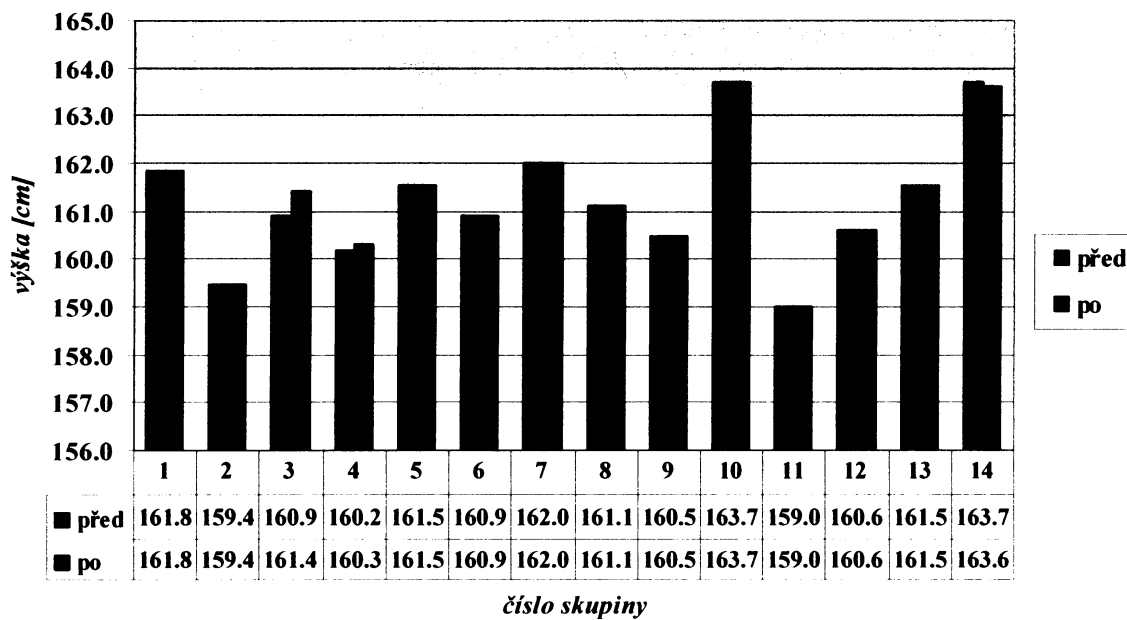


*Graf č. 56: Srovnání průměrů skupin před a po vyjmutí odlehlych pozorování*

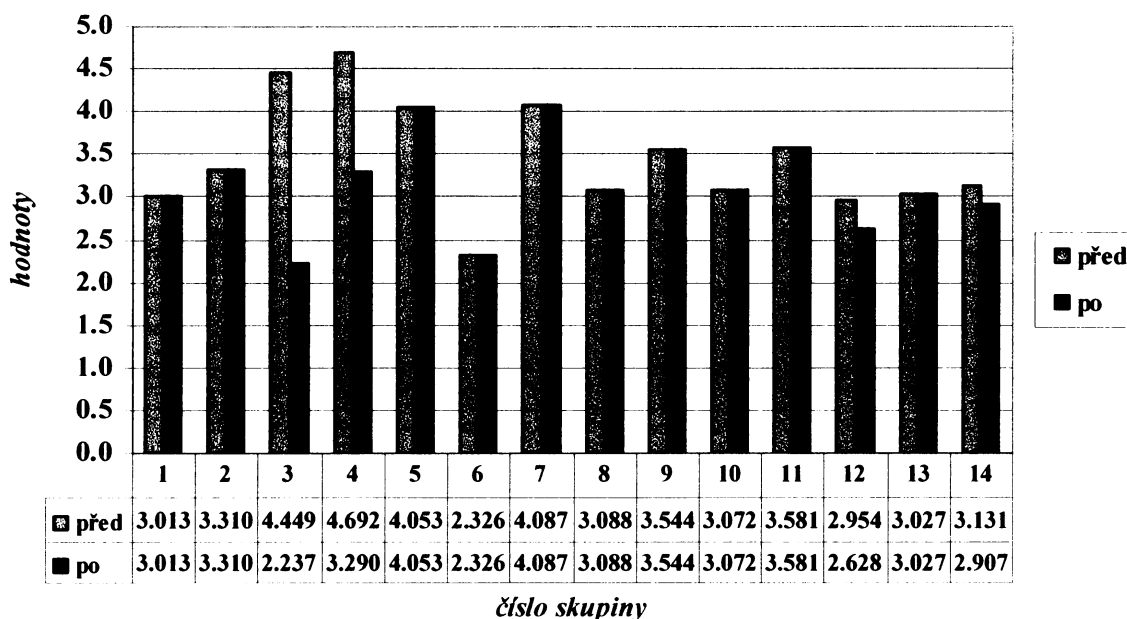


## Výška postavy ženy v průběhu staletí

Graf č. 57: Srovnání mediánů skupin před a po vyjmutí odlehlych pozorování

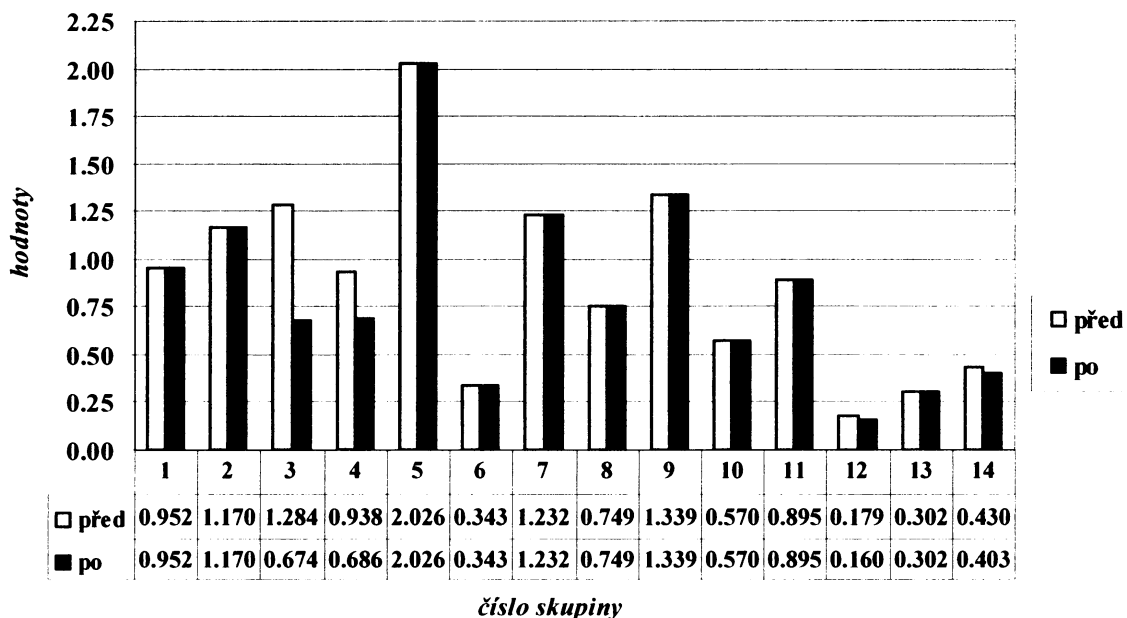


Graf č. 58: Srovnání standardní odchylky skupin před a po vyjmutí odlehlych pozorování



## Výška postavy ženy v průběhu staletí

Graf č. 59: Srovnání standardní chyby skupin před a po vyjmutí odlehlych pozorování



Tab. č. 68: Srovnání minimálních (A) a maximálních (B) hodnot před a po vyjmutí odlehlych pozorování

A)

Číslo skupiny	Hodnoty (před)	Hodnoty (po)
1	157.6	157.6
2	153.0	153.0
3	148.4	159.8
4	147.0	153.6
5	157.8	157.8
6	156.1	156.1
7	158.2	158.2
8	156.7	156.7
9	158.3	158.3
10	157.7	157.7
11	156.5	156.5
12	146.4	152.6
13	155.2	155.2
14	157.2	157.2
Celkové minimum	146.4	152.6

B)

Číslo skupiny	Hodnoty (před)	Hodnoty (po)
1	166.2	166.2
2	164.5	164.5
3	167.4	167.4
4	165.6	165.6
5	166.4	166.4
6	165.0	165.0
7	169.9	169.9
8	168.3	168.3
9	169.3	169.3
10	169.8	169.8
11	166.4	166.4
12	169.2	169.2
13	169.2	169.2
14	172.5	169.9
Celkové maximum	172.5	169.9

## Výška postavy ženy v průběhu staletí

*Tab. č. 69. Srovnání rozsahů skupin před a po vyjmutí odlehlých pozorování:*

Číslo skupiny	Hodnoty (před)	Hodnoty (po)
<b>1</b>	<b>8.6</b>	<b>8.6</b>
<b>2</b>	<b>11.5</b>	<b>11.5</b>
<b>3</b>	<b>19.0</b>	<b>7.6</b>
<b>4</b>	<b>18.6</b>	<b>12.0</b>
<b>5</b>	<b>8.6</b>	<b>8.6</b>
<b>6</b>	<b>8.9</b>	<b>8.9</b>
<b>7</b>	<b>11.7</b>	<b>11.7</b>
<b>8</b>	<b>11.6</b>	<b>11.6</b>
<b>9</b>	<b>11.0</b>	<b>11.0</b>
<b>10</b>	<b>12.1</b>	<b>12.1</b>
<b>11</b>	<b>9.9</b>	<b>9.9</b>
<b>12</b>	<b>22.8</b>	<b>16.6</b>
<b>13</b>	<b>14.0</b>	<b>14.0</b>
<b>14</b>	<b>15.3</b>	<b>12.7</b>
<b>Celkový rozsah</b>	<b>26.1</b>	<b>17.3</b>

### 3.2.2.2 Vyloučení odlehlých pozorování

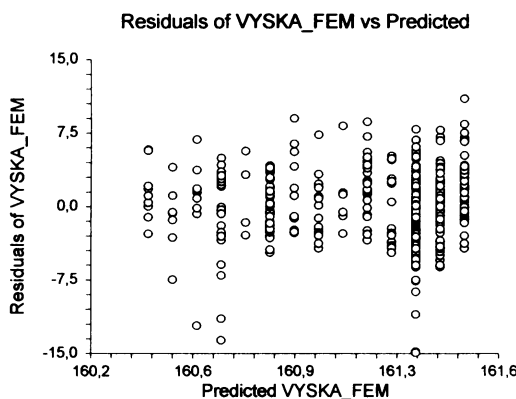
Vyloučení odlehlých pozorování jsem provedla přímo v souboru programu NCSS 97. Zde tedy uvádím pouze grafické zpracování reziduí.

*Tab. č. 70: Tabulka odlehlých pozorování pro jednotlivé skupiny*

číslo skupiny	<b>1</b>	<b>2</b>	<b>3</b>	<b>4</b>	<b>5</b>	<b>6</b>	<b>7</b>	<b>8</b>	<b>9</b>	<b>10</b>	<b>11</b>	<b>12</b>	<b>13</b>	<b>14</b>
hodnota	0	0	1	2	0	0	0	0	0	0	0	3	0	1

## Výška postavy ženy v průběhu staletí

Graf č. 60 : Rezidua výšky postavy podle femuru



### 3.2.2.3 Ověření hypotézy

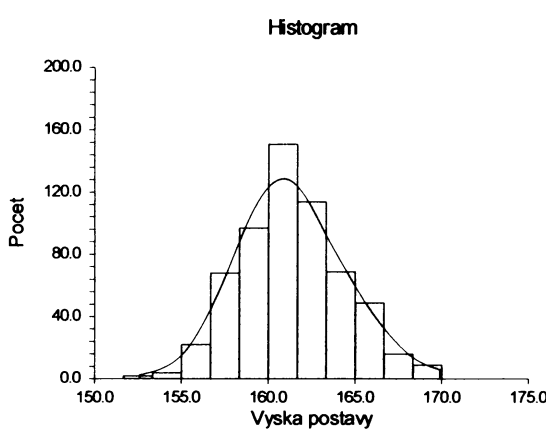
#### OVĚŘENÍ NORMALITY:

Tab. č. 71: Ověření normality

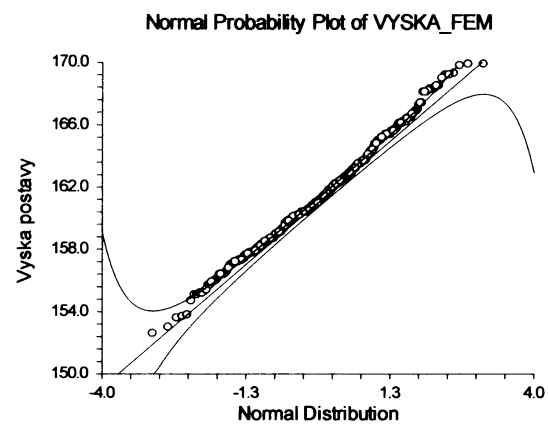
##### Normality Tests Section

Test Name	Test Value	Prob Level	Reject H0 At Alpha = 20%?
Shapiro Wilk	0,9756	0,000000	Yes
Anderson Darling	1,9589	0,000054	Yes
D'Agostino Skewness	-3,2258	0,001256	Yes
D'Agostino Kurtosis	5,6095	0,000000	Yes
D'Agostino Omnibus	41,8728	0,000000	Yes

Graf č. 61: Histogram



Graf č. 62: Diagram normality



## Výška postavy ženy v průběhu staletí

### KRUSKAL-WALLISŮV TEST:

Tab. č. 72: Kruskal-Wallisův test

Kruskal-Wallis One-Way ANOVA on Ranks

Hypotheses

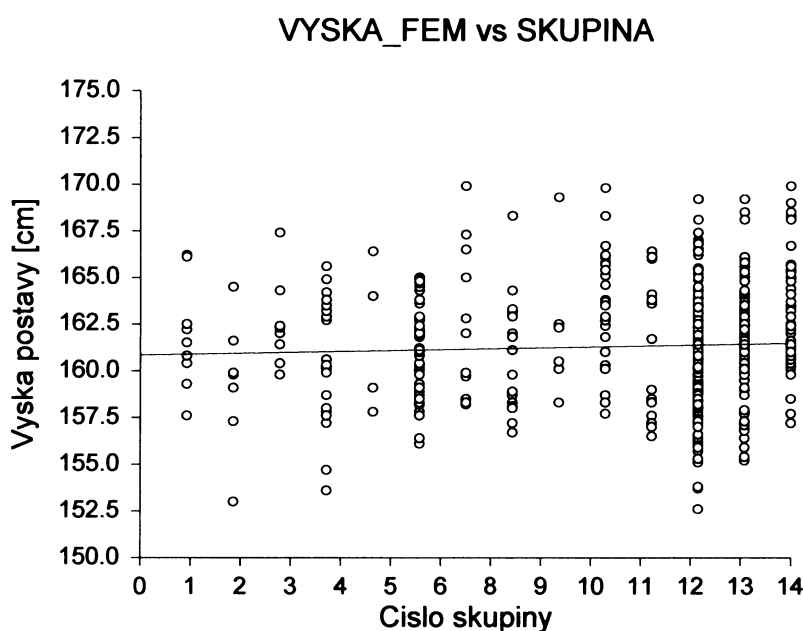
Ho: All medians are equal.

Ha: At least two medians are different.

Test Results

Method	DF	Chi-Square (H)	Prob Level	Decision(0.05)
Not Corrected for Ties	13	56.33457	0.000000	Reject Ho
Corrected for Ties	13	56.34822	0.000000	Reject Ho
Number Sets of Ties	97			
Multiplicity Factor	52590			

Graf č. 63: Graf závislosti výšky postavy podle femuru na čísle skupiny



## Výška postavy ženy v průběhu staletí

### SHRNUTÍ:

Rovnice regresní přímky vztahující se k výšce postavy (proměnná y) a číslu skupiny (proměnná x) je odhadována takto: „výška postavy = (160,8429) + (0,444) číslo skupiny“, což plyne ze 601 pozorování v celém souboru dat. Průsečík s osou y, neboli odhad hodnoty „výška postavy“ v případě, že číslo skupiny je rovno 0, se rovná číslu 160,8429 se standardní (střední) chybou 0,4216. Sklon přímky, neboli odhad změny výšky postavy na změnu jednotky čísla skupiny, je roven 0,0444 se standardní (střední) chybou rovnou číslu 0,0378.

Hodnota  $R^2$ , poměr změny ve „výšce postavy“, který je vypočitatelný pomocí změny v „čísle skupiny“, se rovná číslu 0,0023. Korelace mezi „výška postavy“ a „číslo skupiny“ je 0,0479.

Nemohu použít Analýzu rozptylu jednoduchého třídění, ale Kruskal-Wallisův test, který nevyžaduje platnost normality. Hladina významnosti tohoto testu je 0,0010. Protože  $0,0010 < 0,0500$ , je hypotéza  $H_0$  zamítnuta. Mohu tedy konstatovat, že na hladině  $\alpha = 0,05$  zamítám hypotézu  $H_0$ , že mediány všech skupin jsou stejné.

Přiložený graf (graf č. 63) závislosti výšky postavy na čísle skupiny graficky znázorňuje růst výšky postavy ženy podle femuru v průběhu všech dob.

## Výška postavy ženy v průběhu staletí

### 3.3 Celkové porovnání mužů a žen

*Tab. č. 73: Porovnání počtu naměřených hodnot jednotlivých skupin u žen a u mužů*

*A) HUMERUS*

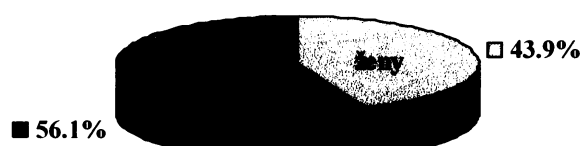
Číslo skupiny	Ženy	Muži
1	9	11
2	7	4
3	9	28
4	9	27
5	5	6
6	38	74
7	9	10
8	10	20
9	6	14
10	14	30
11	12	14
12	234	163
13	63	103
14	52	106
<b>Celkem</b>	<b>477</b>	<b>610</b>

*B) FEMUR*

Číslo skupiny	Ženy	Muži
1	10	8
2	8	8
3	11	25
4	23	41
5	4	13
6	46	86
7	11	10
8	17	43
9	7	16
10	29	40
11	16	22
12	267	179
13	100	146
14	52	107
<b>Celkem</b>	<b>601</b>	<b>744</b>

*Graf č. 64: Porovnání počtu všech naměřených kostí u žen a mužů*

*A) HUMERUS*



*B) FEMUR*



## Výška postavy ženy v průběhu staletí

*Tab. č. 74: Porovnání průměrů jednotlivých skupin u žen a u mužů*

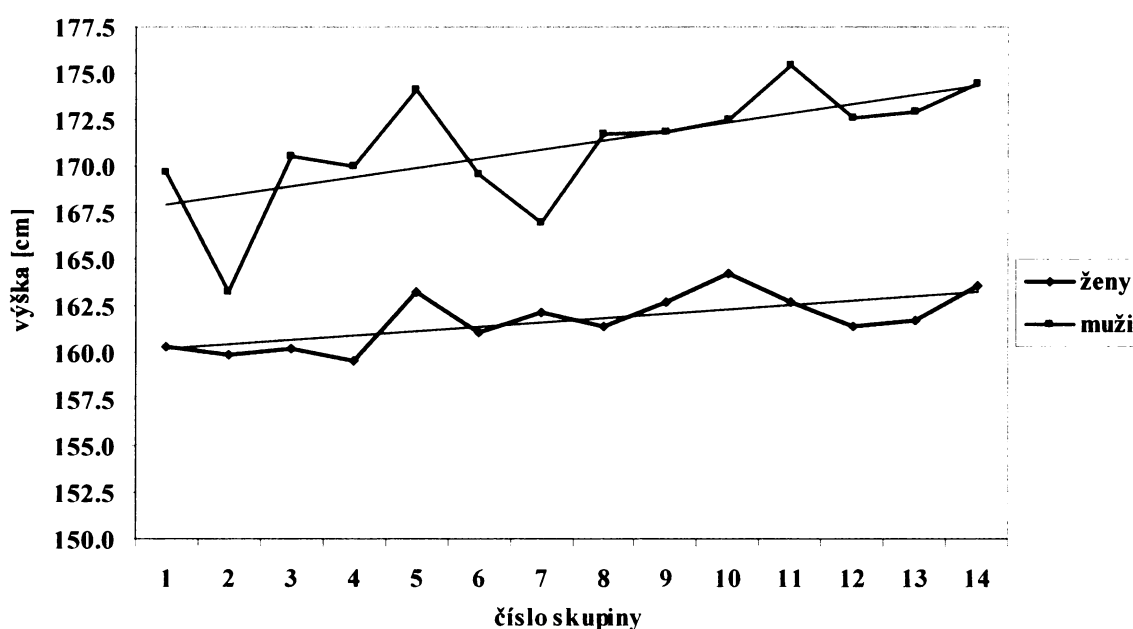
*A) HUMERUS*

Číslo skupiny	Ženy	Muži
1	160.34	169.73
2	159.93	163.28
3	160.20	170.57
4	159.58	170.05
5	163.28	174.15
6	161.13	169.53
7	162.17	166.99
8	161.43	171.74
9	162.67	171.89
10	164.29	172.52
11	162.74	175.44
12	161.43	172.59
13	161.70	172.92
14	163.57	174.46
Celkem	<b>161.7</b>	<b>172.2</b>

*B) FEMUR*

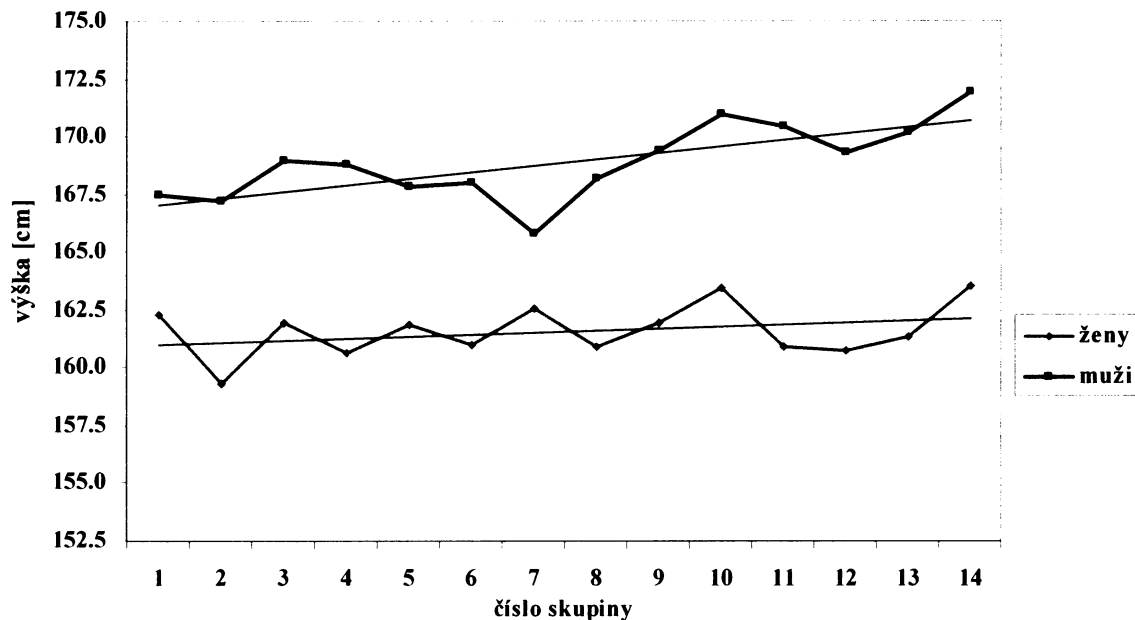
Číslo skupiny	Ženy	Muži
1	162.27	167.51
2	159.29	167.23
3	161.9	168.94
4	160.61	168.78
5	161.83	167.84
6	160.96	167.97
7	162.55	165.85
8	160.92	168.1
9	161.93	169.39
10	163.49	170.98
11	160.86	170.45
12	160.73	169.32
13	161.37	170.22
14	163.5	171.90
Celkem	<b>161.3</b>	<b>169.6</b>

*Graf č. 65: Grafické srovnání průměrů výšek podle humeru u žen a mužů*



## Výška postavy ženy v průběhu staletí

Graf č. 66: Grafické srovnání průměrů výšek podle femuru u žen a mužů



Tab. č. 75 : HUMERUS (průměrná výška postavy)

### Analysis of Variance Table for VYSKA\_HUM

Source	DF	Sum of Squares	Mean Square	F-Ratio	Prob Level (Alpha=0.05)	Power
Term						
A: SKUPINA	13	2178.713	167.5933	8.44	0.000000*	1.000000
B: POHLAVI	1	8476.538	8476.538	426.70	0.000000*	1.000000
AB	13	532.3835	40.95258	2.06	0.014081*	0.949806
S	1074	21335.37	19.86533			
Total (Adjusted)	1101	53694.7				
Total	1102					

\* Term significant at alpha = 0.05

Tab. č. 76: FEMUR (průměrná výška postavy)

### Analysis of Variance Table for VYSKA\_FEM

Source	DF	Sum of Squares	Mean Square	F-Ratio	Prob Level (Alpha=0.05)	Power
Term						
A: SKUPINA	13	1592.567	122.5051	8.92	0.000000*	1.000000
B: POHLAVI	1	6187.074	6187.074	450.50	0.000000*	1.000000
AB	13	323.0303	24.84849	1.81	0.036998*	0.913400
S	1328	18238.49	13.73381			
Total (Adjusted)	1355	43576.73				
Total	1356					

\* Term significant at alpha = 0.05

## SHRNUTÍ:

Porovnání naměřených hodnot pro muže a pro ženy přineslo několi závěrů. Z tab. č. 73 a následného grafu č. 64 je vidět, že se více naměřených hodnot vyskytuje u mužů. A to jak pro humerus, tak pro femur.

V tab. č. 74 v grafech č. 65 a č. 66 můžeme vidět rozdíl spočtených průměrů výšek postav mezi ženami a muži v jednotlivých skupinách. Průměry jak výšek podle humeru, tak výšek podle femuru, jsou mnohem vyšší u mužů než u žen. Tyto grafy vyjadřují závislost průměrné výšky postavy na skupině u mužů (dole) a žen (nahoře). Graf č. 65 pro výšku spočtenou podle humeru, graf č. 66 pro výšku spočtenou podle femuru. Průměrné výšky u mužů více kolísají než u žen, ty jsou trochu více stabilní.

Poslední srovnání mezi ženami a muži vyjadřují tabulky č. 75 a č. 76 a to v pořadí nejdříve pro humerus a poté pro femur. Tyto tabulky ukazují, zda jsou faktor doba a faktor pohlaví statisticky významné pro průměrnou výšku postavy. V tabulkách si všimneme především sloupce Prob Level. Jestliže nejdříve určíme F-ratio pro interakce (AB) jako  $\geq$  p-hodnotě pro AB, pak interakce AB mají vliv a sledované faktory se ve svých účincích navzájem ovlivňují. V našich obou případech (pro humerus i pro femur) jsou p-hodnoty malé (menší než F-ratio), z toho plyne statistická významnost na hladině alfa, která je rovna 5%.

### 3.4 Spolehlivost měření

Ke zjištění spolehlivosti měření jsem opětovně naměřila 30 vzorků kosti pažní a 30 vzorků kosti stehenní.

*Tab. č. 77 : Tabulka původních a nově naměřených hodnot (v mm)*

femur			humerus		
původní hodnota	nová hodnota	rozdíl	původní hodnota	nová hodnota	rozdíl
407	404	3	284	287	3
420	420	0	304	305	1
426	428	2	306	305	1
430	431	1	314	312	2
439	437	2	315	313	2
447	446	1	280	278	2
321	320	1	297	296	1
496	499	3	301	300	1
418	417	1	302	300	2
406	405	1	302	302	0
422	422	0	304	301	3
432	432	0	308	308	0
433	434	1	308	313	5
434	434	0	312	310	2
437	437	0	315	314	1
438	439	1	315	314	1
478	475	3	331	329	2
440	440	0	319	314	5
451	450	1	320	319	1
465	459	4	291	289	2
455	455	0	322	320	2
458	458	0	322	321	1
461	461	0	322	323	1
416	417	1	301	300	1
473	473	0	324	323	1
426	425	1	304	304	0
474	475	1	327	326	1
476	473	3	328	328	0
418	420	2	289	288	1
490	489	1	332	330	2

## Výška postavy ženy v průběhu staletí

Vypracování:

V programu NCSS 97 jsem spočetla biologický rozptyl pro všechny naměřené údaje. Poté jsem spočetla chybový rozptyl pro hodnoty naměřené při druhém kontrolním měření. Podle vzorce uvedeného na str. 36.

a) femur:      biologický rozptyl:       $s_{bi}^2 = 620,51$   
                      chybový rozptyl:       $s_{ch}^2 = 1.266667$   
                      **koeficient reliability:**      **R = 0,9979**

b) humerus:      biologický rozptyl:       $s_{bi}^2 = 319,45$   
                      chybový rozptyl:       $s_{ch}^2 = 1.583333$   
                      **koeficient reliability:**      **R = 0,9950**

Oba spočtené koeficienty variability jsou velmi blízko číslu 1. Proto můžeme tvrdit, že je variabilita daná nepřesností měření zanedbatelná.

## **IV DISKUSE**

Svou práci jsem zahájila shromažďováním naměřených hodnot kostí humeru a femuru. Na základě těchto vzorků jsem sestavila 14 skupin, do kterých jsem vzorky zařadila podle datování. K takto stanoveným skupinám jsem později připojila skupinu nazvanou Současnost, která zahrnovala naměřené vzorky ze současnosti. Jelikož počet sebraných hodnot pro humerus a femur nebyl dostačující, musela jsem sama naměřit další materiál. I po měření bylo v jedné skupině velmi málo jedinců. Ze svého výzkumu jsem ji proto vyřadila. Tato skupina zahrnovala mladší bronz, kulturu bylanskou, lužickou, mohylovou a podolskou a byla zařazena mezi mladší bronz – kulturu knovízskou a mladší dobu žezelnou – Keltové.

Nejvíce naměřených údajů se jak u humeru (236 údajů), tak u femuru (270 údajů), vyskytuje u skupiny č. 12 – střední doba hradištní. Naopak nejméně naměřených hodnot se nachází u humeru (6 údajů) ve skupinách č. 5 – kultura staro- a protoúnětická – a č. 9 – doba římská. U femuru (4 údaje) potom u skupiny č. 5 – kultura staro- a protoúnětická.

Rozdíl v počtu shromážděných údajů ve skupinách mohlo zapříčinit několik faktorů. Prvním faktorem je skutečnost, že v každé skupině mohli lidé pohřbívat mrtvé s odlišnými zvyklostmi.

Za další faktor můžeme považovat „kvalitu“ země, kam byli jedinci pohřbíváni. Je možné, že v zemi mohlo být přítomno i několik látek, které mohli kost poškodit natolik, že se stala neměřitelnou.

V neposlední řadě musíme brát také v úvahu manipulaci s kosterním materiélem. Tento faktor by se však na výsledném počtu měřitelných vzorků neměl významně podílet.

U těch hodnot, které jsem osobně naměřila bylo nutné spočítat koeficient reliability, který ukazuje na spolehlivost měření. Pro spočtení tohoto koeficientu jsem musela provést měření znova, a to na 30 vzorcích humeru a 30 vzorcích femuru. Výsledný koeficient pro humerus i pro femur se dostatečně blíží k číslu 1. V tom případě můžeme považovat měření za dostatečně přesné.

Údaje o mužských kostrách na zpracovávaných pohřebištích jsem získala z diplomové práce T. Měrtllové (2006). U mužů se jak pro humerus, tak pro femur

## Výška postavy ženy v průběhu staletí

vyskytuje mnohem více naměřených hodnot. Rozdílnost v počtu údajů mohla být zapříčiněna několika faktory. Opět to jsou však domněnky.

První z faktorů je opět závislý na období, ze kterého jedinci pocházejí. Je to ráz společnosti, ve které jedinci žili. Ve způsobu pohřbívání mužů a žen bude jistě rozdíl vyplývající z různého společenského postavení např. v patriarchální a matriarchální společnosti.

Dalším faktorem mohly být války. Hromadné pohřbívání mužů, kteří bojovali ve válce či v nějaké bitvě a kteří mohli být pohřbíváni lépe jako hrdinové, je podle mého názoru velice důležitým faktorem.

Abych zabránila zkreslení mého výzkumu, musela jsem ze všech skupin vyloučit odlehlá pozorování. Ta mohla být způsobena nesprávným určením pohlaví, nesprávným datováním a zařazením jedince do období nebo použití kosterního materiálu ještě nedospělého jedince. Všech těchto možností jsem se však snažila vyvarovat. Z celého souboru výšek podle humeru jsem vyloučila 8 jedinců, u výšky podle femuru to bylo 7 jedinců. V následujících výpočtech a testech jsem pracovala se souborem bez odlehlych pozorování.

Ze všech shromážděných hodnot délek humeru a femuru jsem spočetla výšku postavy a to podle Bachovy metody.

Pro všechny skupiny jsem spočetla základní statistické charakteristiky. Toto jsem udělala před i po vyloučení odlehlych pozorování, abych mohla jednotlivé hodnoty porovnat. Hodnoty jsem zpracovala do grafů a tabulek. Asi nejdůležitějšími charakteristikami jsou průměr a medián. Vypočetla jsem také standardní odchylku, střední (standardní) chybu, rozpětí, maximální i minimální hodnotu a počet všech vzorků.

U každé skupiny jsem testovala normalitu. To mi posloužilo k tomu, abych mohla vybrat správný test na testování celkové hypotézy. Celkem u 4 skupin u výšky podle humeru a u 4 skupin u výšky podle femuru jsem normalitu zamítla. Jedním z důvodů, mohl být počet vzorků u jednotlivých skupin, který tuto skutečnost mohl ovlivnit.

K testování hypotézy  $H_0$ , že mediány všech skupin jsou stejné, jsem použila Kruskal-Wallisův test. Tento test nevyžaduje splnění normality. Z provedeného testu je zřejmé, že jsem hypotézu  $H_0$  zamítla. Z toho plyne, že výška se v průběhu staletí měnila,

## Výška postavy ženy v průběhu staletí

a to dokonce vzestupně, jak dokazuje graf závislosti výšky postavy na čase a rovnice regresní přímky.

Rozdíly mezi spočtenou výškou postavy humeru a femuru se u většiny sledovaných skupin liší. Pro tuto studii upřednostňuji výpočet výšky podle femuru. Je to z toho důvodu, že se přímo podílí na výšce postavy – narozdíl od humeru a více s ní koreluje. (*podle Dobisíkové, 1999*) Výška humeru koreluje méně a použila jsem ji k ozrejmění změn v tělesných segmentech Tuto výšku považuji v této práci spíše jako srovnání ke spočtené výšce pode femuru.

Další porovnání, které jsem vztahovala k mužům a ženám, se týká srovnání průměrné výšky postavy pro každou sledovanou historickou dobu. Jelikož průměrné výšky jsou cca o 10 cm vyšší u mužů, srovnala jsem pouze reliéf spojnice vypočtených výšek postavy v grafu. Zatímco u humeru se spojnice pro jednotlivé skupiny velmi liší, tzn. klesá a stoupá úplně na jiných místech, u femuru jsou si spojnice velmi podobné až na hodnotu u skupiny č. 7 (mladší bronz – kultura knovízská). U této skupiny u mužů výška klesá, u žen naopak stoupá.

Na závěr jsem posuzovala závislost faktoru pohlaví a faktoru doby na výšce postavy. U výšek postavy vypočítaných podle humeru a femuru se mi podařilo prokázat závislost na pohlaví a době, ve které jedinci žili.

## V ZÁVĚR

Ve své diplomové práci jsem zkoumala vývoj výšky postavy ženy od neolitu až po příchod Slovanů v Čechách a v blízkém okolí. Výšku jsem určovala pomocí dlouhých kostí – humeru a femuru, podle Bachovy metody pro výpočet výšky postavy.(citace bach) Část kosterního materiálu jsem získala již naměřenou z inventáře Antropologického oddělení Národního muzea v Praze a archivu katedry antropologie Přírodovědecké fakulty Masarykovy univerzity v Brně. Další část vzorků jsem sama naměřila, a to v depozitáři Národního muzea v Praze v Horních Počernicích a Moravského zemského muzea v Brně.

Všechny vypočtené hodnoty výšek jsem rozdělila do 14 skupin (podle časového období) a z každé jsem vyloučila odlehlá pozorování. Celkem jsem u výšek podle humeru vyloučila 8 hodnot a u výšek podle femuru 7 hodnot. Pro jednotlivé skupiny jsem spočetla tyto základní statistické charakteristiky: počet vzorků, průměr, medián, standardní odchylku, střední (standardní) chybu a rozpětí. Všechny skupiny jsem na základě těchto statistik porovnala a výsledky zobrazila v grafech a tabulkách.

Největší průměrná hodnota výšky postavy podle humeru se nachází u sk. č. 10 – doba stěhování národů (164,2 cm) a nejmenší u sk. č. 4 – kultura zvoncovitých pohárů (159,5 cm). U výšky podle femuru je největší průměrná hodnota u sk. č. 14 – současnost (163,5 cm) a nejmenší u sk. č. 2 – eneolit – kultura kulovitých amfor, kultura nálevkovitých pohárů, řívnáčská doba, kultura s kanelovanou keramikou (159,2 cm).

Největší hodnotu mediánu výšky postavy podle humeru má sk. č. 10 – doba stěhování národů (164 cm), naopak nejnižší hodnota se vyskytuje u sk. č. 4 – kultura zvoncovitých pohárů (159,7 cm). U výšky postavy podle femuru je to sk. č. 11 – doba hradištní (159 cm) pro hodnotu největší a sk. č. 10 – doba stěhování národů (163,7 cm) pro hodnotu největší.

Minimální hodnotou u výšek postavy podle humeru ze všech pozorování je 152,9 cm (sk. č. 12 – 9. – 11. století, Velkomoravská říše) , maximální pak 171,3 cm (sk. č. 6 – starší bronz – kultura únětická a větěřovská). Rozpětí hodnot je tedy 18,4 cm. U výšky postavy podle femuru je minimální hodnotou 152,6 cm (sk. č. 12 – 9. – 11. století, Velkomoravská říše) a maximální hodnota 169,9 cm (sk. č. 14 - současnost). Rozpětí je tedy 17,3 cm.

## Výška postavy ženy v průběhu staletí

U všech skupin jsem také provedla test normality. Normalita byla zamítnuta u výšky podle humeru u těchto skupin: 1, 4, 12 a 14. U výšky podle femuru to byly tyto skupiny: 3, 4, 11, 12.

Hlavním cílem v této práci bylo prokázat, že se průměrná výška postavy ženy v čase měnila. Na základě výsledku Kruskal-Wallisova testu mohu konstatovat, že výška ženy se v průběhu staletí změnila. Z grafu závislosti výšky postavy na skupině i z regresní přímky a její rovnice je zřejmé, že se jedná o její zvětšování.

Výška spočtená podle humeru se liší od výšky spočtené podle femuru. Za základ výšky populace jsem vzala výšku spočtenou dle femuru, jelikož délka této kosti se přímo podílí na výšce postavy a více s ní koreluje než délka humeru. (*podle Dobisíkové, 1999*) Výška podle humeru v této práci slouží pouze k porovnání s výškou podle femuru a ukazuje na rozdíly v tělesných segmentech během různých historických období.

K dalším závěrům jsem došla při srovnání výšky postavy u žen a u mužů. Z důvodu zachovalosti většího počtu kostí, jsem získala více hodnot u mužů. U humeru jsou to čísla 477 (ženy) a 610 (muži), u femuru čísla 601 (ženy) a 744 (muži). Všechny průměrné hodnoty a mediány výšky postavy jsou ve všech sledovaných skupinách vyšší u mužů než u žen.

Prokázala jsem také statistickou významnost pohlaví a doby, ze které zkoumaný kostrový materiál pochází, na výšce postavy jedince.

## VI POUŽITÁ LITERATURA

- [1] Bach, H., 1965: *Zur Berechnung der Körperhohe aus den langen Gliedmassenknochen weiblicher Skelette*, Anthropol. Anz. 20, str. 12 – 21
- [2] Borovanský, L. a kol., 1976: *Soustavná anatomie člověka – díl I.*, Avicenum, 583 str.
- [3] Breitinger, E., 1937: *Zur Berechnung der Körpehohe aus den langen Gliedmassenknochen*. Anthropol. Anz. 14: 249 – 274: in: Stloukal, M., 1999
- [4] Brůžek, J., Černý, V., Stránská, P., 2005: *Proměny výšky postavy v průběhu věku; Rozdíly mezi jedinci, populacemi i generacemi*, Vesmír 84 / březen 2005, str. 165 – 168
- [5] Buchvaldek, M. a kol., 1985: *Dějiny pravěké Evropy*, SPN Praha, 279 str.
- [6] Černý, M., 1961: *Rekonstrukce tělesné výšky z délek dlouhých kostí končetin*, Soudní lékařství, ročník V. / číslo 5, str. 65 – 74
- [7] Čornej, P., Pokorný, J., 2000: *Dějiny českých zemí do roku 2000 ve zkratce*, Práh, 94 str.
- [8] Dobisíková, M., Velemínský, P., Zocová, J., Beran, M., 1999: *Výpočet délky těla z délky dlouhých kostí*, Zborník referátov a posterov z Antropologických dní s medzinárodnou účasťou, Smolenice 1999, str. 33 – 37
- [9] Dobisíková, M., Velemínský, P., Zocová, J., 1999: *Změnili jsme se během tohoto století?*, Zborník referátov a posterov z Antropologických dní s medzinárodnou účasťou, Smolenice 1999, str. 29 – 32

- [10] Dupertuis, C. W., Hadden, J. A. Jr., 1951: On the reconstruction of stature from long bones. Am. J. Phys. Anthropol. 9: 15 – 53: in: Škoda, J., 1993
- [11] Fetter, V., Prokopec, M., Suchý, J., Titlbachová, S., 1967: *Antropologie*, Academia Praha, 704 str.
- [12] Gunnell, D., Rogers., J., Dieppe, P., 2001: *Height and Health: Predicting Longevity from bone Length in archeological Remains*, J. Epidemiol Community Health , Vol. 55, 505 – 507
- [13] Hanáková, H., Stloukal, M., 1976: *Problematika výpočtu výšky postavy na základě dlouhých kostí*, Časopis Národního muzea, č. přírodovědná, 145 / 1, str. 11 – 13
- [14] Havránek, T., 1993: *Statistika pro biologické a lékařské vědy*, Academia Praha, 478 str.
- [15] Kozak, J., 1996: *Stature reconstruction from long bones. The estimation of the usefulness of some selected methods for skeletal populations from Poland*, Variability and Evolution, Vol. 5: 83 – 94
- [16] Lundy, J., K., 1988: *A Report on the Use of Fully's Anatomical method to Estimate Stature in Military Skeletal Remains*, Journal of Forensic Sciences, Vol. 33, No. 2, 534 – 538
- [17] Měrtlová, T., 2006: Diplomová práce: *Výška postavy muže v průběhu staletí*, Přírodovědecká fakulta UK, Praha , 128 stran
- [18] Musgrave, J., H., Harneja, N. K., 1978: *The Estimation of Adult Stature from Metacarpal Bone Length*, Journal of Forensic Sciences, Vol. 40, No. 1, January 1995, 59 – 62
- [19] Novotný, V., Titlbachová, S., 1990: *Methods of functional Anthropology*, Univerzita Karlova Praha, 422 str.

- [20] Neustupný, J., 1960: *Pravěk Československa*, Orbis Praha, 489 str.
- [21] Orfila, M., 1848: *Lehrbuch der gerichtlichen Medizin*. Leipzig: in: Stloukal, M., 1999
- [22] Ousley, S., 1995: *Should We Estimate Biological or Forensic Stature?*, Journal of Forensic Science, Vol. 90, No. 5, September 1995, 768 - 773
- [23] Phenice, T. W., 1969: *A Newly Developed Visual Method of Sexing the Os Pubis*, Am. J. Phys. Antrop., 30, 297 - 302
- [24] Prokopec, M., Suchý, J., Titlbachová, S., 1961: *Anthropologické praktikum*, SPN Praha, 166 str.
- [25] Purš, J., 1987: *Historická demografie 12*, Ústav československých a světových dějin ČSAV, Praha, 297 str.
- [26] Rollet, F., 1889: *De la mensuration des os longs de membres dans ses rapports avec l'anthropologie, la clinique et médecine judiciaire*. Lyon: in: Stloukal, M., 1999
- [27] Sjovold, T., 1990: Estimation of stature from long bones utilizing the line of organic correlation. Human Evolution 5, 5: 431 – 447: in: Škoda, J., 1993
- [28] Stloukal, M., Dobšíková, M., Kuželka, V., Stránská, P., Velemínský, P., Zvára, K., 1999, *Antropologie – Příručka pro studium kostry*, Národní muzeum, Praha, 510 str.
- [29] Stloukal, M., Vyhnanek, L., 1976: *Slované z velkomoravských Mikulčic*, Academia Praha, 207 str.

- [30] Suchý, J., Titlbachová, S., 1963: *Metody hodnocení a identifikace v antropologii*, Scriptum, SPN Praha, 153 str.
- [31] Svoboda, J., Vašků, Z., Cílek, V., 2003: *Velká kniha o klimatu zemí Koruny české, Regia*, 655 str.
- [32] Škoda, J., 1993: Diplomová práce: *Osteometrická charakteristika vybraného recentního kosterního materiálu. Výběr optimální metody výpočtu tělesné výšky z rozměrů dlouhých kostí horní končetiny pro českou populaci.*, Přírodovědecká fakulta UK, Praha, 57 str.
- [33] Telkkä, A., 1950: *On the prediction of human stature from long bones*. Acta Anatomica 9: 103 – 117: in: Fetter, V., 1967
- [34] Person, K., 1899: *Mathematical contribution to the theory of evolution. V on the reconstruction of stature of prehistoric races*. Philosophical Transactions of the Royal Society A., 192: 169 – 244: in: Fetter, V., 1967
- [35] Trotter, M., Glessner, G. C., 1952: *Estimation of stature from long bones of American Whites and Negros*, Am. J. Phys. Anthropol. 10, 463 – 514
- [36] Zvára, K., 2001: *Biostatistika*, Nakladatelství Karolinum, str. 210
- [37] Encyklopédie Wikipedia: [www.wikipedia.cz](http://www.wikipedia.cz), datum stažení informací: 6. 7. 2006
- [38] Boiohaemum – Časopis o historii od pravěku po středověk: <http://boiohaemum.cz> , datum stažení informací: 5. 7. 2006

## **VII PŘÍLOHY**

Příloha č. 1: Seznam grafů v diplomové práci (str. 123)

Příloha č. 2: Seznam tabulek v diplomové práci (str. 125)

Příloha č. 3: Seznam obrázků v diplomové práci (str. 128)

Příloha č. 4: Seznam naměřených a spočtených hodnot (str. 129)

### **❖ Příloha č. 1: Seznam grafů v diplomové práci**

Graf č. 1: Rozdělení populace podle průměru a jeho směrodatné odchylky (str. 10)

Graf č. 2: Grafické srovnání výšek podle femuru a humeru u různých metod – jedinec a) (str. 54)

Graf č. 3: Grafické srovnání výšek podle femuru a humeru u různých metod – jedinec b) (str. 55)

Graf č. 4: Rozdělení jedinců skupiny č. 1 do oddělení podle velikostí (str. 59)

Graf č. 5: Rozdělení jedinců skupiny č. 1 do oddělení podle velikostí (str. 60)

Graf č. 6: Diagram normality skupiny č. 1 (str. 61)

Graf č. 7: Rozdělení jedinců skupiny č. 2 do oddělení podle velikostí (str. 62)

Graf č. 8: Histogram rozdělení jedinců podle výšek ve skupině č. 2 (str. 62)

Graf č. 9: Diagram normality skupiny č. 2 (str. 63)

Graf č. 10: Rozdělení jedinců skupiny č. 3 do oddělení podle velikostí (str. 64)

Graf č. 11: Histogram rozdělení jedinců podle výšek ve skupině č. 3 (str. 64)

Graf č. 12: Diagram normality skupiny č. 3 (str. 66)

Graf č. 13: Rozdělení jedinců skupiny č. 4 do oddělení podle velikostí (str. 67)

Graf č. 14: Histogram rozdělení jedinců podle výšek ve skupině č. 4 (str. 67)

Graf č. 15: Diagram normality skupiny č. 4 (str. 68)

Graf č. 16: Rozdělení jedinců skupiny č. 5 do oddělení podle velikostí (str. 69)

Graf č. 17: Histogram rozdělení jedinců podle výšek ve skupině č. 5 (str. 69)

Graf č. 18: Diagram normality skupiny č. 6 (str. 71)

Graf č. 19: Rozdělení jedinců skupiny č. 6 do oddělení podle velikostí (str. 72)

## Výška postavy ženy v průběhu staletí

- Graf č. 20: Histogram rozdělení jedinců podle výšek ve skupině č. 6 (str. 72)
- Graf č. 21: Diagram normality skupiny č. 6 (str. 73)
- Graf č. 22: Rozdělení jedinců skupiny č. 7 do oddělení podle velikostí (str. 74)
- Graf č. 23: Histogram rozdělení jedinců podle výšek ve skupině č. 7 (str. 74)
- Graf č. 24: Diagram normality skupiny č. 7 (str. 76)
- Graf č. 25: Rozdělení jedinců skupiny č. 8 do oddělení podle velikostí (str. 76)
- Graf č. 26: Histogram rozdělení jedinců podle výšek ve skupině č. 8 (str. 77)
- Graf č. 27: Diagram normality skupiny č. 8 (str. 78)
- Graf č. 28: Rozdělení jedinců skupiny č. 9 do oddělení podle velikostí (str. 79)
- Graf č. 29: Histogram rozdělení jedinců podle výšek ve skupině č. 9 (str. 79)
- Graf č. 30: Diagram normality skupiny č. 9 (str. 81)
- Graf č. 31: Rozdělení jedinců skupiny č. 10 do oddělení podle velikostí (str. 81)
- Graf č. 32: Histogram rozdělení jedinců podle výšek ve skupině č. 10 (str. 82)
- Graf č. 33: Diagram normality skupiny č. 10 (str. 83)
- Graf č. 34: Rozdělení jedinců skupiny č. 11 do oddělení podle velikostí (str. 84)
- Graf č. 35: Histogram rozdělení jedinců podle výšek ve skupině č. 11 (str. 84)
- Graf č. 36: Diagram normality skupiny č. 11 (str. 85)
- Graf č. 37: Rozdělení jedinců skupiny č. 12 do oddělení podle velikostí (str. 86)
- Graf č. 38: Histogram rozdělení jedinců podle výšek ve skupině č. 12 (str. 86)
- Graf č. 39: Diagram normality skupiny č. 12 (str. 88)
- Graf č. 40: Rozdělení jedinců skupiny č. 13 do oddělení podle velikostí (str. 89)
- Graf č. 41: Histogram rozdělení jedinců podle výšek ve skupině č. 13 (str. 89)
- Graf č. 42: Diagram normality skupiny č. 13 (str. 90)
- Graf č. 43: Rozdělení jedinců skupiny č. 14 do oddělení podle velikostí (str. 91)
- Graf č. 44: Histogram rozdělení jedinců podle výšek ve skupině č. 14 (str. 91)
- Graf č. 45: Diagram normality skupiny č. 1 (str. 93)
- Graf č. 46: Srovnání počtu jedinců před a po vyjmutí odlehlych pozorování (str. 94)
- Graf č. 47: Srovnání průměrů skupin před a po vyjmutí odlehlych pozorování (str. 94)
- Graf č. 48: Srovnání mediánů skupin před a po vyjmutí odlehlych pozorování (str. 95)
- Graf č. 49: Srovnání standardní odchylky skupin před a po vyjmutí odlehlych pozorování (str. 95)
- Graf č. 50: Srovnání standardní chyby skupin před a po vyjmutí odlehlych pozorování (str. 96)

## Výška postavy ženy v průběhu staletí

- Graf č. 51: Rezidua výšky postavy podle humeru (str. 98)
- Graf č. 52: Histogram (str. 98)
- Graf č. 53: Diagram normality (str. 98)
- Graf č. 54: Graf závislosti výšky postavy podle humeru na čísle skupiny (str. 99)
- Graf č. 55: Srovnání počtu jedinců před a po vyjmutí odlehlých pozorování (str. 101)
- Graf č. 56: Srovnání průměrů skupin před a po vyjmutí odlehlých pozorování (str. 101)
- Graf č. 57: Srovnání mediánů skupin před a po vyjmutí odlehlých pozorování (str. 102)
- Graf č. 58: Srovnání standardní odchylky skupin před a po vyjmutí odlehlých pozorování (str. 102)
- Graf č. 59: Srovnání standardní chyby skupin před a po vyjmutí odlehlých pozorování (str. 103)
- Graf č. 60 : Rezidua výšky postavy podle humeru (str. 105)
- Graf č. 61: Histogram (str. 105)
- Graf č. 62: Diagram normality (str. 105)
- Graf č. 63: Graf závislosti výšky postavy podle femuru na čísle skupiny (str. 106)
- Graf č. 64: Porovnání počtu všech naměřených kostí u žen a mužů (str. 108)
- Graf č. 65: Grafické srovnání průměrů výšek podle humeru u žen a mužů (str. 109)
- Graf č. 66: Grafické srovnání průměrů výšek podle femuru u žen a mužů (str. 110)

### ❖ Příloha č. 2: Seznam tabulek v diplomové práci

- Tab. č. 1: Přehled archeologických a klimatických období (str. 23)
- Tab. č. 2: Přehled morfologických diagnostických znaků na lebce u mužů a žen (str. 32)
- Tab. č. 3: Přehled morfologických diagnostických znaků na páni u mužů a žen (str. 34)
- Tab. č. 4: Manouvrierovy tabulky (ženy) [9] (str. 42)
- Tab. č. 5: Bachova tabulka (ženy) [1] (str. 45)
- Tab. č. 6: Ukázka vypočtených hodnot u všech 4 kostí [11] (str. 49)
- Tab. č. 7: Přehled základních charakteristik pro výšku podle HUMERU ve skupině č. 1 (str. 59)
- Tab. č. 8: Přehled základních charakteristik pro výšku podle FEMURU ve skupině č. 1 (str. 59)
- Tab. č. 9: Tabulka testu normality pro HUMERUS – skupina č. 1 (str. 60)

## Výška postavy ženy v průběhu staletí

- Tab. č. 10: Tabulka testu normality pro FEMUR – skupina č. 1 (str. 60)
- Tab. č. 11: Přehled základních charakteristik pro výšku podle HUMERU ve skupině č. 2 (str. 61)
- Tab. č. 12: Přehled základních charakteristik pro výšku podle FEMURU ve skupině č. 2 (str. 61)
- Tab. č. 13: Tabulka testu normality pro HUMERUS – skupina č. 2 (str. 62)
- Tab. č. 14: Tabulka testu normality pro FEMUR – skupina č. 2 (str. 63)
- Tab. č. 15: Přehled základních charakteristik pro výšku podle HUMERU ve skupině č. 3 (str. 64)
- Tab. č. 16: Přehled základních charakteristik pro výšku podle FEMURU ve skupině č. 3 (str. 64)
- Tab. č. 17: Tabulka testu normality pro HUMERUS – skupina č. 3 (str. 65)
- Tab. č. 18: Tabulka testu normality pro FEMUR – skupina č. 3 (str. 65)
- Tab. č. 19: Přehled základních charakteristik pro výšku podle HUMERU ve skupině č. 4 (str. 66)
- Tab. č. 20: Přehled základních charakteristik pro výšku podle FEMURU ve skupině č. 4 (str. 66)
- Tab. č. 21: Tabulka testu normality pro HUMERUS – skupina č. 4 (str. 67)
- Tab. č. 22: Tabulka testu normality pro FEMUR – skupina č. 4 (str. 68)
- Tab. č. 23: Přehled základních charakteristik pro výšku podle HUMERU ve skupině č. 5 (str. 69)
- Tab. č. 24: Přehled základních charakteristik pro výšku podle FEMURU ve skupině č. 5 (str. 69)
- Tab. č. 25: Tabulka testu normality pro HUMERUS – skupina č. 5 (str. 70)
- Tab. č. 26: Tabulka testu normality pro FEMUR – skupina č. 5 (str. 70)
- Tab. č. 27: Přehled základních charakteristik pro výšku podle HUMERU ve skupině č. 6 (str. 71)
- Tab. č. 28: Přehled základních charakteristik pro výšku podle FEMURU ve skupině č. 6 (str. 71)
- Tab. č. 29: Tabulka testu normality pro HUMERUS – skupina č. 6 (str. 72)
- Tab. č. 30: Tabulka testu normality pro FEMUR – skupina č. 6 (str. 73)
- Tab. č. 31: Přehled základních charakteristik pro výšku podle HUMERU ve skupině č. 7 (str. 74)

## Výška postavy ženy v průběhu staletí

- Tab. č. 32: Přehled základních charakteristik pro výšku podle FEMURU ve skupině č. 7 (str. 74)
- Tab. č. 33: Tabulka testu normality pro HUMERUS – skupina č. 7 (str. 75)
- Tab. č. 34: Tabulka testu normality pro FEMUR – skupina č. 7 (str. 75)
- Tab. č. 35: Přehled základních charakteristik pro výšku podle HUMERU ve skupině č. 8 (str. 76)
- Tab. č. 36: Přehled základních charakteristik pro výšku podle FEMURU ve skupině č. 8 (str. 76)
- Tab. č. 37: Tabulka testu normality pro HUMERUS – skupina č. 8 (str. 77)
- Tab. č. 38: Tabulka testu normality pro FEMUR – skupina č. 8 (str. 78)
- Tab. č. 39: Přehled základních charakteristik pro výšku podle HUMERU ve skupině č. 9 (str. 79)
- Tab. č. 40: Přehled základních charakteristik pro výšku podle FEMURU ve skupině č. 9 (str. 79)
- Tab. č. 41: Tabulka testu normality pro HUMERUS – skupina č. 9 (str. 80)
- Tab. č. 42: Tabulka testu normality pro FEMUR – skupina č. 9 (str. 80)
- Tab. č. 43: Přehled základních charakteristik pro výšku podle HUMERU ve skupině č. 10 (str. 81)
- Tab. č. 44: Přehled základních charakteristik pro výšku podle FEMURU ve skupině č. 10 (str. 81)
- Tab. č. 45: Tabulka testu normality pro HUMERUS – skupina č. 10 (str. 82)
- Tab. č. 46: Tabulka testu normality pro FEMUR – skupina č. 10 (str. 82)
- Tab. č. 47: Přehled základních charakteristik pro výšku podle HUMERU ve skupině č. 11 (str. 83)
- Tab. č. 48: Přehled základních charakteristik pro výšku podle FEMURU ve skupině č. 11 (str. 83)
- Tab. č. 49: Tabulka testu normality pro HUMERUS – skupina č. 11 (str. 84)
- Tab. č. 50: Tabulka testu normality pro FEMUR – skupina č. 11 (str. 85)
- Tab. č. 51: Přehled základních charakteristik pro výšku podle HUMERU ve skupině č. 12 (str. 86)
- Tab. č. 52: Přehled základních charakteristik pro výšku podle FEMURU ve skupině č. 12 (str. 86)
- Tab. č. 53: Tabulka testu normality pro HUMERUS – skupina č. 12 (str. 87)

## Výška postavy ženy v průběhu staletí

- Tab. č. 54: Tabulka testu normality pro FEMUR – skupina č. 12 (str. 87)
- Tab. č. 55: Přehled základních charakteristik pro výšku podle HUMERU ve skupině č. 13 (str. 88)
- Tab. č. 56: Přehled základních charakteristik pro výšku podle FEMURU ve skupině č. 13 (str. 88)
- Tab. č. 57: Tabulka testu normality pro HUMERUS – skupina č. 13 (str. 89)
- Tab. č. 58: Tabulka testu normality pro FEMUR – skupina č. 13 (str. 90)
- Tab. č. 59: Přehled základních charakteristik pro výšku podle HUMERU ve skupině č. 14 (str. 91)
- Tab. č. 60: Přehled základních charakteristik pro výšku podle FEMURU ve skupině č. 14 (str. 91)
- Tab. č. 61: Tabulka testu normality pro HUMERUS – skupina č. 14 (str. 92)
- Tab. č. 62: Tabulka testu normality pro FEMUR – skupina č. 14 (str. 92)
- Tab. č. 63: Srovnání minimálních (A) a maximálních (B) hodnot před a po vyjmutí odlehlych pozorovani (str. 96)
- Tab. č. 64. Srovnání rozsahů skupin před a po vyjmutí odlehlych pozorovani (str. 97)
- Tab. č. 65: Tabulka odlehlych pozorovani pro jednotlivé skupiny (str. 97)
- Tab. č. 66: Ověření normality (str. 98)
- Tab. č. 67: Kruskal-Wallisův test (str. 99)
- Tab. č. 68: Srovnání minimálních (A) a maximálních (B) hodnot před a po vyjmutí odlehlych pozorovani (str. 103)
- Tab. č. 69. Srovnání rozsahů skupin před a po vyjmutí odlehlych pozorovani (str. 104)
- Tab. č. 70: Tabulka odlehlych pozorovani pro jednotlivé skupiny (str. 104)
- Tab. č. 71: Ověření normality (str. 105)
- Tab. č. 72: Kruskal-Wallisův test (str. 106)
- Tab. č. 73: Porovnání počtu naměřených hodnot jednotlivých skupin u žen a u mužů (str. 108)
- Tab. č. 74: Porovnání průměrů jednotlivých skupin u žen a u mužů (str. 109)
- Tab. č. 75 : HUMERUS (průměrná výška postavy) (str. 110)
- Tab. č. 76: FEMUR (průměrná výška postavy) (str. 110)
- Tab. č. 77: Tabulka původních a nově naměřených hodnot (v mm) (str. 112)

## Výška postavy ženy v průběhu staletí

### ❖ Příloha č. 3: Seznam obrázků v diplomové práci

Obr. č. 1: Osteometrická deska (str. 24)

Obr. č. 2: Humerus – pohled zpředu (A) a ze zadu (B) (str. 25)

Obr. č. 3: Míry na humeru (str. 26)

Obr. č. 4: Femur – pohled zpředu (A) a ze zadu (B) (str. 27)

Obr. č. 5: Míry na femuru (str. 28)

Obr. č. 6: Lebka muže (str. 30)

Obr. č. 7: Lebka ženy (str. 30)

Obr. č. 8: Dolní čelist muže (str. 31)

Obr. č. 9: Dolní čelist ženy (str. 31)

Obr. č. 10: Mužská pánev (str. 33)

Obr. č. 11 Ženská pánev (str. 33)

Výška postavy ženy v průběhu staletí

❖ Příloha č. 4: Seznam naměřených a spočtených hodnot

LOKALITA	HUMERUS		FEMUR		PRŮMĚR		PRŮMĚR		VÝŠKA		DOBA	SKUPINA
	sin	dex	sin	dex	HUMERUS	FEMUR	HUMERUS	FEMUR	VÝŠKA	FEMUR		
Hofany	269	268	388		268.5	388	155.3		157.6		Lineární	1
Domastina	291	297			294		160.7				Neolit	1
Horné Krškany		453				453			166.1		Neolit	1
Nitranský Hrádek		423	423			423			162.2		Neolit	1
Horné Krškany		410				410			160.4		Volutová	1
Horné Krškany	303	404	399		303	401.5	162.6		159.3		Volutová	1
Horné Krškany	307	454		307	454	163.5		166.2			Volutová	1
Horné Krškany	304	424	427		304	425.5	162.9		162.5		Volutová	1
Horné Krškany	362				362		175.2				Volutová	1
Horné Krškany	296	413		296	413	161.2		160.8			Volutová	1
Horné Krškany	297	418	297		418		161.4		161.5		Volutová	1
Horné Krškany	271			271			155.9				Volutová	1
Horné Krškany	453				453			166.1			Volutová	1
Horné Krškany	286	291			288.5		159.6				Volutová	1
Nitranský Hrádek		405	405			405			159.8		Eneolit	2
Nová Ves u Mělníka	285	294	402	398	289.5	400	159.8		159.1		Eneolit	2
Nová Ves u Mělníka	294				294		160.7				Eneolit	2
Roztoky		295			295		160.9				Eneolit	2
Hlinsko	311	319	441	441	315	441	165.2		164.5		Kanelovaná	2
Vepřek, okr. Mělník		399	400			399.5			159.1		Kanelovaná	2
Dobroměřice	301	304	419		302.5	419	162.5		161.6		Nálevkovit poh.	2
Klučov			406			406			159.9		Nálevkovit poh.	2
Moravčany	261	353		261	353	153.7		153			Nálevkovit poh.	2
Tatce	275	275	386	275	386	156.7		157.3			Nálevkovit poh.	2
Blšany	289	284	426	418	286.5	422	159.1		162		Šňurová	3
Bratislava "Pasiensky"	291	412	408	291	410	160.1		160.4			Šňurová	3
Bratislava "Pasiensky"	294			294			160.7				Šňurová	3

Výška postavy ženy v průběhu staletí

LOKALITA	HUMERUS	FEMUR	PRŮMĚR	VÝŠKA	VÝŠKA	DOBA	SKUPINA
	sin	dex	HUMERUS	FEMUR	HUMERUS	FEMUR	
Bratislava "Pasienky"	291	412	408	291	410	160.1	Šňurová
Bratislava "Pasienky"			318		318	148.4	3
Bratislava "Pasienky"			463		463	167.4	Šňurová
Bratislava "Pasienky"	291	412	408	291	410	160.1	Šňurová
Hoštice 5	292	426	422	292	424	160.3	162.3
Kouřim		284				158.6	Šňurová
Libešice	405	405		405		159.8	Šňurová
Postoloprty		417		417		161.4	Šňurová
Prosetice	306	304	430	305	425	163.1	162.4
Vyškov	439			439		164.3	Šňurová
Vyškov	289	410		289	410	159.7	160.4
Boleolus	304	300	431	424	302	427.5	162.4
Brno - Lišeň		430	427		428.5	162.7	Zvoncovité poh.
Brno - Lišeň		390			390	157.8	Zvoncovité poh.
Brno - Lišeň			411		411	160.6	Zvoncovité poh.
Dolní Věstonice	385			385		157.2	Zvoncovité poh.
Dolní Věstonice			408		408	160.2	Zvoncovité poh.
Holubice	277	383	396	277	389.5	157.1	157.8
Hoštice 5	289	407	407	289	407	159.7	160.1
Hoštice za Hanou	229	227	371	345	228	358	146.7
Hoštice za Hanou							153.6
Hoštice za Hanou							Zvoncovité poh.
Hoštice za Hanou	242	235	366	238.5	366	149.0	154.7
Hoštice za Hanou	284	320	329	284	324.5	158.6	149.2
Hoštice za Hanou							163.2
Hoštice za Hanou							Zvoncovité poh.
Hoštice za Hanou	202		308	202	308	141.2	147
Hoštice za Hanou							163.5
Hoštice za Hanou							Zvoncovité poh.
Hoštice za Hanou		449			449		165.6
							Zvoncovité poh.

Výška postavy ženy v průběhu staletí

LOKALITA	HUMERUS		FEMUR		PRŮMĚR HUMERUS	PRŮMĚR FEMUR	VÝŠKA HUMERUS	VÝŠKA FEMUR	DOBA	SKUPINA
	sin	dex	sin	dex						
Hoštice za Hanou			397			397			<b>158.7</b>	Zvoncevité poh.
Hoštice za Hanou			391			391			<b>158</b>	Zvoncevité poh.
Hoštice za Hanou			431			431			<b>163.2</b>	Zvoncevité poh.
Hoštice za Hanou			444			444			<b>164.9</b>	Zvoncevité poh.
Hoštice za Hanou			409			409			<b>160.3</b>	Zvoncevité poh.
Kněževes	294		440	437	294	438.5	160.7	164.2	Zvoncevité poh.	
Lechovice			432	434		433			<b>163.5</b>	Zvoncevité poh.
Předmostí u Přerova	274		387	390	274	388.5			<b>156.5</b>	Zvoncevité poh.
Vyškov	292		408	404	292	406	160.3	159.9	Zvoncevité poh.	
Vyškov	296	303	437	434	299.5	435.5	161.9	163.8	Zvoncevité poh.	
Bavory	292				292		160.3		Protounětická	
Bavory			390			390			<b>157.8</b>	Protounětická
Moravská Nová Ves	280	292			286		159.0		Protounětická	
Moravská Nová Ves	306	455			306	455	163.3	166.4	Protounětická	
Pavlov			404	395		399.5			<b>159.1</b>	Protounětická
Unětice	330				330		168.4		Starounětická	
Unětice	350				350		172.6		Starounětická	
Unětice	316		437		316	437	165.4	164	Starounětická	
Bajc	290		406	408	290	406.75	159.9	160	Starší bronz	
Bajc			408			408			<b>160.2</b>	Starší bronz
Bajc	273		377		273	377	156.3	156.1	Starší bronz	
Bajc	279	287			283	397	158.4	158.7	Starší bronz	
Bajc	293		412	408	293	410	160.5	160.4	Starší bronz	
Bajc	285	293	411	409	289	410	159.7	160.4	Starší bronz	
Bajc	277	285			281		158.0		Starší bronz	
Bajc	289		415	414	289	414.5	159.7	161	Starší bronz	
Bajc	305	400	402	305		401	163.1	<b>159.3</b>	Starší bronz	

Výška postavy ženy v průběhu staletí

LOKALITA	HUMERUS		FEMUR		PRŮMĚR		PRŮMĚR		VÝŠKA		DOBA	SKUPINA
	sin	dex	sin	dex	HUMERUS	FEMUR	HUMERUS	FEMUR	VÝŠKA	FEMUR		
Bajc	412	428			420				161.8		Starší bronz	6
Bajc	297	407	297		407		161.4		160.1		Starší bronz	6
Blučina	291	408	410	291	409		160.1		160.3		Únětická	6
Blučina	390	389			389.5		157.8		157.8		Únětická	6
Bohdalice			428		428		162.8		162.8		Únětická	6
Bradčice	344			344			171.3				Únětická	6
Brno - Juliánov	287	290			288.5		159.6		159.6		Únětická	6
Březno	314	315	439	314.5	439		165.1		164.3		Únětická	6
Bučovice	295		416	295	416		160.9		161.2		Únětická	6
Bučovice			443	446		444.5			165		Únětická	6
Čakovice	288			288			159.5				Únětická	6
Čimice		441			441		164.5		164.5		Únětická	6
Čimice			444		444		164.9		164.9		Únětická	6
Hnojnice	303	304	424	422	303.5	423	162.8		162.2		Únětická	6
Holubice			410			410			160.4		Únětická	6
Hoštice 5	291	295	392	396	293	394	160.5		158.3		Únětická	6
Hoštice 6	310		425	429	310	427	164.1		162.7		Únětická	6
Hoštice 7			410			410			160.4		Únětická	6
Kbelík	289	300			294.5		160.8				Únětická	6
Milovice			406	404		405			159.8		Únětická	6
Milovice	280	283	402	395	281.5	398.5	158.1		158.9		Únětická	6
Moravská Nová Ves			427	430		428.5			162.9		Únětická	6
Moravská Nová Ves	310	312	445	440	311	442.5	164.3		164.7		Únětická	6
Moravská Nová Ves		324			324		167.1				Únětická	6
Mušov			389	388		388.5			157.6		Únětická	6
Mušov			393			393			158.2		Únětická	6
Nové Dvorce	302	308	420	425	305	422.5	163.1		162.1		Únětická	6

Výška postavy ženy v průběhu staletí

LOKALITA	HUMERUS		FEMUR		PRŮMĚR HUMERUS	PRŮMĚR FEMUR	VÝŠKA HUMERUS	VÝŠKA FEMUR	DOBA	SKUPINA
	sin	dex	sin	dex						
Olomouc	295				295		160.9			Únětická
Praha 6 - Liboc	302				302		162.4			Únětická
Prušánky			413			413				Únětická
Přibice	300	305	421	302.5	302.5	421	162.5	161.9		Únětická
Slavkov u Brna	311				311		164.3			Únětická
Slavkov u Brna	276	396	397	276	396.5		156.9	158.7		Únětická
Slavkov u Brna	285	393	395	285	394		158.8	158.3		Únětická
Slavkov u Brna	305				305		163.1			Únětická
Slavkov u Brna	299	300	418	411	299.5	414.5	161.9	161		Únětická
Světec			434			434				Únětická
Toušeň					414		161			Únětická
Toušeň			434			434				Únětická
Toušeň	288	290	415	289	415	159.7	161.1			Únětická
Toušeň	317	324	440	447	320.5	443.5	166.4	164.8		Únětická
Tursko	301	439	432	301		435.5	162.2	163.8		Únětická
Tursko			420	424		422				Únětická
Budkovicé	272	279	398	392	275.5	395	156.8	158.5		Věteřovská
Ducové					425					Věteřovská
Pavlov	276	271	386	373	273.5	379.5	156.4	156.4		Věteřovská
Velké Pavlovice	280	285	400	282.5	400	158.3	159.1			Věteřovská
Věteřov	281	283		282			158.2			Věteřovská
Bílina	340	484	480	340		482	170.5	169.9		Knovízská
Brandýs nad Labem					422					Knovízská
Horní Počáply	286	288	393	287	393		159.3	158.2		Knovízská
Horní Počáply		301	430	426	301	428	162.2	162.8		Knovízská
Hostivice	318	318	460	465	318	462.5	165.8	167.3		Knovízská
Hostivice	308	313	445	445	310.5	445	164.2	165		Knovízská

Výška postavy ženy v průběhu staletí

LOKALITA	HUMERUS		FEMUR		PRŮMĚR HUMERUS	PRŮMĚR FEMUR	VÝŠKA HUMERUS	VÝŠKA FEMUR	DOBA	SKUPINA
	sin	dex	sin	dex						
Hostivice			395		395			158.5		Knovízská
Cholič	262	270	393	394	266	393.5	154.8	158.3		Knovízská
Konobřež	297	303	405	404	300	404.5	162.0	159.7		Knovízská
Praha 2	296		406		296	406	161.2	159.9		Knovízská
Třebosice			456			456		166.5		Knovízská
Veliká Ves		288			288			159.5		Knovízská
Kloboučky u Bučovic		296			296		161.2			Kelti
Maloměřice			431			431		163.2		Kelti
Maloměřice			397			397		158.7		Kelti
Maloměřice			398			398		158.9		Kelti
Čelákovice	294	301	415	297.5	415	161.5	161.1	161.1		Latén
Čelákovice	286		396	392	286	394	159.0	158.3		Latén
Hoštice 5	276		394	390	276	392	156.9	158.1		Latén
Jenišov Újezd			470			470		168.3		Latén
Jinonice	304	305	439		304.5	439	163.0	164.3		Latén
Jinonice			383	380		381.5		156.7		Latén
Jinonice	300	300	432	428	300	430	162.0	163.1		Latén
Jinonice			387	384		385.5		157.2		Latén
Moravská Nová Ves	299	432		299	432	161.8	163.3	163.3		Latén
Mušov	312	315	432	425	313.5	428.5	164.9	162.9		Latén
Radovesice			422			422		162		Latén
Rakvice	297	299	405		298	405	161.6	159.8		Latén
Roztoky			394	389		391.5		158		Latén
Zaječí	302		420	302		420	162.4	161.8		Latén
Dolní Chabry	324	325	482	473	324.5	477.5	167.2	169.3	Doba Římská	9
Milanovce	283	289	411	410	286	410.5	159.0	160.5	Doba Římská	9
Milanovce		397	391			394		158.3	Doba Římská	9

Výška postavy ženy v průběhu staletí

LOKALITA	HUMERUS		FEMUR		PRŮMĚR HUMERUS		PRŮMĚR FEMUR		VÝŠKA HUMERUS		VÝŠKA FEMUR		DOBA	SKUPINA	
	sin	dex	sin	dex											
Milanovce	424	428			426				162.5				Doba Římská	9	
Milanovce	295	296	407		295.5	407		161.1	160.1	160.1			Doba Římská	9	
Milanovce	299	411	410		299	410.5		161.8	160.5	160.5			Doba Římská	9	
Rusovce	313	323	421	427	318	424		165.8	162.3	162.3			Doba Římská	9	
Rusovce	293	298			295.5			161.1					Doba Římská	9	
Abrahám	303		415	403		303	409	162.6	160.3	160.3			Stěhování nár.	10	
Abrahám	304	304	429	421	304	425	162.9	162.4	162.4	162.4			Stěhování nár.	10	
Abrahám	314	321	451	449	317.5	450	165.7	165.7	165.7	165.7			Stěhování nár.	10	
Abrahám				427			427		162.7	162.7			Stěhování nár.	10	
Bučovice		389				389			157.7	157.7			Stěhování nár.	10	
Čejkovice	312	312			312			164.6					Stěhování nár.	10	
Holubice		454				454			166.2	166.2			Stěhování nár.	10	
Holubice		409				409			160.3	160.3			Stěhování nár.	10	
Holubice	449	453			451			165.8	165.8	165.8			Stěhování nár.	10	
Holubice	305	443	441	305	442	442	163.1	164.6	164.6	164.6			Stěhování nár.	10	
Holubice				397		397		158.7	158.7	158.7			Stěhování nár.	10	
Holubice	312	454	452	312	453	453	164.6	166.1	166.1	166.1			Stěhování nár.	10	
Holubice				470		470			168.3	168.3	168.3			Stěhování nár.	10
Holubice		305			305			163.1					Stěhování nár.	10	
Holubice		450				450			165.7	165.7	165.7			Stěhování nár.	10
Holubice		420				420			161.8	161.8	161.8			Stěhování nár.	10
Horní Heršpice	300	409	409	300	409	409	162.0	160.3	160.3	160.3			Stěhování nár.	10	
Hoštice 3	453	455			454			166.2	166.2	166.2			Stěhování nár.	10	
Litovice	436	435			435.5				163.8	163.8	163.8			Stěhování nár.	10
Lochenice				407			407		160.1	160.1	160.1			Stěhování nár.	10
Sokolnice		427	430					162.9	162.9	162.9			Stěhování nár.	10	
Strachotín	336	339	483	479	337.5	481	170.0	169.8	169.8	169.8			Stěhování nár.	10	

Výška postavy ženy v průběhu staletí

LOKALITA	HUMERUS sin	HUMERUS dex	FEMUR sin	FEMUR dex	PRŮMĚR HUMERUS	PRŮMĚR FEMUR	VÝŠKA HUMERUS	VÝŠKA FEMUR	DOBA	SKUPINA
Strachotín			420			420			161.8	Střehování nár.
Šakvice	313	317	446	445	315	445.5	165.2	165.1	165.1	Střehování nár.
Šakvice		414	414			414			161	Střehování nár.
Šárovce	283	285	394	284		394	158.6	158.3	158.3	Střehování nár.
Šárovce			448			448			165.4	Střehování nár.
Těšany	325		458		325	458	167.3	166.7	166.7	Střehování nár.
Těšany			454			454			166.2	Střehování nár.
Velešovice			435			435			163.7	Střehování nár.
Velešovice	307		433		307	433	163.5	163.5	163.5	Střehování nár.
Velké Pavlovice	323				323		166.9			Střehování nár.
Dědkovice	292	296	388	388	294	388	160.7	157.6	157.6	Střehování nár.
Diváky		399				399			159	Střehování nár.
Kostelec na Hané		402	396			399			159	Střehování nár.
Lochenice	322	325	439	436	322.5	437.5	167.0	164.1	164.1	Střehování nár.
Nezamyslice	297	300	401	397	298.5	399	161.7	159	159	Střehování nár.
Nezamyslice	284	287	382	388	285.5	385	158.9	157.2	157.2	Střehování nár.
Nezamyslice	330	334	455		332	455	168.8	166.4	166.4	Střehování nár.
Prostějov			395			395			158.5	Střehování nár.
Prostějov	293				293			160.5		Střehování nár.
Tištín			452			452			166	Střehování nár.
Tištín	282		394		282	394	158.2	158.3	158.3	Střehování nár.
Topolany			384			384			157	Střehování nár.
Uřice - Záhumení	313		435	433	313	434	164.8	163.6	163.6	Střehování nár.
Uřice - Záhumení	326	329		453	327.5	453	167.8	166.1	166.1	Střehování nár.
Uřice - Záhumení	294		417	422	294	419.5	160.7	161.7	161.7	Střehování nár.
Uřice - Záhumení		280	380		280	380	157.8	156.5	156.5	Střehování nár.
Uřice - Záhumení	319	435		319	435.5	319	166.0	163.8	163.8	Střehování nár.

Výška postavy ženy v průběhu staletí

LOKALITA	HUMERUS		FEMUR		PRŮMĚR HUMERUS	PRŮMĚR FEMUR	VÝŠKA HUMERUS	VÝŠKA FEMUR	DOBA	SKUPINA
	sin	dex	sin	dex						
Ondrochov			421		421			161.9	9 - 11. st.	12
Josefov	275	279	391	277	389	157.1	157.7	9. stol.	9. stol.	12
Josefov	312	312	433	431	312	432	164.6	163.3	9. stol.	12
Josefov			459		459			166.9	9. stol.	12
Josefov	287	294	392	393	290.5	392.5	160.0	158.1	9. stol.	12
Josefov	240	242			241		149.5		9. stol.	12
Josefov	286	293	398	394	289.5	396	159.8	158.6	9. stol.	12
Josefov	288	293	378	380	290.5	379	160.0	156.4	9. stol.	12
Josefov	289	296			292.5		160.4		9. stol.	12
Josefov	291	293			292		160.3		9. stol.	12
Josefov	307	306	413	409	306.5	411	163.4	160.6	9. stol.	12
Josefov	302	302	422	424	302	423	162.4	162.2	9. stol.	12
Josefov	290		412	408	290	410	159.9	160.4	9. stol.	12
Josefov	304	308	420	421	306	420.5	163.3	161.8	9. stol.	12
Josefov		447	445			446		165.2	9. stol.	12
Josefov		415	417			416		161.2	9. stol.	12
Josefov		404	405			404.5		159.7	9. stol.	12
Josefov	265	268	391	388	266.5	389.5	154.9	157.8	9. stol.	12
Josefov	284	288	397	397	286	397	159.0	158.7	9. stol.	12
Josefov	300	300			300		162.0		9. stol.	12
Josefov	287		388		287		159.3	157.6	9. stol.	12
Mikulčice - IX. Kostel	280	282	392	393	281	392.5	158.0	158.1	Mikulčice	12
Mikulčice - IX. Kostel	317	320	434		318.5	434	165.9	163.6	Mikulčice	12
Mikulčice - IX. Kostel	306	308	431	431	307	431	163.5	163.2	Mikulčice	12
Mikulčice - IX. Kostel	304	314	439	430	309	434.5	163.9	163.7	Mikulčice	12
Mikulčice - IX. Kostel	293	302	412	414	297.5	413	161.5	160.8	Mikulčice	12
Mikulčice - IX. Kostel	292	399	395	292	397	160.3	158.7	Mikulčice	12	

Výška postavy ženy v průběhu staletí

LOKALITA	HUMERUS		FEMUR		PRŮMĚR HUMERUS	PRŮMĚR FEMUR	VÝŠKA HUMERUS	VÝŠKA FEMUR	DOBA	SKUPINA
	sin	dex	sin	dex						
Mikulčice - IX. Kostel	329	335	459	461	332	460	168.8	167	Mikulčice	12
Mikulčice - IX. Kostel	315	429			315	429	165.2	162.9	Mikulčice	12
Mikulčice - IX. Kostel	284	287	400	405	285.5	402.5	158.9	159.5	Mikulčice	12
Mikulčice - IX. Kostel	294	300	409		297	409	161.4	160.3	Mikulčice	12
Mikulčice - IX. Kostel	299	410			299	410	161.8	160.4	Mikulčice	12
Mikulčice - IX. Kostel	301	423	417		301	420	162.2	161.8	Mikulčice	12
Mikulčice - IX. Kostel	308	313	426	428	310.5	427	164.2	162.7	Mikulčice	12
Mikulčice - IX. Kostel	300	407	408		300	407.5	162.0	160.1	Mikulčice	12
Mikulčice - Kostelisko			454			454		166.2	Mikulčice	12
Mikulčice - Kostelisko	282		417	412	282	414.5	158.2	161	Mikulčice	12
Mikulčice - Kostelisko	285	290	403	399	287.5	401	159.4	159.3	Mikulčice	12
Mikulčice - Kostelisko	287	398	394	287		396	159.3	158.6	Mikulčice	12
Mikulčice - Kostelisko			415	417		416		161.2	Mikulčice	12
Mikulčice - Kostelisko	389	393			391			158	Mikulčice	12
Mikulčice - Kostelisko	310	419	420	310	419.5	164.1		161.7	Mikulčice	12
Mikulčice - Kostelisko	457	462			459.5			166.9	Mikulčice	12
Mikulčice - Kostelisko	406	408			407			160.1	Mikulčice	12
Mikulčice - Kostelisko	314	428			314	428	165.0	162.8	Mikulčice	12
Mikulčice - Kostelisko	300	424			300	424	162.0	162.3	Mikulčice	12
Mikulčice - Kostelisko	289	407	405	289	406	159.7	159.9	159.9	Mikulčice	12
Mikulčice - Kostelisko			427			427		162.7	Mikulčice	12
Mikulčice - Kostelisko	304					304		146.5	Mikulčice	12
Mikulčice - Kostelisko	419	422				420.5		161.8	Mikulčice	12
Mikulčice - Kostelisko	281	393	387	281		390	158.0	157.8	Mikulčice	12
Mikulčice - Kostelisko	285	293	390	389	289	389.5	159.7	157.8	Mikulčice	12
Mikulčice - Kostelisko	307	423	425	307	424	163.5	162.3	162.3	Mikulčice	12
Mikulčice - Kostelisko	297	413	406	297	409.5	161.4	160.4	160.4	Mikulčice	12

Výška postavy ženy v průběhu staletí

LOKALITA	HUMERUS		FEMUR		PRŮMĚR HUMERUS		PRŮMĚR FEMUR		VÝŠKA HUMERUS		VÝŠKA FEMUR		DOBA	SKUPINA
	sin	dex	sin	dex										
Mikulčice - Kostelisko	304	311	433	430	307.5		431.5		163.6		163.3		Mikulčice	12
Mikulčice - Kostelisko	294		430	428	294		429		160.7		162.9		Mikulčice	12
Mikulčice - Kostelisko			423	425			424				162.3		Mikulčice	12
Mikulčice - Kostelisko	283	286			284.5				158.7				Mikulčice	12
Mikulčice - Kostelisko	293	298	426	420	295.5	423		161.1		162.2			Mikulčice	12
Mikulčice - Kostelisko	308	311	439	439	309.5	439	164.0		164.3		164.3		Mikulčice	12
Mikulčice - Kostelisko			408	408			408		160.2				Mikulčice	12
Mikulčice - Kostelisko	284	283	392	396	283.5	394	158.5		158.3		160.5		Mikulčice	12
Mikulčice - Kostelisko	412	409				410.5							Mikulčice	12
Mikulčice - Kostelisko	286	387	392		286	389.5	159.0		157.8				Mikulčice	12
Mikulčice - Kostelisko	306	305	427	422	305.5	424.5	163.2		162.3				Mikulčice	12
Mikulčice - Kostelisko		295			295		160.9						Mikulčice	12
Mikulčice - Kostelisko			426	429		427.5			162.7				Mikulčice	12
Mikulčice - Kostelisko			433			433			163.5				Mikulčice	12
Mikulčice - Kostelisko			384			384			157				Mikulčice	12
Mikulčice - Kostelisko			433			433			163.5				Mikulčice	12
Mikulčice - Kostelisko	294		410	411	294	410.5	160.7		160.5				Mikulčice	12
Mikulčice - Kostelisko	318	317	437	433	317.5	435	165.7		163.7				Mikulčice	12
Mikulčice - Kostelisko	257		359	359	257	359	152.9		153.7				Mikulčice	12
Mikulčice - Kostelisko	285	285	390		285	390	158.8		157.8				Mikulčice	12
Mikulčice - Kostelisko			407	408			407.5		160.1				Mikulčice	12
Mikulčice - Kostelisko			333				333		150.3				Mikulčice	12
Mikulčice - Kostelisko	292	298			295				160.9				Mikulčice	12
Mikulčice - Kostelisko	279	378			276.5	378	157.0		156.2				Mikulčice	12
Mikulčice - Kostelisko	276	416			276	416	156.9		161.2				Mikulčice	12
Mikulčice - Kostelisko	303				303		162.6						Mikulčice	12
Mikulčice - Kostelisko		419					419		161.6				Mikulčice	12

Výška postavy ženy v průběhu staletí

LOKALITA	HUMERUS	FEMUR	PRŮMĚR	PRŮMĚR	VÝŠKA	VÝŠKA	DOBA	SKUPINA
	sin	dex	sin	dex	HUMERUS	FEMUR	HUMERUS	FEMUR
Mikulčice - Kostelisko	415	416			415.5		161.2	Mikulčice
Mikulčice - Kostelisko	318		318			165.8		Mikulčice
Mikulčice - Kostelisko			439		439		164.3	Mikulčice
Mikulčice - Kostelisko	408				408		160.2	Mikulčice
Mikulčice - Kostelisko			399		399		159	Mikulčice
Mikulčice - Kostelisko	369				369		155.1	Mikulčice
Mikulčice - Kostelisko	303	404	303		404	162.6	159.7	Mikulčice
Mikulčice - Kostelisko		386			386		157.3	Mikulčice
Mikulčice - Kostelisko	433				433		163.5	Mikulčice
Mikulčice - Kostelisko	277		277			157.1		Mikulčice
Mikulčice - Kostelisko	290	406	405	290	405.5	159.9	159.9	Mikulčice
Mikulčice - Kostelisko	294	303		298.5		161.7		Mikulčice
Mikulčice - Kostelisko			391		391		158	Mikulčice
Mikulčice - Kostelisko	410				410		160.4	Mikulčice
Mikulčice - Kostelisko	303				303		146.4	Mikulčice
Mikulčice - Kostelisko			434		434		163.6	Mikulčice
Mikulčice - Kostelisko	423				423		162.2	Mikulčice
Mikulčice - Kostelisko	303	413	409	301.5	411	162.3	160.6	Mikulčice
Mikulčice - Kostelisko					406		159.9	Mikulčice
Mikulčice - Kostelisko	292	414		292	414	160.3	161	Mikulčice
Mikulčice - Kostelisko	285			285		158.8		Mikulčice
Mikulčice - Kostelisko	237	243	350		350	149.3	152.6	Mikulčice
Mikulčice - Kostelisko	286	294	408	404	290	406	159.9	Mikulčice
Pohřebiště - Prušánky			394	391		392.5	158.1	Mikulčice
Pohřebiště - Prušánky	295	405		295	405	160.9	159.8	Mikulčice
Pohřebiště - Prušánky		402			402		159.4	Mikulčice
Pohřebiště - Prušánky	264	268	374	266	374	154.8	155.7	Mikulčice

Výška postavy ženy v průběhu staletí

LOKALITA	HUMERUS		FEMUR		PRŮMĚR		PRŮMĚR		VÝŠKA		DOBA	SKUPINA
	sin	dex	sin	dex	HUMERUS	FEMUR	HUMERUS	FEMUR	VÝŠKA	FEMUR		
Pohřebiště - Prusánsky			402	402			402		159,4		Mikulčice	12
Pohřebiště - Prusánsky	302	302	419	302	302	419	419	162,4	161,6		Mikulčice	12
Pohřebiště - Prusánsky	294	412	409		294	410,5		160,7	160,5		Mikulčice	12
Pohřebiště - Prusánsky	306				306			163,3			Mikulčice	12
Pohřebiště - Prusánsky	301	293			297			161,4			Mikulčice	12
Pohřebiště - Prusánsky	330		456		330	456	456	168,4	166,5		Mikulčice	12
Pohřebiště - Prusánsky		397				397		158,7			Mikulčice	12
Pohřebiště - Prusánsky	304	308	429		306	429	429	163,3	162,9		Mikulčice	12
Pohřebiště - Prusánsky		412	408			410		160,4			Mikulčice	12
Pohřebiště - Prusánsky	308	306	425	425	307	425	425	163,5	162,4		Mikulčice	12
Pohřebiště - Prusánsky	293	299			296			161,2			Mikulčice	12
Pohřebiště - Prusánsky	301	304			302,5			162,5			Mikulčice	12
Pohřebiště - Prusánsky	308				308			163,7			Mikulčice	12
Pohřebiště - Prusánsky	289	293	406	410	291	408	408	160,1	160,2		Mikulčice	12
Pohřebiště - Prusánsky		310			310			164,1			Mikulčice	12
Pohřebiště - Prusánsky	280		398		280	398	398	157,8	158,9		Mikulčice	12
Pohřebiště - Prusánsky	277	283	379	373	280	376	376	157,8	156		Mikulčice	12
Pohřebiště - Prusánsky		299			299			161,8			Mikulčice	12
Pohřebiště - Prusánsky		408				408		160,2			Mikulčice	12
Pohřebiště - Prusánsky	413		410			411,5		160,6			Mikulčice	12
Pohřebiště - Prusánsky	314	423	413		314	418	418	165,0	161,5		Mikulčice	12
Pohřebiště - Prusánsky	287	291	396	394	289	395	395	159,7	158,5		Mikulčice	12
Pohřebiště - Prusánsky	300				300			162,0			Mikulčice	12
Pohřebiště - Prusánsky	303	305	431	434	304	432,5	432,5	162,9	163,4		Mikulčice	12
Pohřebiště - Prusánsky		332			332			168,8			Mikulčice	12
Pohřebiště - Prusánsky	273				273			156,3			Mikulčice	12
Pohřebiště - Prusánsky		436				436		163,9			Mikulčice	12

Výška postavy ženy v průběhu staletí

LOKALITA	HUMERUS		FEMUR		PRŮMĚR		PRŮMĚR HUMERUS	VÝŠKA HUMERUS	VÝŠKA FEMUR	DOBA	SKUPINA
	sin	dex	sin	dex	HUMERUS	FEMUR					
Pohřebiště - Prusánský	279	282	406		280.5	406	157.9	159.9			Mikulčice
Pohřebiště - Prusánský	298	302			300		162.0				Mikulčice
Pohřebiště - Prusánský	282				282		158.2				Mikulčice
Pohřebiště - Prusánský			422			422		162			Mikulčice
Rajhrad		416	410			413		160.8			Mikulčice
Rajhrad	302	304	400	402	303	401	162.6	159.3			Velkomoravská
Rajhrad	300	305	439	437	302.5	438	162.5	164.1			Velkomoravská
Rajhrad		405	406			405.5		159.9			Velkomoravská
Rajhrad	297	301	409	405	299	407	161.8	160.1			Velkomoravská
Rajhrad	291	295	406	405	293	405.5	160.5	159.9			Velkomoravská
Rajhrad		406	411			408.5		160.2			Velkomoravská
Rajhrad	290	413	410		290	411.5	159.9	160.6			Velkomoravská
Rajhrad	285		380		285	380	158.8	156.5			Velkomoravská
Rajhrad	302				302		162.4				Velkomoravská
Rajhrad	291	290	386	385	290.5	385.5	160.0	157.2			Velkomoravská
Rajhrad	286		401		286	401	159.0	159.3			Velkomoravská
Rajhrad	318	315	426		316.5	426	165.5	162.5			Velkomoravská
Rajhrad	290	294	398	400	292	399	160.3	159			Velkomoravská
Rajhrad	300	303	415	414	301.5	414.5	162.3	161			Velkomoravská
Rajhrad	310	313			311.5		164.4				Velkomoravská
Rajhrad	315	317	430		316	430	165.4	163.1			Velkomoravská
Rajhrad	312	317	417	414	314.5	415.5	165.1	161.2			Velkomoravská
Rajhrad	308	309	420	419	308.5	419.5	163.8	161.7			Velkomoravská
Rajhrad		294	411		294	411	160.7	160.6			Velkomoravská
Rajhrad	300	303	399	402	301.5	400.5	162.3	159.2			Velkomoravská
Rajhrad	304		426	429	304	427.5	162.9	162.7			Velkomoravská
Rajhrad	286		414	417	286	415.5	159.0	161.2			Velkomoravská

Výška postavy ženy v průběhu staletí

LOKALITA	HUMERUS		FEMUR		PRŮMĚR HUMERUS	PRŮMĚR FEMUR	VÝŠKA HUMERUS	VÝŠKA FEMUR	DOBA	SKUPINA
	sin	dex	sin	dex						
Rajhrad	295		295		295		160.9			Velkomoravská
Rajhrad	300	415	420	300	417.5	412.0	161.4			Velkomoravská
Rajhrad	297	304	421	415	300.5	418	162.1	161.5		Velkomoravská
Rajhrad	294		423	294		423	160.7	162.2		Velkomoravská
Rajhrad	266		388	385	266	386.5	154.8	157.4		Velkomoravská
Rajhrad		451	444			447.5		165.4		Velkomoravská
Rajhrad	315	317	455	457	316	456	165.4	166.5		Velkomoravská
Rajhrad	286	293	394	397	289.5	395.5	159.8	158.5		Velkomoravská
Rajhrad	301	305	418	414	303	416	162.6	161.2		Velkomoravská
Rajhrad	295	305	412	420	300	416	162.0	161.2		Velkomoravská
Rajhrad	284			284			158.6			Velkomoravská
Rajhrad	287	295	394	395	291	394.5	160.1	158.4		Velkomoravská
Rajhrad	313	323	431	430	318	430.5	165.8	163.1		Velkomoravská
Rajhrad	313	315	435	430	314	432.5	165.0	163.4		Velkomoravská
Rajhrad	298	302	417	419	300	418	162.0	161.5		Velkomoravská
Rajhrad	293	297			295		160.9			Velkomoravská
Rajhrad	279			279			157.6			Velkomoravská
Rajhrad	299	304	428	429	301.5	428.5	162.3	162.9		Velkomoravská
Rajhrad	293	294	398	400	293.5	399	160.6	159		Velkomoravská
Rajhrad	286	291	399	398	288.5	398.5	159.6	158.9		Velkomoravská
Rajhrad	276		387	276		387	156.9	157.4		Velkomoravská
Rajhrad			407			407		160.1		Velkomoravská
Rajhrad	410	412				411		160.6		Velkomoravská
Rajhrad	305	415	413	305		414	163.1	161		Velkomoravská
Rajhrad	317	324	458	459	320.5	458.5	166.4	166.8		Velkomoravská
Rajhrad	296	301			298.5		161.7			Velkomoravská
Rajhrad	292	295	413	415	293.5	414	160.6	161		Velkomoravská

Výška postavy ženy v průběhu staletí

LOKALITA	HUMERUS		FEMUR		PRŮMĚR HUMERUS	PRŮMĚR FEMUR	VÝŠKA HUMERUS	VÝŠKA FEMUR	DOBA	SKUPINA
	sin	dex	sin	dex						
Rajhrad	261	265	373	366	263	369,5	154,2	155,1	Velkomoravská	12
Rajhrad	300	305	420	421	302,5	420,5	162,5	161,8	Velkomoravská	12
Rajhrad	276	282	392	394	279	393	157,6	158,2	Velkomoravská	12
Rajhrad	311	420	421	311	420,5	164,3	161,8	Velkomoravská	12	
Rajhrad	297			297			161,4		Velkomoravská	12
Rajhrad	406	412			409			160,3	Velkomoravská	12
Rajhrad	298	299	409	412	298,5	410,5	161,7	160,5	Velkomoravská	12
Rajhrad	298	305	424	425	301,5	424,5	162,3	162,3	Velkomoravská	12
Rajhrad	322	455			322	455	166,7	166,4	Velkomoravská	12
Rajhrad	293	293			293		160,5		Velkomoravská	12
Rajhrad	293	300	405	405	296,5	405	161,3	159,8	Velkomoravská	12
Rajhrad	296	300	407	408	298	407,5	161,6	160,1	Velkomoravská	12
Rajhrad	311	314	426	427	312,5	426,5	164,7	162,6	Velkomoravská	12
Rajhrad	315	420	415	315	417,5	417,5	165,2	161,4	Velkomoravská	12
Rajhrad	296	299	402		297,5	402	161,5	159,4	Velkomoravská	12
Rajhrad	294		404		294	404	160,7	159,7	Velkomoravská	12
Rajhrad	288	412	412	288	412	159,5	160,7		Velkomoravská	12
Rajhrad	292	381	378	292	379,5	379,5	160,3	156,4	Velkomoravská	12
Rajhrad	294				403			159,5	Velkomoravská	12
Rajhrad	319	325	445	451	322	448	166,7	165,4	Velkomoravská	12
Rajhrad	303	434	433	303	433,5	433,5	162,6	163,5	Velkomoravská	12
Rajhrad	286	285	373	374	285,5	373,5	158,9	155,7	Velkomoravská	12
Rajhrad	304	414	411	304	412,5	412,5	162,9	160,8	Velkomoravská	12
Rajhrad	287	404	397	287	400,5	159,3	159,2	Velkomoravská	12	
Rajhrad	273			273			156,3		Velkomoravská	12
Rajhrad			412			412		160,7	Velkomoravská	12
Rajhrad	280	287	399	396	283,5	397,5	158,5	158,8	Velkomoravská	12

Výška postavy ženy v průběhu staletí

LOKALITA	HUMERUS		FEMUR		PRŮMĚR		VÝŠKA HUMERUS	VÝŠKA FEMUR	DOBA	SKUPINA
	sin	dex	sin	dex	HUMERUS	FEMUR				
Rajhrad	280		395		280		395	<b>157.8</b>	<b>158.5</b>	Velkomoravská
Rajhrad	300		415		300		415	<b>162.0</b>	<b>161.1</b>	Velkomoravská
Rajhrad	285		396		285		395.5	<b>158.8</b>	<b>158.5</b>	Velkomoravská
Rajhrad	329		470		329		468	<b>168.2</b>	<b>168.1</b>	Velkomoravská
Rajhrad	282		290		286			<b>159.0</b>		Velkomoravská
Rajhrad	300		404		398		303.5	<b>162.8</b>	<b>159.3</b>	Velkomoravská
Rajhrad			426				426		<b>162.5</b>	Velkomoravská
Rajhrad	279		283		402		397	<b>159.5</b>	<b>158.0</b>	Velkomoravská
Rajhrad	283		290		416		286.5	<b>161.5</b>	<b>159.1</b>	Velkomoravská
Rajhrad	311		310		426		310.5	<b>164.2</b>	<b>162.5</b>	Velkomoravská
Rajhrad			304				304		<b>162.9</b>	Velkomoravská
Rajhrad			448		445			<b>164.5</b>		Velkomoravská
Rajhrad	294		297		415		295.5	<b>161.7</b>	<b>161.2</b>	Velkomoravská
Rajhrad	310		430		425		310	<b>164.1</b>	<b>162.7</b>	Velkomoravská
Rajhrad	308		418		411		308	<b>163.5</b>	<b>161.1</b>	Velkomoravská
Rajhrad					434			<b>163.7</b>		Velkomoravská
Rajhrad	299		299		397		299	<b>164.1</b>	<b>162.7</b>	Velkomoravská
Rajhrad	313		434		433		313	<b>163.7</b>	<b>162.7</b>	Velkomoravská
Rajhrad	285		285		403		400	<b>163.7</b>	<b>162.7</b>	Velkomoravská
Rajhrad					396			<b>163.6</b>		Velkomoravská
Rajhrad	300		303		411		415	<b>164.1</b>	<b>162.7</b>	Velkomoravská
Rajhrad	281		293		394		287	<b>163.7</b>	<b>162.7</b>	Velkomoravská
Rajhrad			407		403			<b>163.6</b>		Velkomoravská
Rajhrad	300		420		414		300	<b>164.1</b>	<b>162.0</b>	Velkomoravská
Rajhrad								<b>164.9</b>	<b>164.9</b>	Velkomoravská
Rajhrad	320		316		425		318	<b>165.5</b>	<b>165.4</b>	Velkomoravská
Rajhrad								<b>165.8</b>	<b>165.6</b>	Velkomoravská

Výška postavy ženy v průběhu staletí

LOKALITA	HUMERUS		FEMUR		PRŮMĚR		VÝŠKA HUMERUS	VÝŠKA FEMUR	DOBA	SKUPINA
	sin	dex	sin	dex	HUMERUS	FEMUR				
Rajhrad	290	290	400	401	290	400.5	159.9	159.2	Velkomoravská	12
Rajhrad	305	312	421	425	308.5	423	163.8	162.2	Velkomoravská	12
Rajhrad	278	281	382	379	279.5	380.5	157.7	156.6	Velkomoravská	12
Rajhrad	295	410	405	295	407.5	160.9	160.1	160.1	Velkomoravská	12
Rajhrad	305	309	416	414	307	415	163.5	161.1	Velkomoravská	12
Rajhrad	338		476	477	338	476.5	170.1	169.2	Velkomoravská	12
Rajhrad	314	410			314	410	165.0	160.4	Velkomoravská	12
Rajhrad		412				412		160.7	Velkomoravská	12
Rajhrad	316	446	444		312.5	445	164.7	165	Velkomoravská	12
Rajhrad		404				404		159.7	Velkomoravská	12
Rajhrad	302	308	407	408	305	407.5	163.1	160.1	Velkomoravská	12
Rajhrad	290	408	409		290	408.5	159.9	160.2	Velkomoravská	12
Rajhrad		414	418			416		161.2	Velkomoravská	12
Rajhrad	285	292	389	384	288.5	386.5	159.6	157.4	Velkomoravská	12
Rajhrad	310	427	426		312.5	426.5	164.7	162.6	Velkomoravská	12
Rajhrad	288	396	398		288	397	159.5	158.7	Velkomoravská	12
Rajhrad	308	410	412		308	411	163.7	160.6	Velkomoravská	12
Rajhrad	287	398	399		287	398.5	159.3	158.9	Velkomoravská	12
Rajhrad	308	313	440	441	310.5	440.5	164.2	164.5	Velkomoravská	12
Rajhrad	301				301		162.2		Velkomoravská	12
Rajhrad	294	296	400		295	400	160.9	159.1	Velkomoravská	12
Rajhrad	268	377	375		268	376	155.2	156	Velkomoravská	12
Rajhrad	301	308	410	412	304.5	411	163.0	160.6	Velkomoravská	12
Rajhrad	300	304	426	425	302	425.5	162.4	162.5	Velkomoravská	12
Rajhrad	293	295	387		294	387	160.7	157.4	Velkomoravská	12
Rajhrad	273		375	376	273	375.5	156.3	155.9	Velkomoravská	12
Rajhrad	304	415	409		304	412	162.9	160.7	Velkomoravská	12

Výška postavy ženy v průběhu staletí

LOKALITA	HUMERUS		FEMUR		PRŮMĚR		VÝŠKA HUMERUS	VÝŠKA FEMUR	DOBA	SKUPINA	
	sin	dex	sin	dex	HUMERUS	FEMUR					
Rajhrad	284	289	406	408	286.5	407	<b>159.1</b>	<b>160.1</b>	Velkomoravská	12	
Rajhrad	294	297	397	398	295.5	397.5	<b>161.1</b>	<b>158.8</b>	Velkomoravská	12	
Rajhrad	297		424		297	424	<b>161.4</b>	<b>162.3</b>	Velkomoravská	12	
Rajhrad			397			397		<b>158.7</b>	Velkomoravská	12	
Rajhrad	292	296	413		294	413	<b>160.7</b>	<b>160.8</b>	Velkomoravská	12	
Rajhrad	293	299	407	408	296	407.5	<b>161.2</b>	<b>160.1</b>	Velkomoravská	12	
Rajhrad			385	387		386		<b>157.3</b>	Velkomoravská	12	
Rajhrad	318				318			<b>165.8</b>	Velkomoravská	12	
Rajhrad	305	308	430	431	306.5	430.5	<b>163.4</b>	<b>163.1</b>	Velkomoravská	12	
Rajhrad	299	306	447	450	302.5	448.5	<b>162.5</b>	<b>165.5</b>	Velkomoravská	12	
Rajhrad	296	298	411	415	297	413	<b>161.4</b>	<b>160.8</b>	Velkomoravská	12	
Rajhrad	313	405	404		313	404.5		<b>164.8</b>	<b>159.7</b>	Velkomoravská	12
Rajhrad	291	296	415	405	293.5	410	<b>160.6</b>	<b>160.4</b>	Velkomoravská	12	
Rajhrad	280	281	396	395	280.5	395.5	<b>157.9</b>	<b>158.5</b>	Velkomoravská	12	
Rajhrad	325	332	465	461	328.5	463	<b>168.1</b>	<b>167.4</b>	Velkomoravská	12	
Rajhrad	274	279	406		276.5	406	<b>157.0</b>	<b>159.9</b>	Velkomoravská	12	
Rajhrad			425	422		423.5		<b>162.2</b>	Velkomoravská	12	
Rajhrad	302	308	410	410	305	410	<b>163.1</b>	<b>160.4</b>	Velkomoravská	12	
Rajhrad			435			435		<b>163.7</b>	Velkomoravská	12	
Rajhrad	285	415			285	415	<b>158.8</b>	<b>161.1</b>	Velkomoravská	12	
Rajhrad		295			295		<b>160.9</b>	<b>158.5</b>	Velkomoravská	12	
Rajhrad	266	267	357	362	266.5	359.5	<b>154.9</b>	<b>153.8</b>	Velkomoravská	12	
Rajhrad			413	412		412.5		<b>160.8</b>	Velkomoravská	12	
Rajhrad	287	290	385	387	288.5	386	<b>159.6</b>	<b>157.3</b>	Velkomoravská	12	
Rajhrad			385	383		384		<b>157</b>	Velkomoravská	12	
Rajhrad	278	281	409	406	279.5	407.5	<b>157.7</b>	<b>160.1</b>	Velkomoravská	12	
Rajhrad		320	436	429	320	432.5	<b>166.3</b>	<b>163.4</b>	Velkomoravská	12	

Výška postavy ženy v průběhu staletí

LOKALITA	HUMERUS sin	FEMUR dex	PRŮMĚR HUMERUS	PRŮMĚR FEMUR	VÝŠKA HUMERUS	VÝŠKA FEMUR	DOBA	SKUPINA
Rajhrad	300	310	429	425	305	427	163.1	162.7
Rajhrad		335			335		169.4	
Rajhrad	314	427	424	314	425.5	165.0	162.5	Velkomoravská
Rajhrad	315	320	447	448	317.5	447.5	165.7	165.4
Rajhrad					413		160.8	Velkomoravská
Rajhrad		421			421		161.9	Velkomoravská
Rajhrad	295	300	420	416	297.5	418	161.5	161.5
Rajhrad		409	407		408		160.2	Velkomoravská
Rajhrad	265	271	370	268		371	155.2	155.3
Rajhrad	289	290	395	289.5	395	159.8	158.5	Velkomoravská
Rajhrad	298	306	415	419	302	417	162.4	161.4
Rajhrad	275	280	393		277.5	393	157.2	158.2
Vratislavský palác	279	387	393	279	390	157.6	157.8	11. - 13. st.
Vratislavský palác	296	298	435	297	435	161.4	163.7	11. - 13. st.
Vratislavský palác		422			422		162	11. - 13. st.
Vratislavský palác			420		420		161.8	11. - 13. st.
Vratislavský palác			425		425		162.4	11. - 13. st.
Vratislavský palác					370		155.2	11. - 13. st.
Vratislavský palác					383	383	156.9	11. - 13. st.
Vratislavský palác					435	425	163.1	11. - 13. st.
Vratislavský palác					406	414	160.4	11. - 13. st.
Kostel	265	274			269.5		155.5	Pohanská - Sl.
Kostel	303	308	432	429	305.5	430.5	163.2	163.1
Kostel								Pohanská - Sl.
Kostel		381	378			379.5	156.4	Pohanská - Sl.
Kostel	328	329	453	450	328.5	451.5	168.1	165.9
Kostel	267	377	374	267		375.5	155.0	155.9
Kostel					390		157.8	Pohanská - Sl.
								13

Výška postavy ženy v průběhu staletí

LOKALITA	HUMERUS		FEMUR		PRŮMĚR		VÝŠKA HUMERUS	VÝŠKA FEMUR	DOBA	SKUPINA
	sin	dex	sin	dex	HUMERUS	FEMUR				
Kostel	295		410	411	295	410,5	160,9	160,5	Pohanská - Sl.	13
Kostel	315	441	433		315	437	165,2	164	Pohanská - Sl.	13
Kostel		417	413			415		161,1	Pohanská - Sl.	13
Kostel	322	327	443	446	324,5	444,5	167,2	165	Pohanská - Sl.	13
Kostel	298	427	427	298		427	161,6	162,7	Pohanská - Sl.	13
Kostel		445	444			444,5		165	Pohanská - Sl.	13
Kostel	305	310	429	430	307,5	429,5	163,6	163	Pohanská - Sl.	13
Kostel	307	308	415	412	307,5	413,5	163,6	160,9	Pohanská - Sl.	13
Kostel	288	414	414	288		414	159,5	161	Pohanská - Sl.	13
Kostel		390	388			389		157,7	Pohanská - Sl.	13
Kostel	293	296	412	404	294,5	408	160,8	160,2	Pohanská - Sl.	13
Kostel	281	293	400	400	287	400	159,3	159,1	Pohanská - Sl.	13
Kostel	303	310	426	425	306,5	425,5	163,4	162,5	Pohanská - Sl.	13
Kostel	286	289	385	384	287,5	384,5	159,4	157,1	Pohanská - Sl.	13
Kostel		444	448			446		165,2	Pohanská - Sl.	13
Kostel		407	405			406		159,9	Pohanská - Sl.	13
Kostel		427	426			426,5		162,6	Pohanská - Sl.	13
Kostel	291	296	414	411	293,5	412,5	160,6	160,8	Pohanská - Sl.	13
Kostel	311	452	454		311	453	164,3	166,1	Pohanská - Sl.	13
Kostel			397			397		158,7	Pohanská - Sl.	13
Kostel	313	318	422	425	315,5	423,5	165,3	162,2	Pohanská - Sl.	13
Kostel		420	421			420,5		161,8	Pohanská - Sl.	13
Kostel	308	425	424	308		424,5	163,7	162,3	Pohanská - Sl.	13
Kostel	289	296	409	414	292,5	411,5	160,4	160,6	Pohanská - Sl.	13
Kostel			411			411		160,6	Pohanská - Sl.	13
Kostel		451	448			449,5		165,6	Pohanská - Sl.	13
Kostel	308	446	443	308		444,5	163,7	165	Pohanská - Sl.	13

Výška postavy ženy v průběhu staletí

LOKALITA	HUMERUS sin	FEMUR dex	PRŮMĚR HUMERUS	PRŮMĚR FEMUR	VÝŠKA HUMERUS	VÝŠKA FEMUR	DOBA	SKUPINA
Kostel								
Kostel	296	412	402	296	407	161.2	160.1	Pohanská - Sl.
Kostel		385			385		157.2	Pohanská - Sl.
Kostel			379		379		156.4	Pohanská - Sl.
Kostel		423	421		422		162	Pohanská - Sl.
Kostel		455	447		451		165.8	Pohanská - Sl.
Kostel	293	302	433	429	297.5	431	161.5	Pohanská - Sl.
Kostel	272	278	384	380	275	382	156.7	Pohanská - Sl.
Kostel	317	323	435	434	320	434.5	166.3	Pohanská - Sl.
Kostel			418	415		416.5	163.2	Pohanská - Sl.
Kostel	280	278	391	387	279	389	157.6	Pohanská - Sl.
Kostel	314	438	435	314		436.5	165.0	Pohanská - Sl.
Kostel	300	304	431	434	302	432.5	162.4	Pohanská - Sl.
Kostel		406	404		405		163.4	Pohanská - Sl.
Kostel	291	398	400	291	399	160.1	159	Pohanská - Sl.
Kostel		415	411		413		159.8	Pohanská - Sl.
Kostel	302		418	302	418	162.4	161.5	Pohanská - Sl.
Kostel					421		161.9	Pohanská - Sl.
Kostel		413	417		415		161.1	Pohanská - Sl.
Kostel	314	315	448	446	314.5	447	165.1	Pohanská - Sl.
Kostel	290	386		290	386	159.9	157.3	Pohanská - Sl.
Kostel	310	316	440	446	313	443	164.8	Pohanská - Sl.
Kostel					471		168.5	Pohanská - Sl.
Kuřím			418			418	161.5	Pohanská - Sl.
Kuřím		448				448	165.4	Pohanská - Sl.
Lesní Školka	283	411	408		283	409.5	158.4	Pohanská - Sl.
Lesní Školka	273	277	389	392	275	390.5	156.7	Pohanská - Sl.
							157.9	Pohanská - Sl.
								13

Výška postavy ženy v průběhu staletí

LOKALITA	HUMERUS		FEMUR		PRŮMĚR		PRŮMĚR		VÝŠKA		SKUPINA
	sin	dex	sin	dex	HUMERUS	FEMUR	HUMERUS	FEMUR	VÝŠKA	FEMUR	
Lesní Školka	275	371	369	275		370		156.7		155.2	Pohanská - Sl.
Lesní Školka	311	312	429	429	311.5	429	164.4		162.9		Pohanská - Sl.
Lesní Školka	287		420	409		287	414.5	159.3		161	Pohanská - Sl.
Lesní Školka	290	292	401	397	291		399	160.1		159	Pohanská - Sl.
Lesní Školka	305		437	438		305		163.1		164.1	Pohanská - Sl.
Lesní Školka	307	312	423	422	309.5		422.5	164.0		162.1	Pohanská - Sl.
Lesní Školka	326	327	470	466	326.5		468	167.6		168.1	Pohanská - Sl.
Lesní Školka	312	317	425	420	314.5		422.5	165.1		162.1	Pohanská - Sl.
Lesní Školka	272	275	370	373	273.5		371.5	156.4		155.4	Pohanská - Sl.
Lesní Školka	309		426	421	309		423.5	163.9		162.2	Pohanská - Sl.
Lesní Školka	294	297	406	400	295.5		403	161.1		159.5	Pohanská - Sl.
Loděnice	293	304	437	440	298.5		438.5	161.7		164.2	Pohanská - Sl.
Severových. Předhradí			405			405				159.8	Pohanská - Sl.
Severových. Předhradí	313		413	406	313		409.5	164.8		160.4	Pohanská - Sl.
Severových. Předhradí	300		439		300		439	162.0		164.3	Pohanská - Sl.
Severových. Předhradí			419			419				161.6	Pohanská - Sl.
Severových. Předhradí	282	282	407	408	282		407.5	158.2		160.1	Pohanská - Sl.
Znojmo			429	428			428.5			162.9	Pohanská - Sl.
Bulhary			419			419				161.6	Slované
Bulhary	318	322	450	444	320		447	166.3		165.3	Slované
Bulhary	277	278	386	383	277.5		384.5	157.2		157.1	Slované
Bulhary	295		395	399	295		397	160.9		158.7	Slované
Bulhary	300	297	399	400	298.5		399.5	161.7		159.1	Slované
Bulhary	299		426	426	299		426	161.8		162.5	Slované
Bulhary	288	292	419	415	290		417	159.9		161.4	Slované
Bulhary	277	281	393	388	279		390.5	157.6		157.9	Slované
Bulhary	312	324	444	442	318		443	165.8		164.8	Slované

Výška postavy ženy v průběhu staletí

LOKALITA	HUMERUS		FEMUR		PRŮMĚR HUMERUS		PRŮMĚR FEMUR		VÝŠKA HUMERUS		VÝŠKA FEMUR		DOBA		SKUPINA
	sin	dex	sin	dex											
Bulhary	293	293	384	388	293		386		160.5		157.3		Slované		13
Bulhary	282	282	399	401	282		400		158.2		159.1		Slované		13
Nechvalín			423			423				162.2			Slované		13
Nechvalín			477				477				169.2		Slované		13
Svrdošovce	325		433		325		433		167.3		163.5		Slované		13
	298			298				161.6				Současnost		14	
	320			320				166.3				Současnost		14	
	307			307				163.5				Současnost		14	
	318			318				165.8				Současnost		14	
	310			310				164.1				Současnost		14	
	309			309				163.9				Současnost		14	
	290			290				159.9				Současnost		14	
	305			305				163.1				Současnost		14	
	351			351				172.8				Současnost		14	
	302			302				162.4				Současnost		14	
	339			339				170.3				Současnost		14	
	298			298				161.6				Současnost		14	
	313			313				164.8				Současnost		14	
	295			295				160.9				Současnost		14	
	308			308				163.7				Současnost		14	
	305			305				163.1				Současnost		14	
	279			279				157.6				Současnost		14	
	325			325				167.3				Současnost		14	
	337			337				169.9				Současnost		14	
	300			300				162.0				Současnost		14	
	298			298				161.6				Současnost		14	
	308			308				163.7				Současnost		14	

Výška postavy ženy v průběhu staletí

LOKALITA	HUMERUS		FEMUR		PRŮMĚR		VÝŠKA HUMERUS	VÝŠKA FEMUR	DOBA	SKUPINA
	sin	dex	sin	dex	HUMERUS	FEMUR				
	330				330			168.4		Současnost 14
	301				301			162.2		Současnost 14
	299				299			161.8		Současnost 14
	300				300			162.0		Současnost 14
	324				324			167.1		Současnost 14
	309				309			163.9		Současnost 14
	286				286			159.0		Současnost 14
	310				310			164.1		Současnost 14
	308				308			163.7		Současnost 14
	323				323			166.9		Současnost 14
	300				300			162.0		Současnost 14
	280				280			157.8		Současnost 14
	307				307			163.5		Současnost 14
	278				278			157.3		Současnost 14
	315				315			165.2		Současnost 14
	310				310			164.1		Současnost 14
	300				300			162.0		Současnost 14
	336				336			169.6		Současnost 14
	311				311			164.3		Současnost 14
	296				296			161.2		Současnost 14
	306				306			163.3		Současnost 14
	308				308			163.7		Současnost 14
	309				309			163.9		Současnost 14
	310				310			164.1		Současnost 14
	300				300			162.0		Současnost 14
	322				322			166.7		Současnost 14

Výška postavy ženy v průběhu staletí

LOKALITA	HUMERUS		FEMUR		PRŮMĚR HUMERUS		PRŮMĚR FEMUR		VÝŠKA HUMERUS		VÝŠKA FEMUR		DOBA		SKUPINA
	sin	dex	sin	dex											
	309				309				163.9						Současnost
	309				309				163.9						Současnost
	324				324				167.1						Současnost
	300				300				162.0						Současnost
	445				445				165						Současnost
	470				470				168.3						Současnost
	448				448				165.4						Současnost
	432				432				163.3						Současnost
	448				448				165.4						Současnost
	433				433				163.5						Současnost
	407				407				160.1						Současnost
	440				440				164.4						Současnost
	482				482				169.9						Současnost
	447				447				165.3						Současnost
	502				502				172.5						Současnost
	408				408				160.2						Současnost
	435				435				163.7						Současnost
	423				423				162.2						Současnost
	422				422				162						Současnost
	418				418				161.5						Současnost
	385				385				157.2						Současnost
	450				450				165.7						Současnost
	469				469				168.2						Současnost
	410				410				160.4						Současnost
	410				410				160.4						Současnost
	446				446				165.2						Současnost
	449				449				165.6						Současnost

Výška postavy ženy v průběhu staletí

LOKALITA	HUMERUS		FEMUR		PRŮMĚR HUMERUS		PRŮMĚR FEMUR		VÝŠKA HUMERUS		VÝŠKA FEMUR		DOBA	SKUPINA
	sin	dex	sin	dex										
	415				415				161.1				Současnost	14
	416				416				161.2				Současnost	14
	395				395				158.5				Současnost	14
458			458				166.7						Současnost	14
426			426				162.5						Současnost	14
405			405				159.8						Současnost	14
471			471				168.5						Současnost	14
411			411				160.6						Současnost	14
448			448				165.4						Současnost	14
431			431				163.2						Současnost	14
	389				389				157.7				Současnost	14
	435				435				163.7				Současnost	14
419			419				161.6						Současnost	14
413			413				160.8						Současnost	14
426			426				162.5						Současnost	14
440			440				164.4						Současnost	14
417			417				161.4						Současnost	14
438			438				164.1						Současnost	14
475			475				169						Současnost	14
	443				443				164.8				Současnost	14
	446				446				165.2				Současnost	14
	448				448				165.4				Současnost	14
423			423				162.2						Současnost	14
	446				446				165.2				Současnost	14
	414				414				161				Současnost	14
449			449				165.6						Současnost	14
	425				425				162.4				Současnost	14

Výška postavy ženy v průběhu staletí

LOKALITA	HUMERUS		FEMUR		PRŮMĚR HUMERUS	PRŮMĚR FEMUR	VÝŠKA HUMERUS	VÝŠKA FEMUR	DOBA	SKUPINA
	sin	dex	sin	dex						
			468		468			168.1		14
			449		449			165.6		14
			429		429			162.9		14